

การสร้างและพัฒนาเซลล์แสงอาทิตย์แบบซิลิกอน

Fabrication and Development of Silicon Solar Cell



วิทยาลัยเทคโนโลยีพระจอมเกล้าเจ้าคุณทหารลาดกระบัง  
วิทยาปทุมธานี  
สาขาวิศวกรรมศาสตร์  
คณะวิศวกรรมศาสตร์  
สถาบันเทคโนโลยีพระจอมเกล้า วิทยาเขตเจ้าคุณทหาร-ลาดกระบัง  
ปีการศึกษา 2525

๑๗.  
๙ ๒๓๘๓  
๒๖๒๕.  
๑ ๑  
๐๑๖๑๒๘



บทที่ 4. ขบวนการสร้างเซลล์แสงอาทิตย์ ..... (22)

    4.1 ขบวนการทำความสะอาดผิวหน้าของซิลิกอน ..... (22)

    4.2 ขบวนการออกซิเดชัน ..... (22)

    4.3 ขบวนการเปิดชั้นซิลิกอนไดออกไซด์ที่ผิวหน้า ..... (22)

    4.4 ขบวนการแพร่สารเจือ ..... (23)

        4.4.1 ขบวนการแพร่สารเจือชนิดที ..... (23)

        4.4.2 ขบวนการแพร่สารเจือชนิดเอ็น ..... (23)

        4.4.3 การสร้างชั้นซิลิกอนไดออกไซด์บนผิวหน้า ..... (24)

    4.5 ขบวนการเปิดช่องออกไซด์เพื่อสร้างขั้วโลหะ ..... (24)

    4.6 ขบวนการสร้างขั้วโลหะ ..... (24)

บทที่ 5. การทดลองและผลการทดลอง ..... (30)

    5.1 การตรวจสอบคุณสมบัติของเซลล์ที่สร้างได้ ..... (30)

    5.2 ผลของความต้านทานอนุกรมภายใน ..... (38)

    5.3 ผลของความเข้มแสง ..... (43)

    5.4 ผลของอุณหภูมิ ..... (46)

    5.5 ผลของชั้นซิลิกอนไดออกไซด์ที่ใช้เป็นชั้นลดการสะท้อนแสง ..... (50)

บทที่ 6. การพัฒนาปรับปรุงเซลล์แสงอาทิตย์ ..... (53)

    6.1 การทดลองเพิ่มผลผลิตขั้วโลหะให้กับเซลล์และลดขบวนการเคลือบอนุกรม  
        ในสุญญากาศ ..... (53)

    6.2 ผลการทดลอง ..... (54)

    6.3 การทดลองลดขบวนการออกซิเดชัน ..... (56)

บทที่ 7. สรุปผลและวิจารณ์ ..... (59)

    เอกสารอ้างอิง ..... (63)

ภาคผนวกที่ 1 นํ้ายาเคมีที่ใช้ในการกักขังลิกอนไดออกไซด์และอคูมิเนียม .....(64)

ภาคผนวกที่ 2 การชุนนิเกิลแบบไร้ไฟฟ้า .....(65)

ภาคผนวกที่ 3 การคำนวณค่าความต้านทานอนุกรมภายในเซลล์ .....(66)

ภาคผนวกที่ 4 การเก็บบรรจุเซลล์แสงอาทิตย์ .....(67)

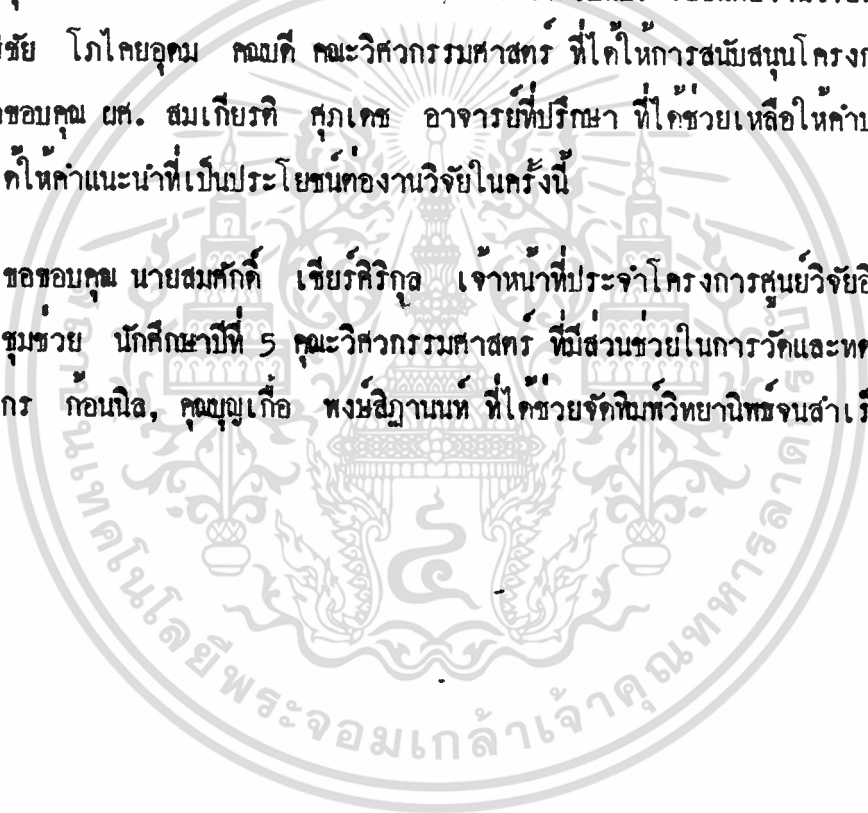
ภาคผนวกที่ 5 ความหมายของสัญลักษณ์และค่าคงที่ทางฟิสิกส์ .....(68)



กิติกรรมประกาศ

งานวิจัยการสร้างและพัฒนาเซตแสงอาทิตย์ แบบซิลิกอน สำเร็จลงได้ก็ขอขอบคุณ ศาสตราจารย์ ดร. คาซึโนริ ซาโตะ (Prof. Dr. Kazunori Sato) ที่ปรึกษาชาวญี่ปุ่น จากมหาวิทยาลัยโตเกียว ประเทศญี่ปุ่น ประจำคณะวิศวกรรมศาสตร์ สถาบันเทคโนโลยีพระจอมเกล้า วิทยาเขตเจ้าคุณทหารลาดกระบัง ที่ได้ช่วยเหลือให้คำแนะนำที่เป็นประโยชน์ต่องานวิจัยนี้, ขอขอบคุณ รศ.ดร. สิทธิชัย โภคโยคุณ คณะวิศวกรรมศาสตร์ ที่ได้ให้การสนับสนุนโครงการนี้ด้วยดี ตลอดจน, ขอขอบคุณ ผศ. สมเกียรติ ศุภเกษ อาจารย์ที่ปรึกษา ที่ได้ช่วยเหลือให้คำปรึกษามาโดยตลอด ทั้งยังได้ให้คำแนะนำที่เป็นประโยชน์ต่องานวิจัยในครั้งนี้

ขอขอบคุณ นายสมศักดิ์ เขียวศิริกุล เจ้าหน้าที่ประจำโครงการศูนย์วิจัยอิเล็กทรอนิกส์, นายสมศักดิ์ ชุมช่วย นักศึกษาปีที่ 5 คณะวิศวกรรมศาสตร์ ที่มีส่วนช่วยในการวัดและทดลอง และขอขอบคุณ คุณณัฏกร กอนนิต, คุณบุญเกื้อ พงษ์สิฏานนท์ ที่ได้ช่วยจัดพิมพ์วิทยานิพนธ์จนสำเร็จสมบูรณ์



บทคัดย่อ

เซลล์แสงอาทิตย์เป็นอุปกรณ์ชนิดหนึ่งที่สามารถเปลี่ยนพลังงานแสงอาทิตย์ มาเป็นพลังงานไฟฟ้าได้โดยตรง ในปัจจุบันเซลล์แสงอาทิตย์แบบรอยต่อ พี-เอ็น ของซิลิกอน ได้รับการพัฒนาและถูกนำมาใช้งานอย่างแพร่หลาย ในวิทยานิพนธ์ฉบับนี้ จะกล่าวถึงผลการทดลอง วิจัย สร้าง และพัฒนาเซลล์แสงอาทิตย์แบบนี้ขึ้นที่คณะวิศวกรรมศาสตร์ สถาบันเทคโนโลยีพระจอมเกล้า-ลาดกระบัง รวมทั้งยังได้ทดลองผลของความเข้มแสง, ความต้านทานอนุกรมภายในเซลล์, อุณหภูมิและชั้นฉนวนการสะท้อนแสงที่มีต่อเซลล์แสงอาทิตย์ เพื่อนำไปใช้เป็นแนวทางในการพัฒนาปรับปรุง และนำเซลล์ไปประยุกต์ใช้งานต่อไป

Abstract

The Solar cell is an energy conversion device which directly converts solar energy into electrical energy. Up to the present, silicon p-n junction solar cells have been developed and have already found general application. The thesis deals with the results of research, fabrication, and the development of silicon solar cells at the Faculty of Engineering, King Mongkut's Institute of Technology, Ladkrabang.

The effect of light intensity, series resistance, temperature variation, and of the addition of an antireflection layer, on the performance of silicon solar cell are discussed. The influence of such factor on improving efficiency and on solar cell applications are considered.

## บทที่ 1

### บทนำ

ดวงอาทิตย์เป็นต้นกำเนิดพลังงานที่ใหญ่ที่สุดของระบบสุริยะที่เห็นได้ชัดก็คือ พลังงานแสงสว่าง และพลังงานความร้อน ซึ่งมีความจำเป็นอย่างยิ่งต่อการดำรงชีวิตของมนุษย์รวมทั้งสิ่งมีชีวิตอื่น ๆ ทั้งปวงบนโลก

การเปลี่ยนพลังงานแสงอาทิตย์มาเป็นพลังงานไฟฟ้าโดยตรง สามารถทำได้โดยอาศัยตัวเปลี่ยนพลังงานที่มนุษย์ได้พยายามประดิษฐ์คิดค้นขึ้นมาที่เรียกว่า " เซลล์แสงอาทิตย์ " หรือ " โซลาร์-เซลล์ " (Solar Cell) เซลล์แสงอาทิตย์นี้ถูกสร้างขึ้นมาเป็นเวลาหลายสิบปีมาแล้ว และได้รับการพัฒนาโดยตลอด จนมีประสิทธิภาพสูงพอที่จะนำมาใช้งานได้ อย่างไรก็ตามในระยะแรกเซลล์แสงอาทิตย์เพียงแต่ได้รับความสนใจอยู่ในวงแคบของกลุ่มนักวิจัยเท่านั้น และบทบาทของเซลล์จำกัดอยู่ในวงการอวกาศเป็นส่วนใหญ่ มิได้ถูกนำไปใช้อย่างแพร่หลาย เนื่องจากมีราคาสูง เมื่อเทียบกับเชื้อเพลิงอื่น ๆ ที่สามารถนำมาผลิตพลังงานไฟฟ้าได้เช่นกัน แต่เมื่อไม่กี่ปีมานี้เองที่โลกได้ประสบกับวิกฤตการณ์ขาดแคลนน้ำมันเชื้อเพลิง ซึ่งเป็นเชื้อเพลิงหลักของโลกในปัจจุบันนี้ และน้ำมันเชื้อเพลิงเหล่านี้ก็มีที่หวางจะมีราคาสูงขึ้นไปเรื่อย ๆ ทำให้ทุกคนเริ่มมองเห็นปัญหาการขาดแคลนพลังงานในอนาคตที่เองที่ทำให้เซลล์แสงอาทิตย์ได้รับความสนใจ และมีการพัฒนามากยิ่งกว่าเดิม นอกจากนี้พลังงานไฟฟ้าที่ได้จากเซลล์แสงอาทิตย์ยังไม่ก่อให้เกิดมลภาวะแต่อย่างใด อีกทั้งพลังงานไฟฟ้าที่ได้มาด้วยวิธีอื่น ๆ เช่นพลังงานกล และพลังงานปรมาณูเป็นต้น อายุการใช้งานของเซลล์สัทพจะไม่มีขีดจำกัดเสียอีกทั้งยังไม่ต้องมาดูแลรักษาบ่อยนักอีกด้วย เซลล์แสงอาทิตย์จึงเป็นอุปกรณ์ที่เหมาะสมอย่างยิ่งประเภทหนึ่งที่สามารถใช้เป็นแหล่งพลังงานใหม่ของโลกในอนาคต

ปัจจุบันเซลล์แสงอาทิตย์แบบต่าง ๆ ได้ถูกพัฒนาขึ้นมาใช้งานบนพื้นโลก เพื่อทำหน้าที่เป็นแหล่งจ่ายพลังงานไฟฟ้าให้แก่อุปกรณ์ไฟฟ้าต่าง ๆ ในท้องถิ่นทุรกันดาร, บนภูเขาสูง, บนเกาะต่าง ๆ ในประเทศต่าง ๆ

ในวิทยาลัยพนมเปญนี้ ได้แสดงผลการทดลองสร้าง เซลแสงอาทิตย์ขึ้นมาภายในประเทศ  
 ทั้งยังได้พิจารณาถึงผลของความเข้มแสง ความต้านทานอนุกรมภายในเซลล์ คุณสมบัติและชั้นลดการ  
 สะท้อนแสงที่มีต่อเซลล์แสงอาทิตย์ เพื่อนำไปใช้เป็นแนวทางในการศึกษาปรับปรุงและนำเซลล์ไปประยุกต์  
 ใช้งานต่อไป ในการทดลองสร้างเซลล์สุริยะ ได้ทำการปรับปรุงขบวนการสร้างเซลล์ขึ้นมาใหม่  
 เพื่อให้เซลล์มีราคาถูกลง โดยที่ประสิทธิภาพไม่เปลี่ยนแปลงไปจากเดิมเท่าใดนัก



เอกสารนี้เป็นเอกสารที่สงวนไว้สำหรับการใช้งานเพื่อการศึกษาเท่านั้น ไม่อนุญาตให้นำไปใช้ประโยชน์ด้านการค้า  
 ไม่ว่ากรณีใดๆทั้งสิ้น อีกทั้งห้ามมิให้ดัดแปลงเนื้อหา และต้องอ้างอิงถึงเจ้าของเอกสารทุกครั้งที่มีการนำไปใช้

## บทที่ 2

### ประวัติเซลล์แสงอาทิตย์และพลังงานแสงอาทิตย์

#### 2.1 ประวัติความเป็นมาของเซลล์แสงอาทิตย์ [ 1 ]

ได้มีการค้นพบการทำงานพื้นฐานของเซลล์แสงอาทิตย์ เมื่อประมาณ 150 ปีมาแล้วโดยในปี ค.ศ. 1817 เบอริลเลียส (Berzelius) ได้ค้นพบธาตุซีลีเนียม และสามารถเตรียมธาตุซีลีคอนได้เป็นครั้งแรก จากผลอันนี้ทำให้มีการค้นพบลักษณะความนำจำเพาะทางแสง (Photoconductivity) ในซีลีเนียมโดยวิลลาจปี สมิท (Willoughby Smith) ในปี ค.ศ. 1873 จากนั้นจึงได้มีการค้นพบผลของโฟโตโวลตาอิก (Photovoltaic effect) โดยลัดดัมและเดย์ (Adum and Day) ในปี ค.ศ. 1876 หลังจากนั้นอีก 7 ปีต่อมาฟริทท์ (Fritts) จึงได้อธิบายถึงโฟโตโวลตาอิกเซลล์ ที่ทำจากซีลีเนียมเป็นคนแรก และในปี ค.ศ. 1904 ฮอลล์วาชส์ (Hallwachs) ก็ได้สังเกตเห็นความไวต่อแสง (Photosensitivity) ในโครงสร้างของคอปเปอร์คิวปรอไซด์ (Copper Cuprous oxide)

จากความก้าวหน้าทางด้านเทคโนโลยี ในการสร้างรอยต่อ พี-เอ็น แบบโกรว์ จังก์ชัน (Grown junction) ทำให้มีการเตรียมสร้างอุปกรณ์แบบโฟโตโวลตาอิก ที่ทำมาจากผลึกรูปเดี่ยวของซีลีคอนในปี 1941 จนกระทั่งอีก 12 ปีต่อมาจึงได้มีการพัฒนาการสร้างรอยต่อ พี-เอ็น ขึ้นมาด้วยวิธีการแพร่สารเจือ (Impurity diffusion method) ในปีแรกของการพัฒนาสร้างเซลล์แสงอาทิตย์ด้วยวิธีใหม่ ทำให้สามารถสร้างเซลล์ที่มีประสิทธิภาพในการเปลี่ยนแสงพลังงานได้ 6% อีก 2 ปีต่อมาทางโรงงานอุตสาหกรรมเอกชนจึงได้เริ่มผลิตอุปกรณ์ประเภทนี้ออกมา เพื่อหวังให้เป็นสินค้าสำคัญของตลาดจึงได้มีการพัฒนาทางด้านขบวนการผลิต, พิจารณาทำความเข้าใจกับพฤติกรรมการทำงานของอุปกรณ์รวมทั้งพัฒนาการออกแบบอุปกรณ์ด้วย ทำให้เซลล์มีประสิทธิภาพเพิ่มขึ้นมาจนถึงประมาณ 14% ในปี 1958 จากจุดนี้ วิศวกรจึงได้พยายามที่จะทำให้เซลล์ดีขึ้นกว่าเดิม เพื่อนำไปใช้เป็นแหล่งจ่ายพลังงานในอวกาศ รวมทั้งปรับปรุงเสถียรภาพต่าง ๆ ให้ดีขึ้นและยังได้พยายามหาทางลดราคาในการผลิตลง

นอกจากนี้ยังได้มีการพัฒนาการสร้งเซลล์ด้วยสารประกอบอื่นๆ นอกเหนือไปจากซิลิกอน ซึ่งเป็นธาตุแท้ โดยเริ่มจาก คอปเปอร์ คิวปริออกไซด์ แต่ก็พบว่ามันให้พลังงานออกมาน้อยกว่าเซลล์ที่ทำมาจากซิลิกอน จึงได้มีการพัฒนาเซลล์ที่ทำมาจาก แกลเลียม อาเซไนต์, แคลเมียม ซิลไฟด์ และแคลเมียมเทลลูไรด์ ปรากฏว่าเซลล์ที่ทำจากแกลเลียมอาเซไนต์ให้ประสิทธิภาพที่สูงกว่า แต่เนื่องจากแกลเลียมอาเซไนต์ มีราคาวัสดุที่สูงกว่าซิลิกอนมาก จึงยังไม่เหมาะสมนักที่จะนำมาทำเซลล์แสงอาทิตย์ สำหรับแคลเมียมซิลไฟด์ และแคลเมียมเทลลูไรด์ สามารถสร้างเซลล์ได้โดยใช้เทคนิคทางคานฟิล์มบาง (Thin film) ทำให้เซลล์มีต้นทุนการผลิตลดลง แม้ในช่วงแรกก็จะได้ประสิทธิภาพต่ำ และเสถียรภาพในการทำงานยังไม่ดีนัก แต่ก็คาดว่า จะเป็นเซลล์ที่มีความสำคัญต่อไปในอนาคต

## 2.2 พลังงานแสงที่โลกได้รับจากดวงอาทิตย์

พลังงานแสงอาทิตย์ที่ส่องมายังโลกผ่านชั้นบรรยากาศแอมอสเฟียร์ (Atmosphere) จะมีพลังงานลดน้อยลง และมีผลทอยสนองทางความถี่แสงแตกต่างไปจากแสงอาทิตย์ ที่อยู่นอกชั้นบรรยากาศแอมอสเฟียร์ ทั้งนี้ก็เนื่องมาจากในชั้นบรรยากาศแอมอสเฟียร์ ประกอบไปด้วยก๊าซหลายชนิด รวมทั้งไอน้ำและฝุ่นละอองต่างๆ ที่เป็นตัวดูดกลืนพลังงานแสงบางส่วนเอาไว้ และทำให้แสงบางส่วนเปลี่ยนทิศทาง (Scattering)

เพื่อความสะดวกในการพิจารณาความเข้มและผลทอยสนองทางความถี่แสงของแสงอาทิตย์ จึงได้มีการกำหนดค่า...แอร์แมส เอ็ม (Air Mass  $m$ ) ขึ้น โดยที่ แอร์แมส เอ็ม คืออัตราส่วนระหว่างระยะทางเดินของแสงอาทิตย์ที่เวลาใดๆ ต่อระยะทางเดินของแสงเมื่อดวงอาทิตย์อยู่เหนือศีรษะ แสดงได้โดยสมการ

$$m = \sec z = 1/\cos z$$

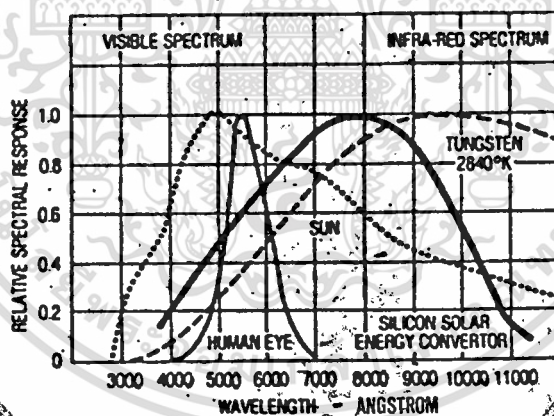
เมื่อ  $z$  (Zenith angle) คือมุมระหว่างแนวของลำแสงที่ทำกับแนวตั้ง

แสงอาทิตย์ที่อยู่นอกชั้นบรรยากาศแอมอสเฟียร์จะเรียกว่าชั้น แอร์แมสซีโร (Air Mass Zero, AM0) จะถือว่ามีค่าพลังงาน 138 มิลลิวัตต์ ต่อ หนึ่งตารางเซนติเมตร สำหรับแสงอาทิตย์ที่ผิวโลก ระดับน้ำทะเลในตอนเที่ยงวัน ที่ดวงอาทิตย์อยู่เหนือศีรษะ จะเรียกว่าชั้น แอร์แมสวัน (Air Mass One, AM1) จะถือว่ามีค่าพลังงาน 100 มิลลิวัตต์ ต่อ หนึ่งตารางเซนติเมตร (2) ปริมาณของพลังงานแสงนี้ ได้ถูกนำมาใช้เป็นค่าเปรียบเทียบความสามารถของเซลล์แสงอาทิตย์แบบต่างๆ ในการเปลี่ยนพลังงานแสงมาเป็นพลังงานไฟฟ้า ซึ่งก็คือประสิทธิภาพของเซลล์นั่นเอง ตามความจริงแล้วพลังงานแสงที่รับได้บนผิวโลกในสถานที่แตกต่างกันจะ

มีค่าแตกต่างกันไปแล้วแต่เงื่อนไขและสภาวะทางภูมิศาสตร์ รวมทั้งสภาพของภูมิอากาศในบริเวณนั้นด้วย ดังนั้นในการนำเซลล์แสงอาทิตย์ไปใช้งานจึงจำเป็นต้องรู้ปริมาณของแสงและเวลาที่เซลล์ได้รับแสงในแต่ละสถานที่ เพื่อนำไปเป็นข้อมูลในการพิจารณาออกแบบระบบจ่ายไฟฟ้าด้วยเซลล์แสงอาทิตย์

### 2.3 ผลตอบสนองทางความถี่ของเซลล์แสงอาทิตย์ [ 3 ]

เนื่องจากแสงอาทิตย์ประกอบด้วยแสงที่มีความถี่ต่าง ๆ มากมายรวมกันอยู่ทั้งแก่แสงที่มองเห็นและมองไม่เห็นด้วยตาเปล่า เส้นจุกโซปอลาในรูปที่ 1 เป็นผลตอบสนองทางความถี่ของแสงอาทิตย์ในชั้น AM1 เมื่อได้พิจารณาผลตอบสนองของเซลล์แสงอาทิตย์แบบซิลิกอนที่ความถี่แสงต่างๆ ดังแสดงเป็นเส้นทึบหนาไว้ในรูปที่ 1. จะเห็นว่าจุดสูงสุดของกราฟทั้งสองมีความถี่ไม่ตรงกัน ซึ่งถือว่าเป็นการสูญเสียพลังงานแสงในกรณีนี้ไปส่วนหนึ่ง โดยพลังงานแสงอาทิตย์จะมีค่าสูงสุดที่ความถี่ 5000 อังสตรอม, ส่วนเซลล์แสงอาทิตย์จะมีผลตอบสนองต่อความถี่แสงมากที่สุดที่ประมาณ 8000 อังสตรอม



รูปที่ 1. ผลตอบสนองทางความถี่แสงของเซลล์แสงอาทิตย์

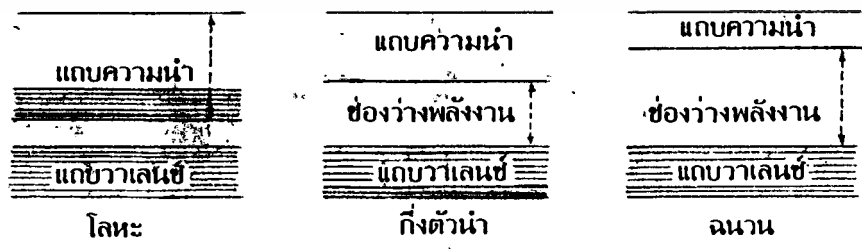
บทที่ 3

ทฤษฎี

ลักษณะการเกิดกระแสและแรงดันในเซลล์แสงอาทิตย์เป็นไปตามผลของโฟโตโวลตาอิก (Photovoltaic effect) ที่เกิดขึ้นภายในสารกึ่งตัวนำ กระแสและแรงดันที่ได้จากเซลล์แสงอาทิตย์ จะมีความสัมพันธ์กันในลักษณะ เอ็กโพเนนเชียล (Exponential) เหมือนกับไดโอด เนื่องจาก เซลล์แสงอาทิตย์มีโครงสร้างเช่นเดียวกับไดโอด เพียงแต่เซลล์แสงอาทิตย์มีพื้นที่รอยต่อมากกว่าไดโอด และรอยต่อ อยู่พื้นที่กว่าไดโอดธรรมดาทั่วไปเท่านั้น

3.1 ทฤษฎีแถบพลังงาน

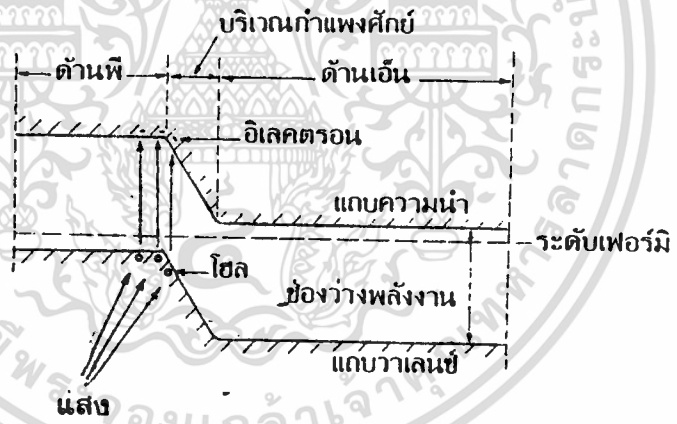
ทฤษฎีแถบพลังงานได้ถูกนำมาเพื่อใช้อธิบายปรากฏการณ์การเกิดกระแสและแรงดันของ เซลล์แสงอาทิตย์ ทฤษฎีแถบพลังงานได้แบ่ง แถบพลังงานภายในสารออกเป็น 2 แถบคือ แถบวาเลนซ์ (Valence band) และแถบความนำ (Conduction band) ในแถบวาเลนซ์จะมีระดับพลังงาน ต่าง ๆ อยู่มากมาย แต่ละระดับจะมีอิเล็กตรอนประจำอยู่ โดยไม่มีระดับพลังงานว่างอยู่เลย จึงไม่ เกิดการถ่ายเทของอิเล็กตรอนขึ้น ส่วนในแถบความนำจะมีระดับพลังงานที่ว่างอยู่มากมาย อิเล็กตรอน ที่อยู่ในแถบความนำจึงสามารถเคลื่อนที่ได้ง่ายอิสระ ระยะห่างระหว่างแถบวาเลนซ์และแถบความนำ จะเรียกว่า " ช่องว่างพลังงาน " (Energy gap) อิเล็กตรอนที่จะข้ามจากแถบวาเลนซ์มายังแถบ ความนำจะสามารถเคลื่อนที่ได้ง่ายอิสระ อิเล็กตรอนส่วนนี้เองที่ทำให้เกิดสภาพความนำขึ้น



รูปที่ 2. โครงสร้างแถบพลังงานของซิลิคอน, กึ่งตัวนำและฉนวน



สารกึ่งตัวนำทั้งชนิดเอ็นและพี เมื่อมีแสงที่มีพลังงานมากพอส่องมากระทบ พลังงานแสงบางส่วนจะถูกดูดกลืนเอาไว้ ถ้าพลังงานส่วนนี้มีค่ามากกว่าของว่างพลังงานแล้วจะทำให้อิเล็กตรอนจากแถบวาเลนซ์ข้ามไปยังแถบความนำได้ เหลือเป็นโฮลอยู่ในแถบวาเลนซ์ อิเล็กตรอนที่ข้ามไปยังแถบความนำจะวิ่งไปอย่างอิสระไม่มีทิศทาง จนหมดพลังงานที่จะอยู่ในแถบความนำได้ ก็จะตกลงไปรวมกับโฮลในแถบวาเลนซ์ดั้งเดิม อิเล็กตรอนอิสระที่เกิดขึ้นเนื่องจากแสงนี้เองที่ทำให้สภาพความนำไฟฟ้าภายในสารกึ่งตัวนำเปลี่ยนแปลงไป แม้จะไม่ทำให้เกิดพลังงานไฟฟ้าขึ้น แต่ก็สามารถนำผลอันนี้ไปสร้างเป็นอุปกรณ์ที่มีสภาพความนำเปลี่ยนแปลงตามแสงได้อย่างเช่น ตรวจจับทานไวแสง หรือที่เรียกว่า แอล ดี อาร์ (Light dependent resistor) เป็นต้น



รูปที่ 4. การเกิดกระแสไฟฟ้าในเซลล์แสงอาทิตย์

ตามปกติแล้วระดับเฟอร์มิ (Fermi level) ของสารกึ่งตัวนำบริสุทธิ์ จะอยู่ตรงกลางของช่องว่างพลังงาน เมื่อมีการเจือสารเจือให้แก่สารกึ่งตัวนำจะทำให้ระดับเฟอร์มิเปลี่ยนแปลงไป ถ้าเป็นสารกึ่งตัวนำชนิดเอ็นระดับเฟอร์มิจะขึ้นมาอยู่ใกล้กับแถบความนำ ถ้าเป็นสารกึ่งตัวนำชนิดพีระดับเฟอร์มิจะลดลงไปอยู่ใกล้กับแถบวาเลนซ์

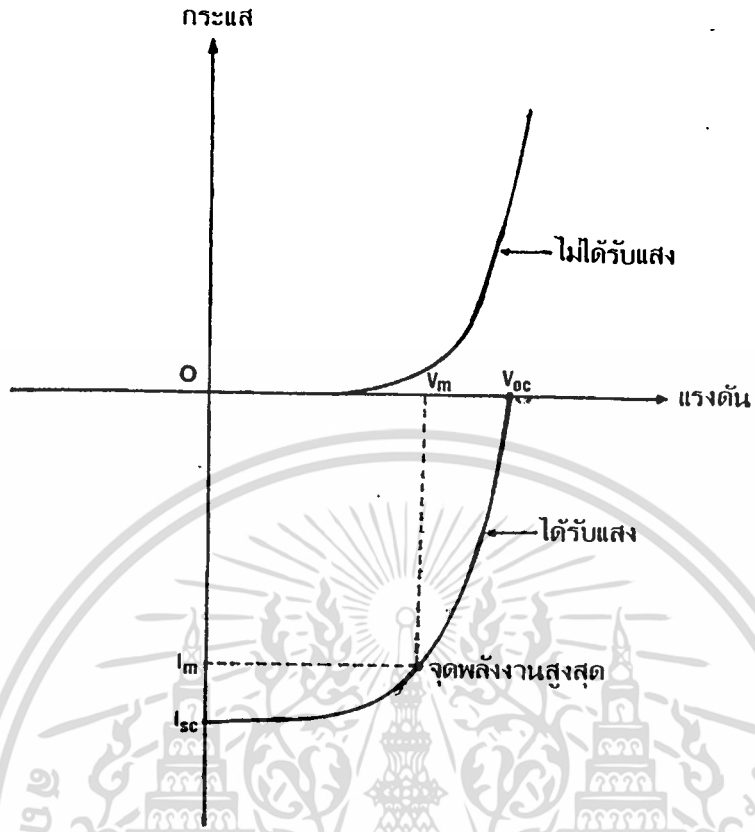
เอกสารนี้เป็นเอกสารที่สงวนไว้สำหรับการใช้งานเพื่อการศึกษาเท่านั้น ไม่ขอเอาผิดให้ว่าไปใช้ประโยชน์ด้านการค้า

เมื่อนำสารกึ่งตัวนำชนิดเอ็นและพีมาต่อกัน จนเกิดเป็นรอยต่อพี-เอ็น สารกึ่งตัวนำทั้งสองจะพยายามรักษาสภาพสมดุลไว้ โดยระดับเฟอร์มิของสารกึ่งตัวนำทั้งสองชนิดจะมาอยู่ในระดับเดียวกัน ดังแสดงในรูปที่ 4. ที่สภาพสมดุลจะเกิดกำแพงศักย์ (Potential barrier) ขึ้นที่รอยต่อ เมื่อมีแสงมาตกกระทบที่รอยต่อจนเกิดอิเล็กตรอนอิสระขึ้นในแถบความนำ และเกิดโฮลขึ้นในแถบวาเลนซ์ จากผลของสนามไฟฟ้าที่เกิดขึ้นเนื่องมาจากกำแพงศักย์ จะทำให้อิเล็กตรอนไหลไปทางขวา โฮลไหลไปทางซ้าย เกิดเป็นกระแสไฟฟ้าไหลออกมาภายนอกได้ถ้ามีแหล่งรับพลังงานหรือโหลด (Load) ที่เหมาะสมมาต่ออยู่ ปรากฏการณ์ที่เกิดขึ้นนี้เรียกว่า " ผลของโฟโตโวลตาอิก " อุปกรณ์ที่สร้างขึ้นโดยอาศัยผลของโฟโตโวลตาอิก จนทำให้สามารถเปลี่ยนพลังงานแสงมาเป็นพลังงานไฟฟ้าได้นี้เรียกว่า " เซลแสงอาทิตย์ " หรือ " โซลาร์เซลล์ " (Solar cell) หรือ " โฟโตโวลตาอิกเซลล์ " (Photovoltaic cell)

กระแสไฟฟ้าที่ได้จากเซลล์จะเป็นสัดส่วนโดยตรงกับพื้นที่รับแสงของเซลล์ ส่วนแรงดันจะขึ้นอยู่กับความสูงของกำแพงศักย์ ซึ่งมีค่าสูงสุดได้ไม่เกินของว่างพลังงานของสารกึ่งตัวนำ ดังนั้นช่องว่างพลังงานจึงสามารถใช้เป็นตัวกำหนดแรงดันสูงสุดของเซลล์ได้

**3.5 คุณสมบัติความสัมพันธ์ระหว่างกระแสและแรงดันของเซลล์แสงอาทิตย์**

เนื่องจากเซลล์แสงอาทิตย์มีโครงสร้างเป็นรอยต่อ พี-เอ็น เพียงรอยต่อเดียวเหมือนกับไดโอด ดังนั้นคุณสมบัติของไฟฟ้าของเซลล์ในขณะที่ยังไม่ได้รับแสงจึงเหมือนกับไดโอดธรรมดาทั่วไป เพียงแต่มีกะแสรั่วที่รอยต่อมากกว่าเท่านั้น เนื่องจากพื้นที่รอยต่อมากกว่าไดโอด ในขณะที่เซลล์ได้รับแสงทิศทางการไหลของกระแสที่ผ่านรอยต่อของเซลล์จะตรงข้ามกับขณะที่ยังไม่ได้รับแสง โดยที่แรงดันยังมีลักษณะเหมือนเดิม กราฟความสัมพันธ์ของกระแสและแรงดันที่ได้จึงตกลงมาอยู่ในควอดแรนต์ที่ 4 ดังแสดงในรูปที่ 5.



รูปที่ 5 กราฟความสัมพันธ์ระหว่างกระแสและแรงดันของเซลล์แสงอาทิตย์

จากกราฟในรูปที่ 5. จะเห็นได้ว่า เซลล์จะจ่ายกระแสออกมามากที่สุดเมื่อเซลล์ถูก  
 อัดวงจรซึ่งให้ค่าเป็น  $I_{sc}$  และเซลล์จะจ่ายแรงดันไฟฟ้าได้มากที่สุด เมื่อเซลล์ถูกเปิดวงจรออก  
 ซึ่งให้ค่าเป็น  $V_{oc}$  เมื่อใดที่จากรูปพลังงานไฟฟ้าที่ได้จากเซลล์ซึ่งเป็นผลคูณของกระแสและแรง  
 ดันแล้ว จะพบว่าจากกราฟความสัมพันธ์ของเซลล์ขณะได้รับแสงในรูปที่ 5. จะมีอยู่จุดหนึ่งผลคูณของกระ  
 แสงและแรงดันมีค่าสูงสุดจุดนี้ จะเรียกเป็นจุดพลังงานสูงสุดของเซลล์ กระแสและแรงดันที่จุดนี้ จะให้  
 ค่าเป็น  $I_m$  และ  $V_m$  ตามลำดับ ถ้านำไปใช้กับแหล่งรับพลังงานหรือโหลดที่มีความต้านทานพอดีกับจุดนี้  
 เซลล์ก็จะจ่ายพลังงานไฟฟ้าให้กับโหลดมีค่าสูงสุด, ค่าความต้านทานของโหลดที่เหมาะสมนี้จะคือได้  
 จาก อัตราส่วนระหว่าง  $V_m$  ต่อ  $I_m$  (โหลด =  $\frac{V_m}{I_m}$ )

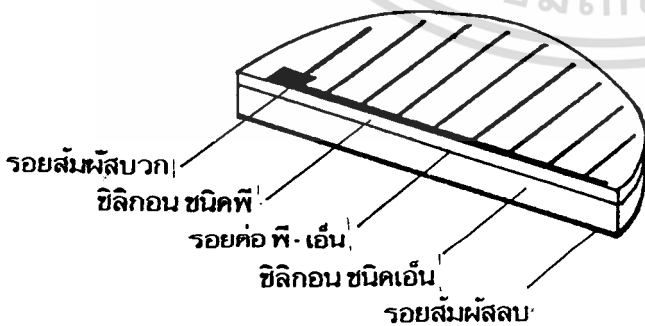
ผลคูณของกระแสและแรงดันที่จุดพลังงานสูงสุดจะมีความมากหรือน้อยจะขึ้นอยู่กับความชัน  
 ของกราฟในรูปที่ 5. คือถ้ากราฟมีความชันมากแล้วจะกราฟที่ได้จะใกล้เคียงกับสี่เหลี่ยมมาก ผลคูณ  
 ของกระแสและแรงดันจะมีความมากตามไปด้วย การที่กราฟของเซลล์แต่ละตัวมีความชันแตกต่างกันไป  
 เป็นผลมาจากความต้านทานอนุกรมภายในเซลล์แต่ละตัวมีค่าแตกต่างกันซึ่งไม่มีพิกัดมาไว้แล้วใน

ในหัวข้อ 3.4 จากกราฟคุณสมบัติของเซลล์นี้จะใกล้เคียง ๆ หนึ่งในที่แสดงให้เห็นว่าเซลล์สามารถจะจ่ายพลังงานไฟฟ้าออกมาใกล้เคียงกับทางอุณหภูมิตลอดทั้งปี ค่านี้จะเรียกว่าเป็น ค่าฟิลแฟกเตอร์ (Fill Factor) ของเซลล์ ซึ่งคิดมาจากอัตราส่วนระหว่างพลังงานสูงสุดที่ได้จากเซลล์จริง ๆ ต่อพลังงานสูงสุดที่ได้จากเซลล์ในทางอุณหภูมิตลอดทั้งปี ( 4 )

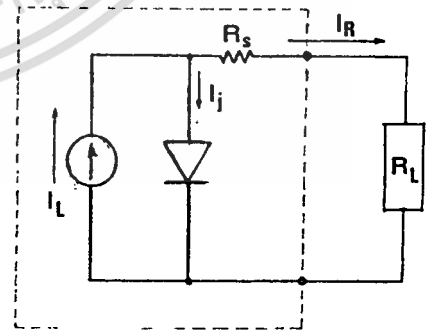
$$F.F. = \frac{P_m}{P_o} = \frac{I_m \times V_m}{I_{sc} \times V_{oc}}$$

- เมื่อ F.F คือ ค่าฟิลแฟกเตอร์ของเซลล์
- $P_m$  คือ พลังงานสูงสุดที่ได้จากเซลล์จริง ๆ
- $I_m$  คือ กระแสสูงสุดที่ได้จากเซลล์
- $V_m$  คือ แรงดันสูงสุดที่ได้จากเซลล์
- $P_o$  คือ พลังงานสูงสุดที่ได้จากเซลล์ในทางอุณหภูมิตลอดทั้งปี
- $I_{sc}$  คือ ค่ากระแสขณะลัดวงจร
- $V_{oc}$  คือ แรงดันขณะวงจรเปิด

จะเห็นว่าฟิลแฟกเตอร์มีค่าสูงสุดไม่เกิน 1 , ถ้าฟิลแฟกเตอร์มีค่าใกล้เคียง 1 มากแสดงว่าเซลล์สามารถจ่ายพลังงานไฟฟ้าออกมาใกล้เคียงกับทางอุณหภูมิตลอดทั้งปี



โครงสร้าง



วงจรสมมูล

รูปที่ 6. โครงสร้างและวงจรสมมูลของเซลล์แสงอาทิตย์

เพื่อที่จะเข้าใจคุณสมบัติทางไฟฟ้าของเซลล์แสงอาทิตย์ จะพิจารณาจากวงจรสมมูลย์ (Equivalent circuit) ของเซลล์ในรูปที่ 6. ซึ่งจะเห็นได้ว่าเซลล์แสงอาทิตย์นี้ประกอบไปด้วย แหล่งจ่ายกระแสคงที่ ซึ่งก็คือ กระแสของเซลล์ที่เกิดมาจากแสง ให้มีค่าเป็น  $I_L$ , รอยต่อพี-เอ็นของไดโอด และความต้านทานอนุกรมภายในเซลล์ ให้มีค่าเป็น  $R_s$  กระแส  $I_L$  ที่เกิดขึ้นเนื่องจากแสงนี้จะแบ่งไหลผ่านไดโอดและ  $R_s$  แล้วจึงผ่านมายังโหลด  $R_L$ , กระแสที่ไหลผ่าน  $R_s$  และ  $R_L$  ให้มีค่าเป็น  $I_R$ , จะได้ว่า

$$I_L = I_j + I_R \quad \text{----- (1)}$$

$$I_R = I_L - I_j \quad \text{----- (2)}$$

เมื่อ  $R_s = 0$ , กระแส  $I_j$  จะมีค่าดังนี้

$$I_j = I_0 \left[ \exp \left( \frac{qV}{nkT} \right) - 1 \right]$$

ค่า  $n$  (Ideality factor) เป็นค่าที่แสดงให้รูว่ารอยต่อมีความสมบูรณ์มากน้อยเพียงใด

ในทางอุดมคติ จะถือว่า  $n = 1$  ดังนั้น

$$I_j = I_0 \left[ \exp \left( \frac{qV}{kT} \right) - 1 \right] \quad \text{----- (3)}$$

$$I_R = I_L - I_0 \left[ \exp \left( \frac{qV}{kT} \right) - 1 \right] \quad \text{----- (4)}$$

ในกรณีที่ลัดวงจรทางโหลด เพื่อหาค่ากระแสสูงสุดของเซลล์ ( $I_{sc}$ ) จะได้ว่า  $V = 0$

$$I_R = I_L \quad \text{----- (5)}$$

ในกรณีที่  $I_R$  ก็คือ  $I_{sc}$  ซึ่งมีค่าเท่ากับกระแสที่เกิดมาจากแสง

ในกรณีที่เปิดวงจรทางโหลดเพื่อหาค่าแรงดันสูงสุดของเซลล์ ( $V_{oc}$ ) จะได้ว่า  $I_R = 0$

$$I_L = I_0 \left[ \exp \left( \frac{qV_{oc}}{kT} \right) - 1 \right] \quad \text{----- (6)}$$

$$\ln \frac{I_L}{I_0} = \frac{qV_{oc}}{kT} - 1$$

$$V_{oc} = \frac{kT}{q} \left( \ln \frac{I_L}{I_0} + 1 \right) \quad \text{----- (7)}$$

### 3.4 ผลของความต้านทานอนุกรมภายในเซลล์แสงอาทิตย์

ความต้านทานอนุกรมภายในเซลล์แสงอาทิตย์ ( $R_s$ ) เกิดขึ้นจากความต้านทานภายในเนื้อสารกึ่งตัวนำ และความต้านทานที่รอยสัมผัส (Contact) ความต้านทานอนุกรมภายในเซลล์นี้เป็นสิ่งสำคัญที่มีผลต่อพลังงานที่ได้จากเซลล์มาก จากสมการที่ (4) ซึ่งคิดที่  $R_s = 0$  และให้  $I_R$  ออกมาดังนี้

$$I_R = I_L = I_0 \left[ \exp\left(\frac{qV}{kT}\right) - 1 \right]$$

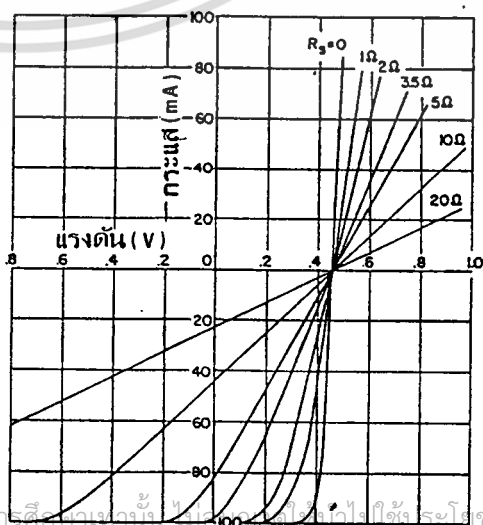
ซึ่งถ้า  $R_s \neq 0$  แล้ว แรงดัน  $V_0$  ที่วัดได้จะเป็น ผลต่างของแรงดันที่ตกคร่อมรอยต่อและแรงดันที่ตกคร่อม  $R_s$  ซึ่งเท่ากับ  $I_R R_s$  ดังนั้นแรงดันที่ตกคร่อมรอยต่อจริง ๆ จะมีค่าดังนี้

$$\text{แรงดันที่ตกคร่อมรอยต่อ } (v) = V_0 + I_R R_s$$

$$I_R = I_L = I_0 \left[ \exp\left\{ \frac{q(V + I_R R_s)}{kT} \right\} - 1 \right] \quad (8)$$

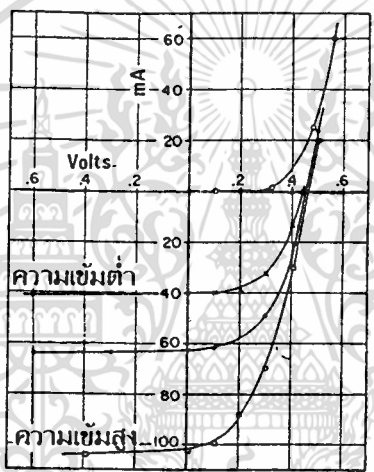
จากสมการที่ (8) สามารถนำไปเขียนกราฟ เพื่อแสดงผลของ  $R_s$  ที่มีต่อเซลล์แสงอาทิตย์ได้ดังรูปที่ 7. (5) จากรูปจะเห็นได้ว่าเซลล์ที่มีค่า  $R_s$  สูงจะให้กระแสที่ลดลงและความชันของกราฟก็ลดลงด้วยเป็นผลให้พลังงานที่ได้จากเซลล์ลดลงไปมาก ดังนั้นในการสร้างเซลล์ จึงควรหาทางลดค่า  $R_s$  ให้เหลือน้อยที่สุดเท่าที่จะทำได้

รูปที่ 7. ผลของความต้านทานอนุกรมภายในที่มีต่อเซลล์แสงอาทิตย์



3.5 ผลของความเข้มแสงที่มีต่อเซลล์แสงอาทิตย์ [6]

เนื่องจากเซลล์แสงอาทิตย์ จำเป็นต้องใช้แสงมากกระตุ้นให้อิเล็กทรอนิกส์หลุดจากการยึดเหนี่ยวกับโสมภายในอะตอม ถ้าแสงที่ส่องมากกระทบเซลล์มีความเข้มสูงมากขึ้นก็จะทำให้เกิดอิเล็กตรอนอิสระมากขึ้นตามไปด้วย เป็นผลให้กระแสที่ได้ออกจากเซลล์มีค่าสูงขึ้นด้วย กราฟความสัมพันธ์ของกระแสและแรงดันของเซลล์ที่ความเข้มแสงแตกต่างกันได้แสดงไว้ในรูปที่ 8.



รูปที่ 8. ผลของความเข้มแสงที่มีต่อเซลล์แสงอาทิตย์

3.6 ผลของอุณหภูมิที่มีต่อเซลล์แสงอาทิตย์

ในการนำเซลล์ไปใช้งานจริง ๆ นั้น เซลล์จะต้องได้รับความร้อนอันเนื่องมาจากแสงอาทิตย์ด้วย ซึ่งอุณหภูมิที่เพิ่มขึ้นอันเนื่องมาจากความร้อนก็มีผลต่อกระแสและแรงดันที่ได้จากเซลล์ด้วย เมื่อได้พิจารณาสมการของกระแส  $I_R$  ที่ไหลผ่านมายังโหลด  $R_L$  ในสมการที่(2)จะพบว่า กระแส  $I_R$  นี้จะเปลี่ยนแปลงไปอย่างไร จะขึ้นอยู่กับกระแสเนื่องมาจากแสง  $I_L$  และกระแส  $I_j$  ที่ไหลผ่านรอยต่อ ดังนั้นจึงจำเป็นที่จะต้องมาพิจารณาผลของอุณหภูมิที่มีต่อ  $I_L$  และ  $I_j$

3.6.1 ผลของอุณหภูมิที่มีต่อ  $I_L$  (7)

กระแส  $I_L$  ที่เกิดขึ้นเนื่องมาจากแสงจะมีค่าตามสมการต่อไปนี้

$$I_L = qgA(L_n + L_p) \quad \text{----- (9)}$$

โดยที่  $g$  คือ อัตราเกิดกระแสเนื่องมาจากแสง (generation rate)

$L_n, L_p$  คือ ระยะการแพร่ (diffusion length) ของอิเล็กตรอนและโฮล

เนื่องจาก  $I_L$  แปรผันตาม  $g$  และ  $L$  จึงควรพิจารณาผลของอุณหภูมิที่มีต่อ  $g$  และ  $L$

จากสมการ  $L = \sqrt{D\tau}$  ----- (10)

เมื่อ  $D$  คือ สัมประสิทธิ์ในการแพร่ของสาร (Diffusion coefficient หรือ Diffusion constant) สำหรับที่อุณหภูมิเท่า ๆ นั้น จะมีผลต่อค่าสัมประสิทธิ์ในการแพร่ขึ้นอย่างมาก จากสมการของ  $L$  จึงเหลืออยู่ที่ค่าอายุของพาหะ,  $\tau$  (Carrier lifetime) ที่ต้องพิจารณา ซึ่งก็พบว่าที่อุณหภูมิเท่า ๆ นั้นจะมีผลต่ออายุของพาหะน้อยมากเช่นกัน (สำหรับอายุพาหะนี้จะขึ้นอยู่กับระกัมการแพร่และระกัมของการแพร่เป็นส่วนใหญ่)

องค์ประกอบอีกตัวหนึ่งที่มีผลต่อ  $I_L$  ก็คือ ค่าอัตราการเกิดของกระแส,  $g$ . โดยพบว่าค่า  $g$  จะเพิ่มขึ้นเล็กน้อยเมื่ออุณหภูมิเพิ่มขึ้น ทั้งนี้ก็เนื่องมาจากช่องว่างพลังงานของสารจะลดลงเมื่ออุณหภูมิเพิ่มขึ้น ทำให้พลังงานโฟตอนจากแสงสามารถไปกระตุ้นให้เกิดพาหะได้มากขึ้นกว่าเดิม แต่ผลอันนี้เมื่อพิจารณาการนำไปใช้งานจริง ๆ ที่อุณหภูมิเท่า ๆ และมีการเปลี่ยนแปลงของอุณหภูมิเพียงเล็กน้อย (ในช่วง 20-70°C) อุณหภูมิจะมีผลต่อค่า  $g$  น้อยมาก จึงสรุปได้ว่า  $I_L$  จะเปลี่ยนแปลงเพิ่มขึ้นน้อยมากกับอุณหภูมิ

3.6.2 ผลของอุณหภูมิที่มีต่อ  $I_j$

เมื่อพิจารณาตัวของ  $I_j$  ในสมการที่ (3) ซึ่ง  $I_j$  มีค่าดังนี้

$$I_j = I_0 \left[ \exp \left( \frac{qV}{kT} \right) - 1 \right]$$

จากสมการจะเห็นได้ว่า  $I_0$  จะมีผลต่อกระแส  $I_j$  มากที่สุด จึงควรวัดจรรยาณาของ  
อุณหภูมิต่อ  $I_0$  โดยพิจารณาจากสมการของ  $I_0$  ดังนี้

$$I_0 = Aq n_i^2 \left[ \frac{1}{N_A} \left( \frac{D_n}{\tau_n} \right)^{\frac{1}{2}} + \frac{1}{N_D} \left( \frac{D_p}{\tau_p} \right)^{\frac{1}{2}} \right] \quad \text{----- (11)}$$

จากสมการของ  $I_0$  พบว่า  $n_i^2$  ของซิลิคอนจะเปลี่ยนแปลงตามอุณหภูมิทั้งสมการ  
ต่อไปนี้

$$n_i^2 = 15 \times 10^{32} T^3 \exp \left( \frac{-1.21}{KT} \right) \quad \text{----- (12) [8]}$$

จากสมการจะเห็นว่าเมื่ออุณหภูมิเพิ่มขึ้น  $n_i^2$  จะเพิ่มขึ้นตามไปด้วย อย่างเอกโพเนน  
เชียลเป็นผลให้  $I_0$  มีค่าเพิ่มขึ้นตามอุณหภูมิด้วย จากผลอันนี้แสดงว่า  $I_j$  จะมีค่าเพิ่มขึ้นเมื่อ  
อุณหภูมิเพิ่มขึ้น

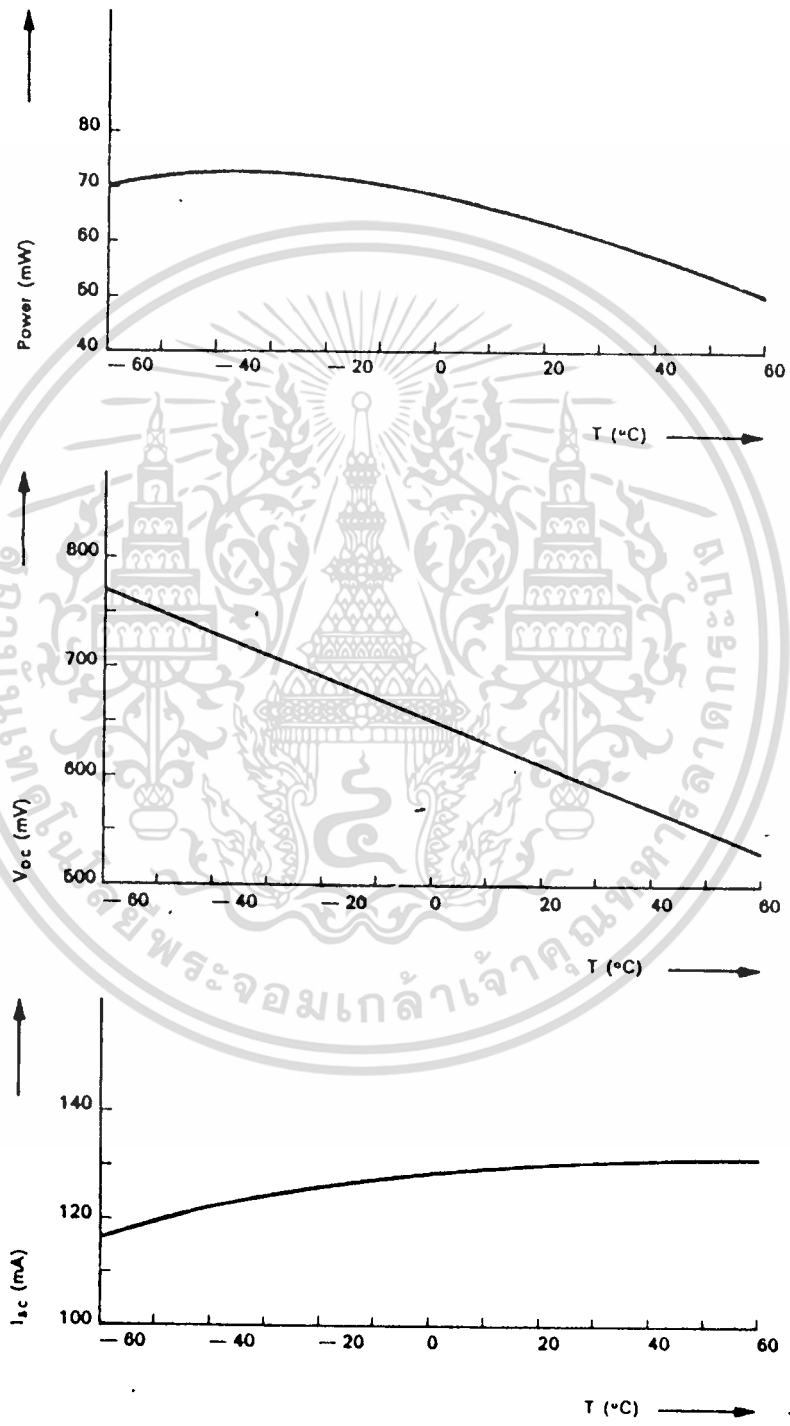
### 3.6.3 ผลของอุณหภูมิต่อ $V_{oc}$

สำหรับผลของอุณหภูมิต่อแรงดันที่ได้ออกจากเซลล์ เพื่อความสะดวกจะพิจารณาที่ค่าแรงดัน  
ขณะวงจรเปิด ( $V_{oc}$ ) ตามสมการที่ (8) ซึ่งได้แสดงไว้ดังนี้

$$V_{oc} = \frac{kT}{q} \ln \left( \frac{I_L}{I_0} + 1 \right)$$

จากสมการนี้ค่า  $\frac{kT}{q}$  จะมีผลน้อยมากต่อการเปลี่ยนแปลงของ  $V_{oc}$  เนื่องจากค่า  
 $\frac{k}{q}$  มีค่าต่ำมาก, ค่าที่มีผลต่อ  $V_{oc}$  ก็คือ  $I_0$  ซึ่งจะมีค่าเพิ่มขึ้นตามอุณหภูมิ เป็นผลให้  $V_{oc}$   
มีค่าลดลง เมื่ออุณหภูมิเพิ่มขึ้น

ซึ่งผลของอุณหภูมิที่มีต่อ  $I_{SC}$ ,  $V_{OC}$  และ  $P_o$  ได้แสดงไว้ในรูปที่ 9. (9)

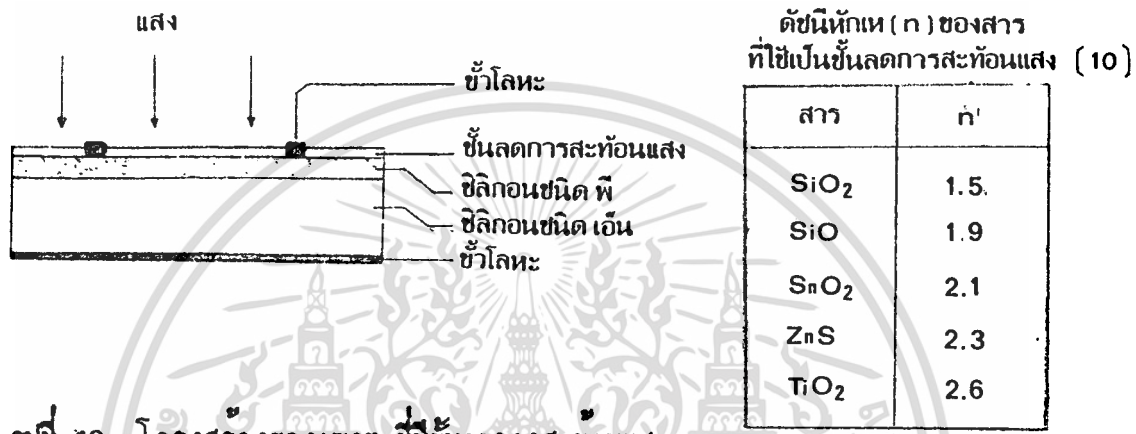


รูปที่ 9 ผลของอุณหภูมิที่มีต่อกระแส, แรงดันและพลังงานของเซลล์แสงอาทิตย์

เอกสารนี้เป็นเอกสารที่สงวนไว้สำหรับกระใช้งานเพื่อการศึกษาเท่านั้น เมื่ออนุญาตให้นำไปเผยแพร่โดยไม่ได้รับอนุญาต

ไม่ว่ากรณีใดๆทั้งสิ้น อีกทั้งห้ามมิให้ตัดแปลงเนื้อหา และต้องอ้างอิงถึงเจ้าของเอกสารทุกครั้งที่มีการนำไปใช้

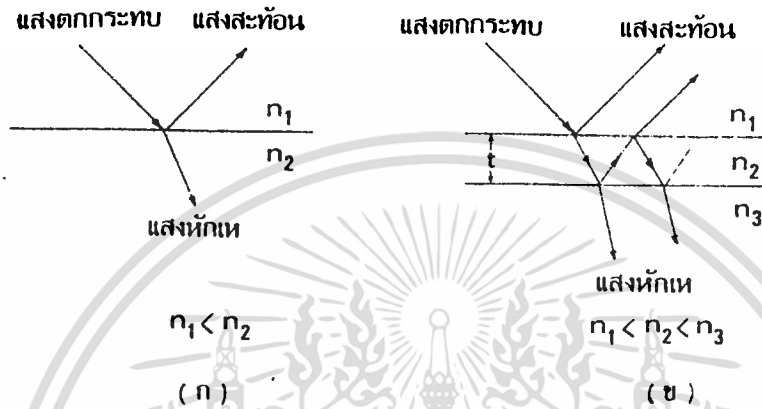
3.7 ผลของชั้นลดการสะท้อนแสงที่มีต่อเซลล์แสงอาทิตย์



รูปที่ 10. โครงสร้างของเซลล์ที่มีชั้นลดการสะท้อนแสง และตัวอย่างดัชนีหักเหของสารที่ใช้เป็นชั้นลดการสะท้อนแสง

ในการนำเซลล์ไปใช้งานเพื่อเปลี่ยนพลังงานแสงมาเป็นพลังงานไฟฟ้านั้น เนื่องจากแสงทั้งหมดที่ส่องมากระทบผิวหน้าเซลล์ จะมีบางส่วนถูกกักกั้นเอาไว้เพื่อนำไปเปลี่ยนเป็นพลังงานไฟฟ้า และมีบางส่วนสะท้อนไปจากผิวหน้าของเซลล์ แสงส่วนที่สะท้อนออกไปจากผิวหน้านี้เองที่สูญเสียไปโดยไม่เกิดประจุโพรตอน เพื่อที่จะนำแสงส่วนนี้มาใช้ประโยชน์อีกจึงควรมีชั้นลดการสะท้อนแสงที่ผิวหน้าของเซลล์ ชั้นนี้จะเป็นชั้นที่ยอมให้แสงผ่านเข้าไปยังผิวหน้าของเซลล์ได้ เมื่อแสงสะท้อนกลับออกจากผิวหน้าของเซลล์ ชั้นลดการสะท้อนแสงจะทำให้แสงบางส่วนสะท้อนกลับลงไปยังผิวหน้าของเซลล์อีก ช่วยให้เซลล์ได้รับความเข้มแสงเพิ่มมากขึ้นกว่าเดิม จึงทำให้เซลล์สามารถผลิตพลังงานไฟฟ้าได้สูงขึ้นตามไปด้วย ชั้นลดการสะท้อนแสงจะช่วยให้แสงสะท้อนกลับลงไปยังผิวหน้าของเซลล์ได้มากขึ้นเพียงใด จะขึ้นอยู่กับดัชนีหักเหและความหนาของสารที่ใช้เป็นชั้นลดการสะท้อนแสง

### 3.7.1 การสะท้อนของแสงในตัวกลางต่างชนิดกัน



รูปที่ 11. การสะท้อนของแสงในตัวกลาง (ก) 2 ชนิด, (ข) 3 ชนิด

เมื่อแสงเดินทางผ่านตัวกลาง 2 ชนิด จะมีแสงส่วนหนึ่งสะท้อนกลับ และส่วนหนึ่งหักเหผ่านตัวกลาง สัมประสิทธิ์ของการสะท้อนกลับ (Coefficient of reflection,  $\rho$ ) หาได้ดังนี้

$$\rho = \frac{n_1 - n_2}{n_1 + n_2}$$

โดยที่  $n_1$  และ  $n_2$  เป็นค่าดัชนีหักเหแสงของตัวกลาง 2 ชนิด

เมื่อแสงเดินทางผ่านตัวกลางที่มีดัชนีหักเหแสง  $n_1$  ไปยังตัวกลางที่มีดัชนีหักเหแสง  $n_2$  ถ้า  $n_1 < n_2$  แสงส่วนใหญ่จะหักเหเข้าสู่ตัวกลางที่มีดัชนีหักเห  $n_2$  และแสงส่วนน้อยจะสะท้อนกลับออกไปในทางตรงกันข้าม ถ้า  $n_1 > n_2$  แสงส่วนใหญ่จะสะท้อนกลับออกไป ดังรูปที่ 11.

ถ้าแสงเดินทางผ่านตัวกลาง 3 ชนิด ที่มีดัชนีหักเหแสงเป็น  $n_1, n_2$  และ  $n_3$  ตามลำดับ ถ้า  $n_1 < n_2 < n_3$  แสงส่วนใหญ่จะหักเหเข้าสู่ตัวกลางที่ 2 และ 3 แสงส่วนที่สะท้อนออกจากผิวหน้าของตัวกลางที่ 3 เมื่อมาถึงผิวหน้าของตัวกลางที่ 2 แสงส่วนใหญ่จะสะท้อนกลับลงมายังหน้าของตัวกลางที่ 3 อีก และแสงส่วนน้อยหักเหเข้าสู่ตัวกลางที่ 1 ดังรูปที่ 11. การสะท้อนกลับนี้เอง ที่ทำให้ผิวหน้าของตัวกลางที่ 3 ได้รับความเข้มแสงเพิ่มขึ้น

### 3.7.2 การพิจารณาเลือกชนิดและความหนาของสารที่ใช้เป็นชั้นลดการสะท้อนแสง [ 11 ]

ในการสร้างชั้นลดการสะท้อนแสงให้กับเซลล์แสงอาทิตย์ จะต้องคำนึงถึงค่าดัชนีหักเหและความหนาของชั้นลดการสะท้อนแสงด้วย ซึ่งสามารถพิจารณาได้จากสมการต่อไปนี้

$$n_2 = \sqrt{n_1 n_3} \quad (14)$$

$$t = \frac{\lambda}{4} \quad (15)$$

- เมื่อ  $n_1$  คือ ดัชนีหักเหของอากาศ มีค่า = 1  
 $n_2$  คือ ดัชนีหักเหของสารที่ใช้เป็นชั้นลดการสะท้อนแสง  
 $n_3$  คือ ดัชนีหักเหของสารที่ใช้สร้างเซลล์แสงอาทิตย์ สำหรับซิลิกอน มีค่า = 3.42  
 $t$  คือ ความหนาของชั้นลดการสะท้อนแสง  
 $\lambda$  คือ ความยาวคลื่นแสงที่ตกกระทบบนผิวหน้าของเซลล์

จากสมการ (14) และ (15) จะทำให้สามารถคำนวณค่าดัชนีหักเหและความหนาของสารที่ใช้เป็นชั้นลดการสะท้อนแสงได้ สำหรับค่าความยาวคลื่นแสงที่ตกกระทบบนผิวหน้าเซลล์ควรคิดจากความยาวคลื่นแสงที่เซลล์มีความไวสูงสุด โดยพิจารณาจากผลคูณสองของเซลล์ที่ต่อแสงที่มีความยาวคลื่นต่าง ๆ ในรูปที่ 1.

### 3.8 ประสิทธิภาพโดยทั่วไปของเซลล์แสงอาทิตย์

ประสิทธิภาพของเซลล์แสงอาทิตย์ คือ อัตราส่วนระหว่างพลังงานไฟฟ้าสูงสุดที่ได้จากเซลล์ต่อพลังงานแสงอาทิตย์ที่ตกกระทบบนเซลล์ ซึ่งเขียนสรุปออกมาเป็นสมการได้ดังต่อไปนี้

$$\text{ประสิทธิภาพในการเปลี่ยนพลังงาน} = \frac{\text{พลังงานไฟฟ้าสูงสุดที่ได้จากเซลล์}}{\text{พลังงานแสงที่เซลล์ได้รับ}} \times 100$$

เนื่องจากพลังงานแสงอาทิตย์ ใช้หน่วยมาตรฐานเป็น มิลลิวัตต์ต่อหนึ่งตารางเซนติเมตร ดังนั้นพลังงานไฟฟ้าสูงสุดที่ได้จากเซลล์ ควรคิดออกมาในหน่วยมิลลิวัตต์ต่อหนึ่งตารางเซนติเมตร

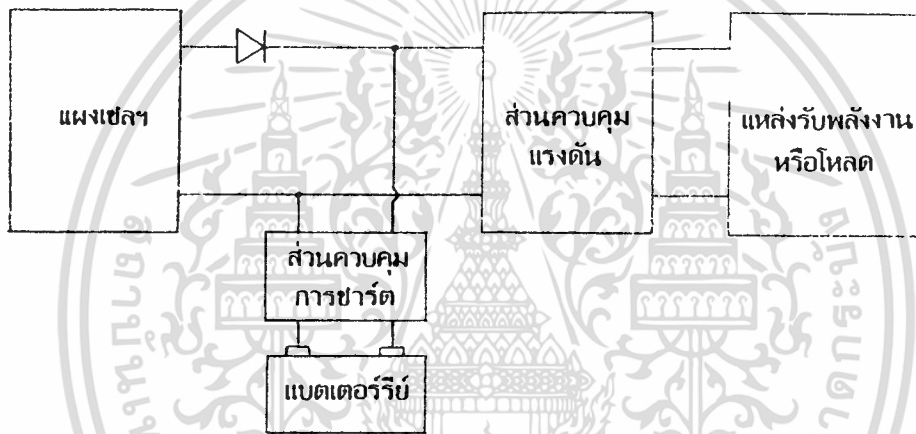
เอกสารนี้เป็นเอกสารที่สงวนไว้สำหรับการใช้งานเพื่อการศึกษาเท่านั้น ไม่อนุญาตให้นำไปใช้ประโยชน์ด้านการค้า

ไปว่าควรใช้เอกสารนี้เพื่อใช้ในการวิจัยและพัฒนา และสงวนลิขสิทธิ์ไว้ด้วยขอสงวนสิทธิ์ในเอกสารนี้

เช่นเดียวกัน ประสิทธิภาพของเซลล์นั่นเองที่จะทำให้ทราบว่าเราสามารถเปลี่ยนพลังงานแสงมาเป็นพลังงานไฟฟ้าได้มากน้อยเพียงใด

### 3.9 ระบบจ่ายไฟฟ้าควยเซลล์แสงอาทิตย์

เนื่องจากเซลล์แสงอาทิตย์ ให้พลังงานไฟฟ้าได้เฉพาะในเวลากลางวันเท่านั้น เพื่อที่จะใช้พลังงานไฟฟ้า ทั้งกลางวันและกลางคืน จึงจำเป็นต้องใช้แบตเตอรี่ช่วยเก็บสะสมพลังงานไฟฟ้าเอาไว้ใช้ในเวลากลางคืน



รูปที่ 12 ระบบจ่ายไฟฟ้าควยเซลล์แสงอาทิตย์

การนำแบตเตอรี่มาใช้งาน จำเป็นจะต้องมีส่วนควบคุมด้วย เพื่อช่วยควบคุมการชาร์จของแบตเตอรี่ และความคุมไม่ให้แบตเตอรี่เกิดโอเวอร์ชาร์จ (Over charge) สำหรับไดโอดที่ต่ออยู่ระหว่างแบตเตอรี่กับแผงเซลล์ จะช่วยป้องกันไม่ให้กระแสไฟฟ้าจากแบตเตอรี่ไหลกลับเข้าไปในแผงเซลล์ในเวลากลางคืนขณะที่เซลล์ไม่ได้ทำงาน จึงช่วยให้แบตเตอรี่กักพลังงานไฟฟ้าให้กับโหลดได้นานขึ้น

ในการนำเซลล์ ไปใช้งานร่วมกับแบตเตอรี่จะต้องเลือกใช้แรงดันและความจุของแบตเตอรี่ให้เหมาะสม เพื่อให้แบตเตอรี่ใช้กับโหลดได้ และพลังงานที่เก็บสะสมไว้ในแบตเตอรี่จะต้องมากพอที่จะจ่ายให้กับโหลดขณะที่เซลล์ไม่ได้ทำงาน เมื่อนำแบตเตอรี่มาใช้งานร่วมกับเซลล์ แผงเซลล์จะต้องมีขนาดใหญ่มากที่มี กระแสและแรงดันที่เหมาะสม เพื่อให้สามารถจ่ายพลังงานไฟฟ้าให้กับแบตเตอรี่และโหลดได้ในเวลาเดียวกัน

เอกสารนี้เป็นเอกสารที่สงวนลิขสิทธิ์ไว้สำหรับใช้ในการศึกษาเท่านั้น ไม่อนุญาตให้นำไปใช้ประโยชน์ด้านการค้า

ไม่ว่ากรณีใดๆทั้งสิ้น อีกทั้งห้ามมิให้ตัดแปลงเนื้อหา และต้องอ้างอิงถึงเจ้าของเอกสารทุกครั้งที่มีการนำไปใช้

## บทที่ 4

### ขบวนการสร้างเซลล์แสงอาทิตย์

เนื่องจากเซลล์แสงอาทิตย์ที่สร้างขึ้นมีลักษณะเป็นรอยต่อพี-เอ็น เช่นเดียวกับไดโอด ดังนั้นขบวนการในการสร้างจึงคล้ายคลึงกันมาก เพียงแค่เซลล์แสงอาทิตย์มีพื้นที่รอยต่อมากและอยู่ต่ำกว่าไดโอด จึงใช้เวลาในการแพร่ซึมน้อยกว่าไดโอดธรรมดา แต่ขบวนการที่จะนำมาสร้างควรมีความถี่ความถี่เฉพาะค่า ๆ เพื่อช่วยลดความต้านทานอนุกรมภายในเซลล์ ขบวนการในการสร้างจะเริ่มขึ้นจากการทำความสะอาดผิวหน้าเป็นอันดับแรกเรื่อยไปจนถึงขบวนการสุดท้ายคือ ขบวนการสร้างซิลิโคนให้กับเซลล์ ขบวนการนี้ใช้สำหรับสร้างเซลล์เดี่ยวแบบเต็มแผ่นซิลิโคน

#### 4.1 ขบวนการทำความสะอาดผิวหน้าของซิลิโคน (Cleaning process)

- ทิ้งในน้ำยาไตรโคลโรเอทิลีน (Trichloroethylene) 3 นาที 2 ครั้ง
- ล้างในเครื่องคลื่นความถี่สูง (Supersonic cleaner) ด้วยน้ำยาอะซิโตน (Acetone) 3 นาที 2 ครั้ง
- ล้างด้วยน้ำบริสุทธิ์

#### 4.2 ขบวนการออกซิเดชัน (Oxidation process)

- กัดผิวหน้าแผ่นซิลิโคนด้วยกรดไฮโดรฟลูออริก (HF) 5% 10 นาที
- ล้างด้วยน้ำบริสุทธิ์ และเป่าให้แห้งด้วยก๊าซไนโตรเจน
- นำแผ่นซิลิโคนเข้าไปในเตาออกซิเดชันที่มีอุณหภูมิ 1100 องศาเซลเซียส เกรด, ปลดออกซิเดชันให้ไหลผ่านเข้าไปในเตาในอัตรา 1000 ซี ซี ต่อนาที เป็นเวลา 3 ชั่วโมง จะได้น้ำซิลิโคนไดออกไซด์ ( $SiO_2$ ) ปกคลุมด้านหน้าและด้านหลังแผ่นซิลิโคนหนาประมาณ 2200 อังสตรอม

#### 4.3 ขบวนการเปิดแผ่นซิลิโคนไดออกไซด์ที่ผิวด้านหน้า

- เคลื่อนน้ำยาไวแสง AZ 1350 ที่ความหลังและที่ขมของแผ่น แล้วนำไปอบแห้งที่อุณหภูมิ 80 องศาเซลเซียส เกรด ประมาณ 20 นาที ในกรณีที่สร้าง 4 เซลล์พร้อมกันใน

เอกสารนี้เป็นเอกสารต้นฉบับที่จัดทำขึ้นเพื่อใช้ในการศึกษาวิจัยและพัฒนาเทคโนโลยีการผลิตเซลล์แสงอาทิตย์ชนิดซิลิโคน  
 ไม่ว่ากรณีใดๆ ที่มีการนำเอกสารนี้ไปใช้โดยไม่ได้รับอนุญาตจากเจ้าของเอกสาร

- กักขังแบคทีเรียในหลอดไซโตคานหน้า ค่ายน้ำยาพีเพอร์ (รายละเอียดอยู่ในภาคผนวกที่ 1) ประมาณ 1 นาที
- ล้างค่ายน้ำบริสุทธิ์
- ล้างน้ำยาไวแสงออกค่ายน้ำยาอะซิโตน
- ล้างค่ายน้ำบริสุทธิ์
- ล้างผิวหน้าแบคทีเรียในค่าย กรดไฮโดรฟลูออริก 5% นาน 10 วินาที
- ล้างค่ายน้ำบริสุทธิ์ และเป่าให้แห้ง

#### 4.4 ขบวนการแพร่สารเชื้อ

##### 4.4.1 การแพร่สารเชื้อชนิดที่ (ใช้กับแบคทีเรียชนิดอื่น)

- นำแผ่นไบรอนไนโตรค (BN) ใส่ในเตาแพร่สารที่มีอุณหภูมิ 975 องศาเซลเซียสเป็นเวลา 30 นาที โดยปล่อยให้ก๊าซออกซิเจนไหลผ่านเตาในอัตรา 800 ซี ซี ต่อ นาทีตลอดเวลา
- นำแบคทีเรียชนิดอื่น วางคู่กับแผ่นไบรอนไนโตรค ในเตาแพร่สารที่มีอุณหภูมิ 975 องศาเซลเซียสเป็นเวลา 30 นาที โดยปล่อยให้ก๊าซไนโตรเจนไหลผ่านเข้าไปในเตาในอัตรา 800 ซี ซี ต่อ นาที ตลอดเวลาช่วงนี้สารเชื้อจากแผ่นไบรอนจะแพร่เข้ามาสู่แบคทีเรีย

##### 4.4.2 การแพร่สารเชื้อชนิดอื่น (ใช้กับแบคทีเรียชนิดที่)

- นำแผ่นฟอสฟอรัส เพนทอกไซด์ ( $P_2O_5$ ) ใส่ในเตาแพร่สารที่มีอุณหภูมิ 975 องศาเซลเซียส ปล่อยให้ไหลผ่านไนโตรเจนไหลผ่านเตาในอัตรา 800 ซี ซี ต่อ นาที เป็นเวลา 30 นาที
- นำแบคทีเรียชนิดอื่น วางคู่กับแผ่นฟอสฟอรัส เพนทอกไซด์ในเตาแพร่สารเดิม, ปล่อยให้ไหลผ่านไนโตรเจนไหลผ่านเตาในอัตรา 300 ซี ซี ต่อ นาที เป็นเวลา 30 นาที สารเชื้อฟอสฟอรัสจากแผ่นฟอสฟอรัสจะแพร่เข้ามาสู่แบคทีเรีย

#### 4.4.3 . การสร้างชั้นซิลิกอนไดออกไซด์ บนผิวหน้าเพื่อใช้เป็นชั้นลการสะท้อนแสง

- นำแผ่นซิลิกอนที่ได้รับการแพร่สารเจือแล้วไปอบในเตาแพร่สารเจือที่มีอุณหภูมิ 1100 องศาเซลเซียส, ปล่อยให้ก๊าซไนโตรเจนไหลผ่านเข้าไปในเตาในอัตรา 1000 ซีซี ต่อนาทีพร้อมทั้งปล่อยไอน้ำ ให้ไหลผ่านเข้าไปในเตาด้วยเป็นเวลา 10 นาที จะเกิดชั้นซิลิกอนไดออกไซด์หนาประมาณ 1200-1300 อังสตรอม และทำให้สารเจือแพร่ขีกลงไปในซิลิกอนอีกเล็กน้อย

#### 4.5 ขบวนการเปิดช่องออกไซด์เพื่อสร้างขั้วโลหะ

##### 4.5.1 กรณีที่ใช้ชั้นแบบลวดลายชนิดลบ

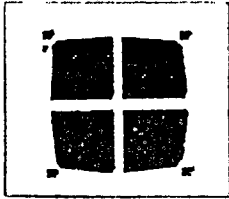
- เคลือบน้ำยาไวแสงชนิดบวก AZ 1350 ที่ด้านหน้าของแผ่นซิลิกอน, อบให้แห้งที่อุณหภูมิ 80 องศาเซลเซียส เป็นเวลา 20 นาที
- สร้างลวดลายที่จะเปิดช่องซิลิกอนไดออกไซด์ บนผิวหน้าด้วยต้นแบบลวดลายชนิดลบ
- กัดซิลิกอนไดออกไซด์ด้านหลังและลวดลายด้านหน้าด้วยน้ำยาฟิเตอร์
- ล้างด้วยน้ำบริสุทธิ์
- ล้างน้ำยาไวแสงด้วยน้ำยาอะซิโตน
- ล้างด้วยน้ำบริสุทธิ์ และเป่าให้แห้ง

##### 4.5.2 กรณีที่ใช้ชั้นแบบลวดลายชนิดบวก

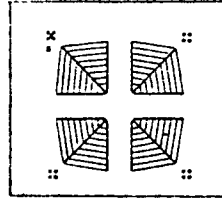
- เคลือบน้ำยาไวแสง Waycoat ซึ่งเป็นน้ำยาไวแสงชนิดลบ ที่ด้านหน้าของแผ่นซิลิกอน, อบให้แห้งที่อุณหภูมิ 90 องศาเซลเซียส เป็นเวลา 20 นาที
- สร้างลวดลายที่จะเปิดช่องออกไซด์บนผิวหน้าด้วยต้นแบบลวดลายชนิดบวก
- กัดซิลิกอนไดออกไซด์ด้านหน้าและหลังด้วยน้ำยาฟิเตอร์
- ล้างด้วยน้ำบริสุทธิ์
- ท้มในกรดซัลฟูริก ( $H_2SO_4$ ) 20 นาที เพื่อล้างน้ำยาไวแสง
- ท้มในน้ำบริสุทธิ์ 10 นาที
- ล้างด้วยน้ำบริสุทธิ์และเป่าให้แห้ง

#### 4.6 ขบวนการสร้างขั้วโลหะ

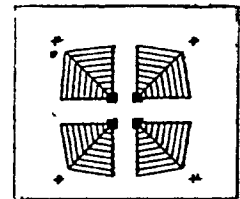
- เคลือบอลูมิเนียมที่ด้านหน้าและด้านหลังของแผ่นซิลิกอน โดยใช้อุปกรณ์เคลือบโลหะ  
สูญญากาศ (Evaporator), ใช้ความกดดันประมาณ  $10^{-5}$  ทอร์
- เคลือบน้ำยาไวแสง AZ-1350 ที่ด้านหน้าและด้านหลังแผ่นซิลิกอน แล้วนำไปอบให้  
แห้งที่อุณหภูมิ 80 องศาเซลเซียส ประมาณ 20 นาที
- สร้างลวดลายโลหะบนผิวหน้าซิลิกอน ด้วยต้นแบบลวดลายชนิดบวก
- แก้อลูมิเนียมที่ด้านหน้าออกให้เป็นลวดลายตามแบบ ด้วยกรดแก๊สอลูมิเนียม (รายละเอียด  
อยู่ในภาคผนวกที่ 1)
- ล้างน้ำบริสุทธิ์ และเป่าให้แห้ง
- อบแผ่นซิลิกอนที่อุณหภูมิ 500 องศาเซลเซียส เป็นเวลา 15 นาที เพื่อให้ให้อลูมิเนียม  
เป็นรอยสัมผัสอหิมิก (ohmic contact) ที่ติดกับซิลิกอน
- นำแผ่นซิลิกอนไปชุบนิเกิลแบบไร้ไฟฟ้า (Electroless nickel plating)  
(รายละเอียดอยู่ในภาคผนวกที่ 2 ) เป็นเวลาประมาณ 10 นาที
- นำแผ่นเซลาไปอบความร้อนที่อุณหภูมิ ประมาณ 160 องศาเซลเซียส ประมาณ 4  
ชั่วโมง จากนั้นจึงนำไปตัดกรีตตั้งบนฐานรอง เพื่อตรวจสอบคุณสมบัติ



สำหรับเปิดช่องออกไซด์ เพื่อแพร่สารเจือ

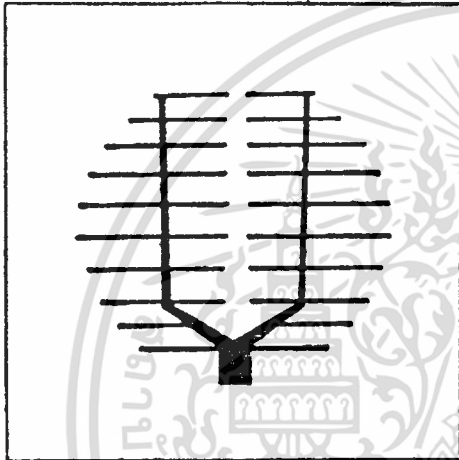


สำหรับเปิดช่องออกไซด์ เพื่อทำข้าวโลหะ

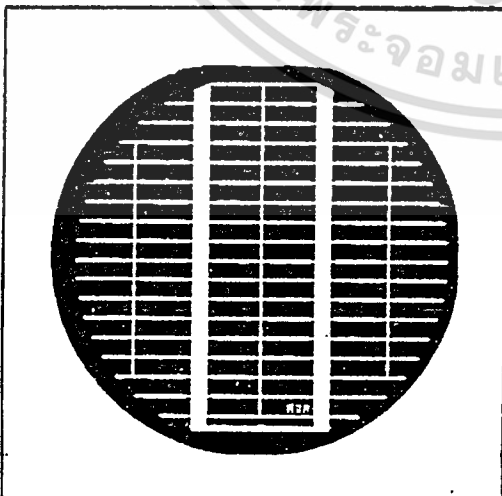


สำหรับทำลาดลาบ ข้าวโลหะ

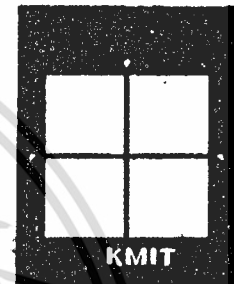
ต้นแบบ SC-1 : ต้นแบบชนิดบวก



ต้นแบบ SC-2 : ต้นแบบชนิดบวก สำหรับเปิดช่องออกไซด์และทำลาดลาบ ข้าวโลหะ



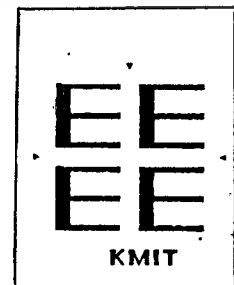
ต้นแบบ SC-4 : ต้นแบบชนิดลบ สำหรับเปิดช่องออกไซด์



ชนิดลบ : ใช้เปิดช่องออกไซด์ เพื่อแพร่สารเจือ



ชนิดลบ : ใช้เปิดช่องออกไซด์ เพื่อทำข้าวโลหะ



ชนิดบวก : ใช้ทำลาดลาบ ข้าวโลหะ

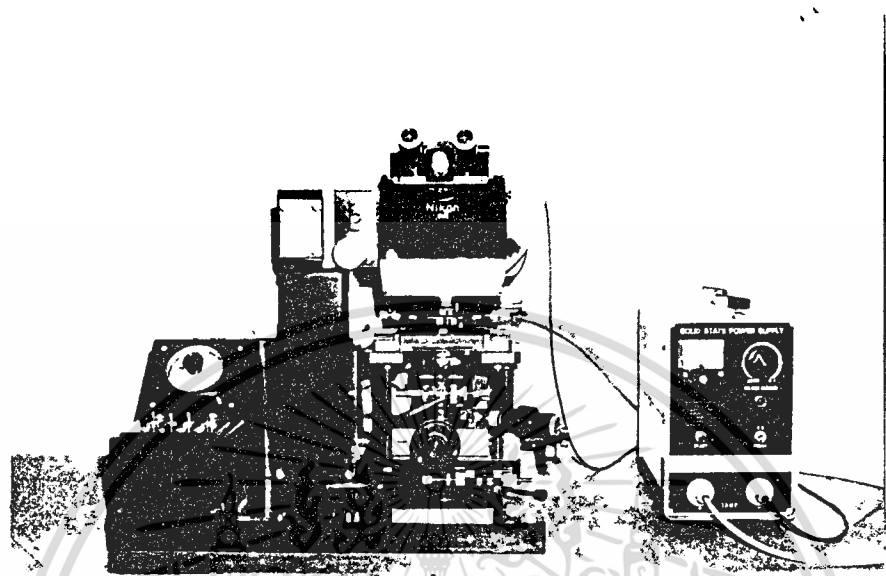


รูปที่ 14. เตาแพร่สารใช้สำหรับแพร่ชิ้นสารเจือเข้าไปในแผ่นฟิล์มอิกอน

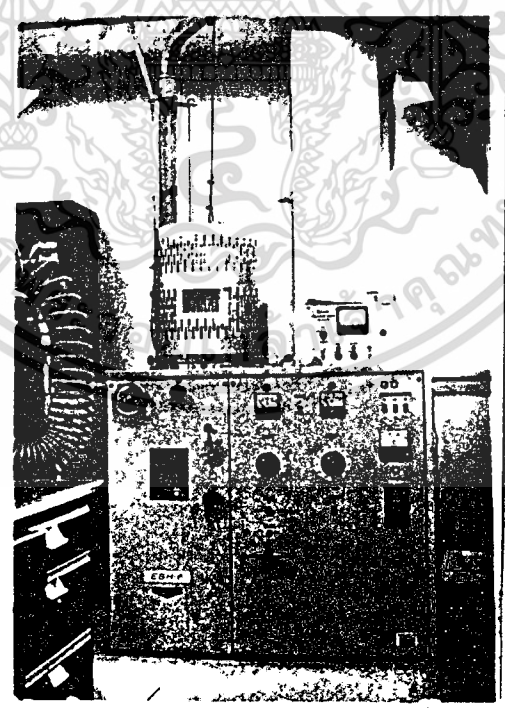


รูปที่ 15. ต้นแบบลวดลายเซลแสงอาทิตย์ที่ติดตั้งอยู่บนจอของกล้องถ่ายภาพยอส่วน (Reduction camera) ภาพที่ถี่ยืดจะอยู่บนฟิล์มกระจก และใช้เป็นต้นแบบลวดลายในการสร้าง

เอกสารนี้เป็นเอกสารที่สงวนไว้สำหรับการใช้ในห้องปฏิบัติการเท่านั้น ไม่อนุญาตให้นำไปใช้ประโยชน์ด้านการค้า  
ไม่ว่ากรณีใดๆทั้งสิ้น อีกทั้งห้ามมิให้ดัดแปลงเนื้อหา และต้องอ้างอิงถึงเจ้าของเอกสารทุกครั้งที่มีการนำไปใช้



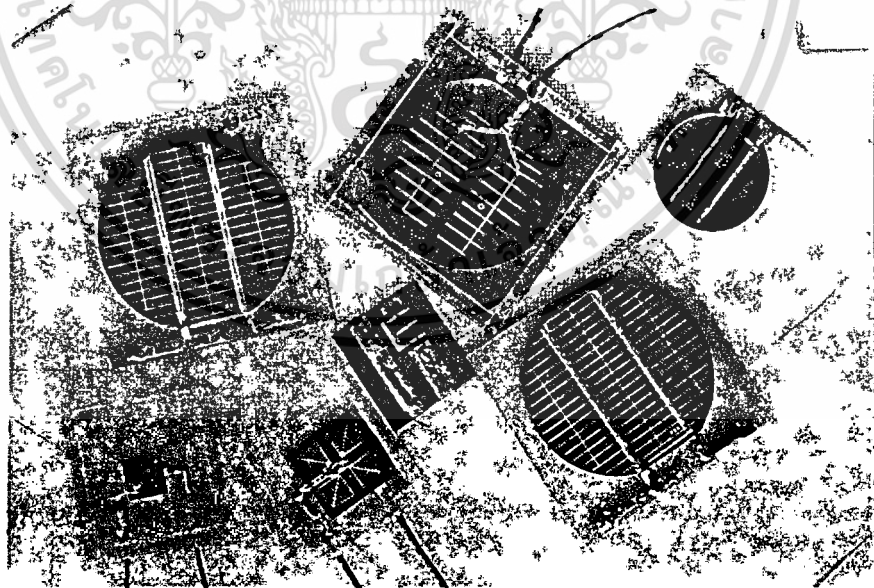
รูปที่ 16. เครื่องถ่ายภาพแบบลวดลายของบนเซลล์แสงอาทิตย์



รูปที่ 17. อุปกรณ์เคลือบโลหะในสูญญากาศ (Evaporator)



รูปที่ 18. เครื่องเขียนกราฟและเครื่องกำเนิดแสงอาทิตย์เทียมที่ใช้ในการวัดหาคณสมมติของเซลลา



รูปที่ 19. เซลล์แสงอาทิตย์แบบต่าง ๆ ที่ทดลองสร้างขึ้นมา

## บทที่ 5

### การทดลองและผลการทดลอง

#### 5.1 การตรวจสอบคุณสมบัติของเซลล์ที่สร้างได้

##### 5.1.1 การทดลอง

1. สร้างเซลล์ตามขบวนการสร้างโพลีที่ 4 โดยใช้แผ่นซิลิกอนแบบแผ่นผลึกเดี่ยว (Single crystal) ชนิดเอ็นผิวกระจกที่มีความต้านทานจำเพาะ 0.1 โอห์ม-เซนติเมตร หนาราว 300 ไมครอน, มีระนาบ  $\langle 111 \rangle$ , เส้นผ่าศูนย์กลาง 5 เซนติเมตร เซลล์ที่สร้างได้มีลักษณะแตกต่างกันดังนี้

เซลล์ A และเซลล์ B สร้างจากต้นแบบลวดลาย SC-1 ซึ่งเป็นต้นแบบลวดลายแรก ที่ออกแบบสำหรับใช้สร้างเซลล์ต้นแบบนี้สามารถสร้างเซลล์ได้ 4 เซลล์พร้อมกัน แต่ละเซลล์มีพื้นที่ 0.64 ตารางเซนติเมตร, พื้นที่รับแสงประมาณ 0.44 ตารางเซนติเมตร

เซลล์ A เป็นเซลล์เดี่ยวที่มีพื้นที่รับแสง 0.44 ตารางเซนติเมตร

เซลล์ B เป็นเซลล์เดี่ยว 4 เซลล์ที่ต่อขนานกันอยู่บนแผ่นซิลิกอนเดียวกัน มีพื้นที่รับแสงประมาณ 1.76 ตารางเซนติเมตร

เซลล์ C เป็นเซลล์ที่สร้างจากต้นแบบลวดลาย SC-2 มีพื้นที่รับแสงประมาณ 12.6 ตารางเซนติเมตร

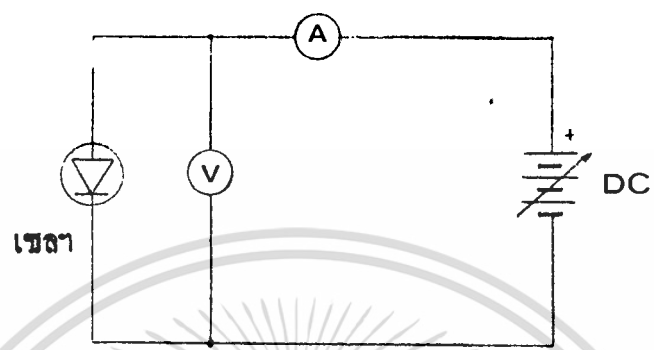
2. นำเซลล์ที่สร้างเสร็จเรียบร้อยแล้วมาทดสอบเป็นวงจรโวลต์ตรงในรูปที่ 20 เพื่อตรวจสอบคุณสมบัติของเซลล์ในขณะที่ยังไม่ได้รับแสง ข้อมูลที่ได้นำไปเขียนกราฟที่มีสเกลแบบเชิงเส้น (Linear scale) ผลที่ได้แสดงไว้ในรูปที่ 22.

3. นำข้อมูลที่ได้ไปเขียนกราฟแบบเขมิล็อกคิงรูปที่ 23. เพื่อหาค่าความต้านทานอนุกรมภายใน (รายละเอียดดูในภาคผนวกที่ 4)

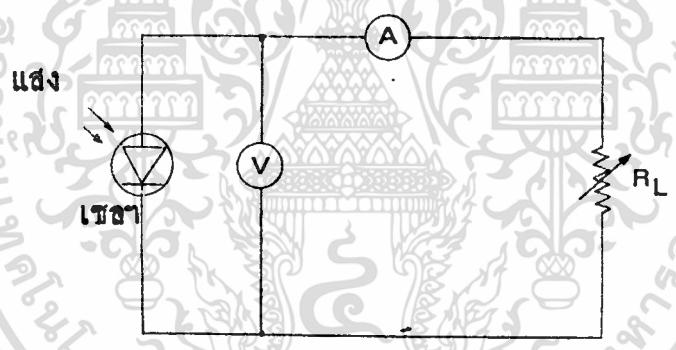
4. นำเซลล์มาทดสอบวงจรในรูปที่ 21.ข เพื่อตรวจสอบคุณสมบัติของเซลล์ขณะได้รับแสงจากเครื่องกำเนิดแสงอาทิตย์เทียม (Solar-simulator) ซึ่งมีความเข้มแสงประมาณ 100 มิลลิวัตต์ ต่อหนึ่งตารางเซนติเมตร กราฟผลการทดลองแสดงไว้ในรูปที่ 24, 25 และ 26

เอกสารนี้เป็นเอกสารที่สงวนไว้สำหรับการใช้งานเพื่อการศึกษาเท่านั้น ไม่อนุญาตให้นำไปใช้ประโยชน์ด้านการค้า

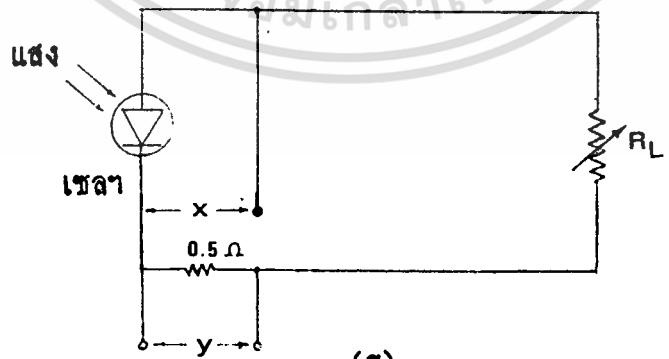
ไม่ว่ากรณีใดๆทั้งสิ้น อีกทั้งห้ามมิให้ตัดแปลงเนื้อหา และต้องอ้างอิงถึงเจ้าของเอกสารทุกครั้งที่มีการนำไปใช้



รูปที่ 20. การวัดคุณสมบัติของเซลล์ ณะได้รับไบอัสตรง



(ก)

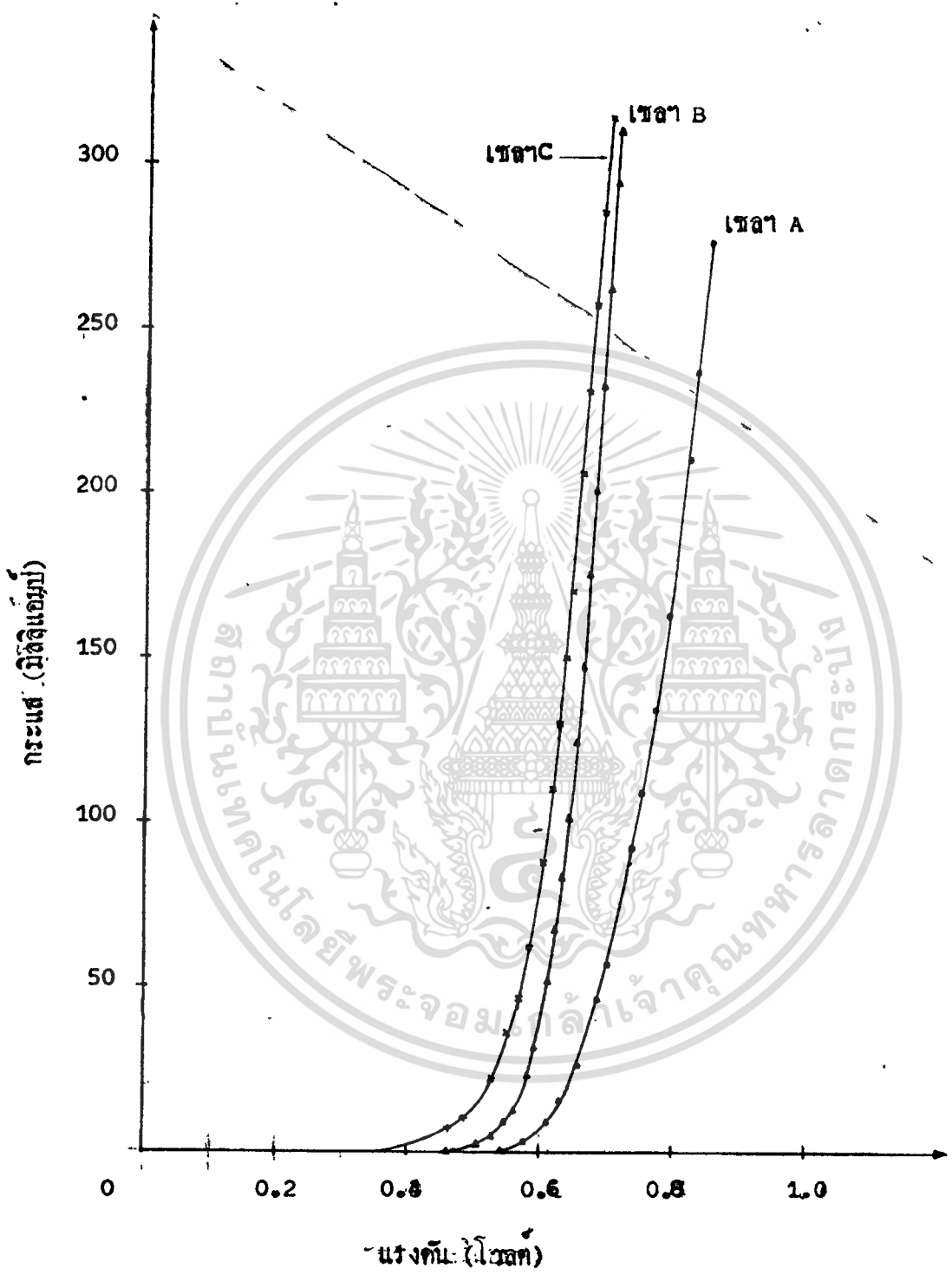


(ข)

รูปที่ 21. การวัดคุณสมบัติของเซลล์ ณะได้รับแสง

(ก) วัดโดยไม้มิเตอร์

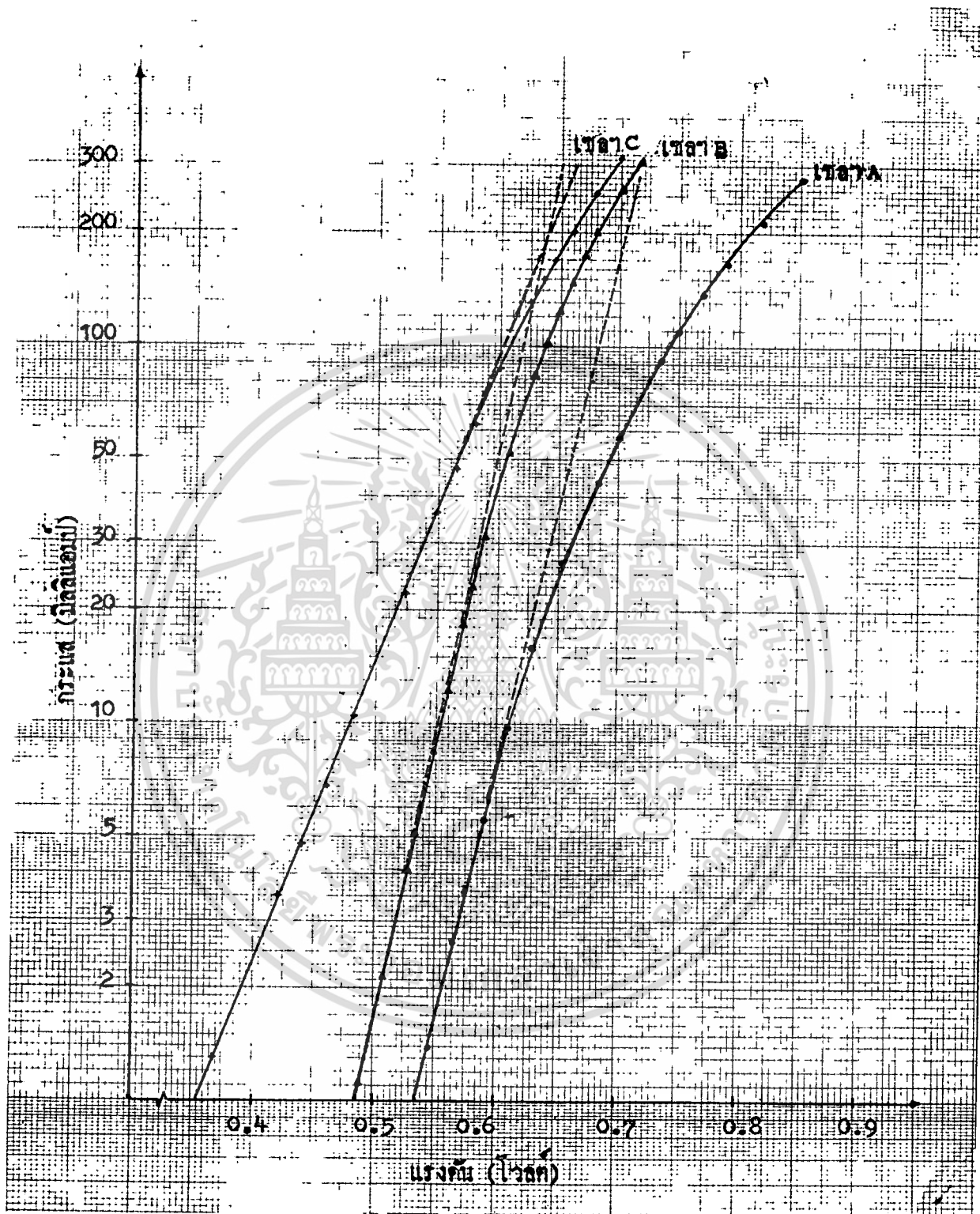
(ข) วัดโดยใช้เครื่องเขียนกราฟ



รูปที่ 22. กราฟคุณสมบัติความสัมพันธ์ระหว่างกระแสและแรงดันของหลอดแสงอาทิตย์

**ขณะโวลต์ไบอัสตรง**

เอกสารนี้เป็นเอกสารที่สงวนไว้สำหรับการใช้งานเพื่อการศึกษาเท่านั้น ไม่อนุญาตให้นำไปใช้ประโยชน์ด้านการค้า  
ไม่ว่ากรณีใดๆทั้งสิ้น อีกทั้งห้ามมิให้ดัดแปลงเนื้อหา และต้องอ้างอิงถึงเจ้าของเอกสารทุกครั้งที่มีการนำไปใช้



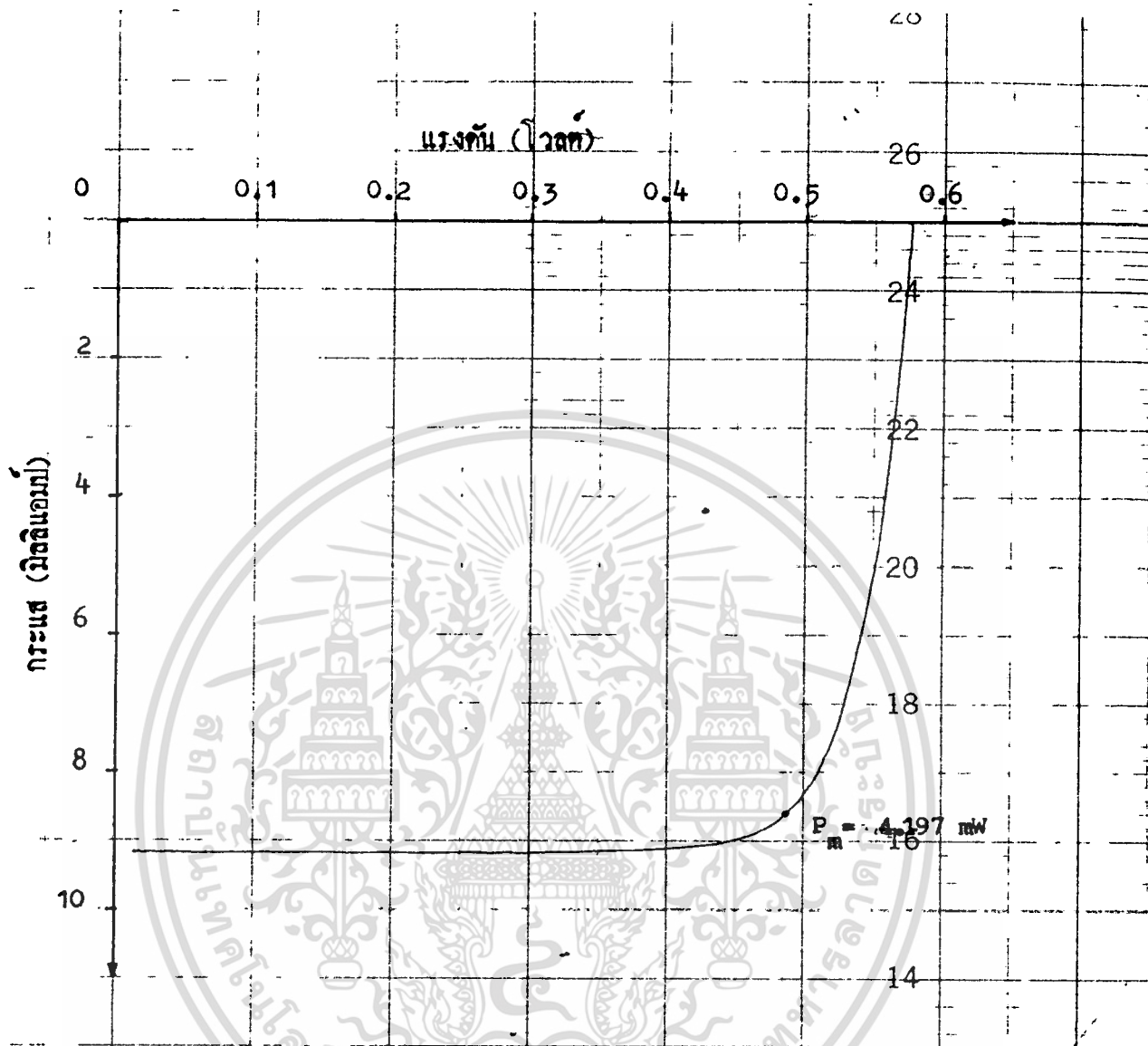
รูปที่ 23 กราฟความสัมพันธ์ระหว่างกระแสและแรงดันของเซมิคอนดักเตอร์ชนิดไดโอดซิลิคอนที่เขียนอยู่บนกราฟเซมิล็อก. เพื่อหาค่าความต้านทานอนุกรมภายใน

เอกสารนี้เป็นเอกสารที่สงวนไว้สำหรับการใช้งานเพื่อการศึกษาเท่านั้น ไม่อนุญาตให้นำไปใช้ประโยชน์ด้านการค้า ไม่ว่าจะกรณีใดๆทั้งสิ้น อีกทั้งห้ามมิให้ดัดแปลงเนื้อหา และต้องอ้างอิงถึงเจ้าของเอกสารทุกครั้งที่มีการนำไปใช้

ค่าความต้านทานอนุกรมภายในของเซลล์ A, B และ C

กระแส (มิลลิแอมป์)	เซลล์ A		เซลล์ B		เซลล์ C	
	$\Delta V$ (มิลลิโวลต์)	$R_g$ (โอห์ม)	$\Delta V$ (มิลลิโวลต์)	$R_s$ (โอห์ม)	$\Delta V$ มิลลิโวลต์)	$R_s$ (โอห์ม)
150	80	0.53	30	0.2	14	0.093
200	100	0.5	40	0.2	20	0.1
250	125	0.5	53	0.212	25.5	0.102

ค่า  $R_s$  โดยเฉลี่ยของเซลล์ A = 0.51 โอห์ม  
 ค่า  $R_s$  โดยเฉลี่ยของเซลล์ B = 0.204 โอห์ม  
 ค่า  $R_s$  โดยเฉลี่ยของเซลล์ C = 0.1 โอห์ม

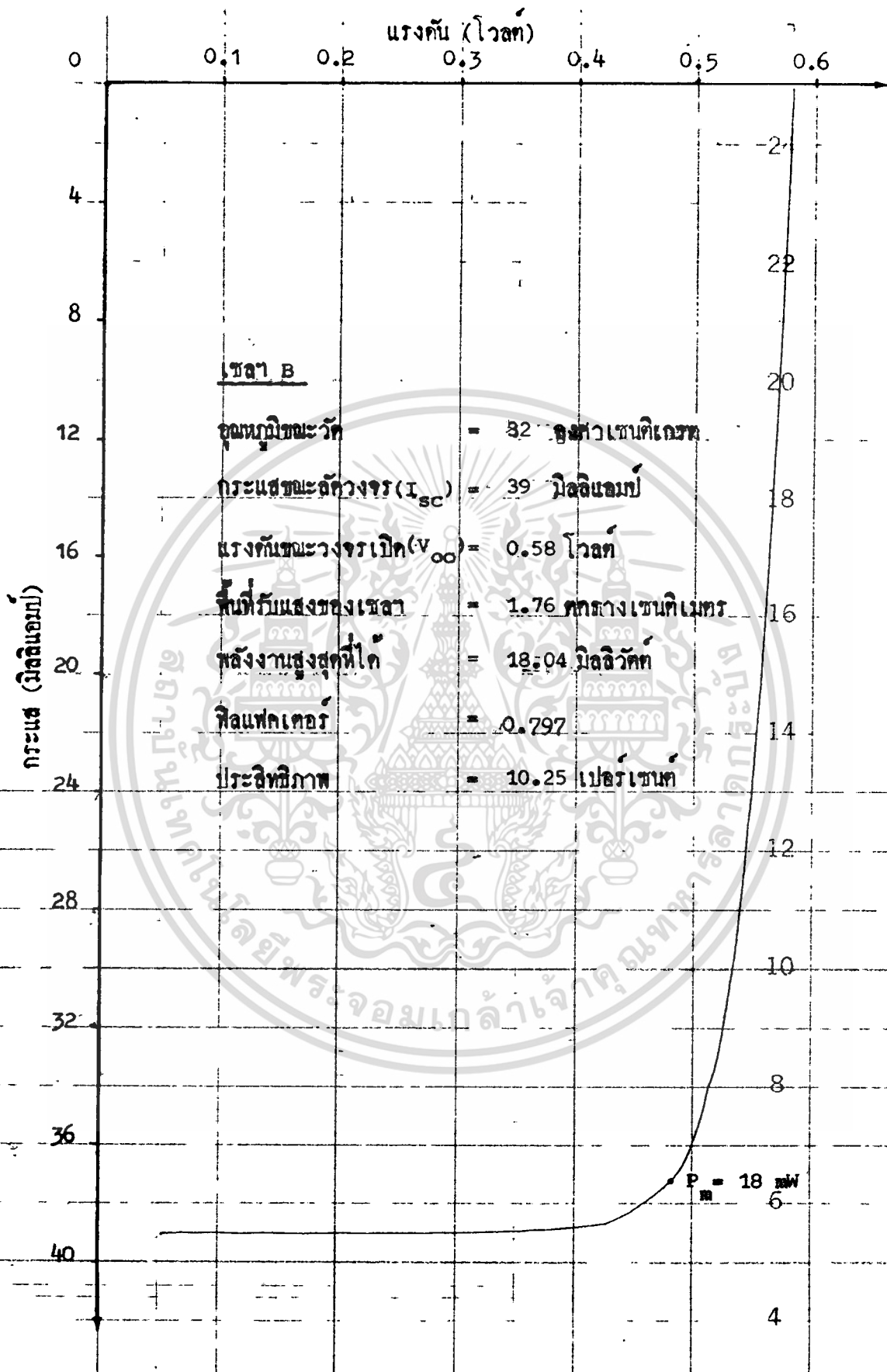


**เชลล์ A**

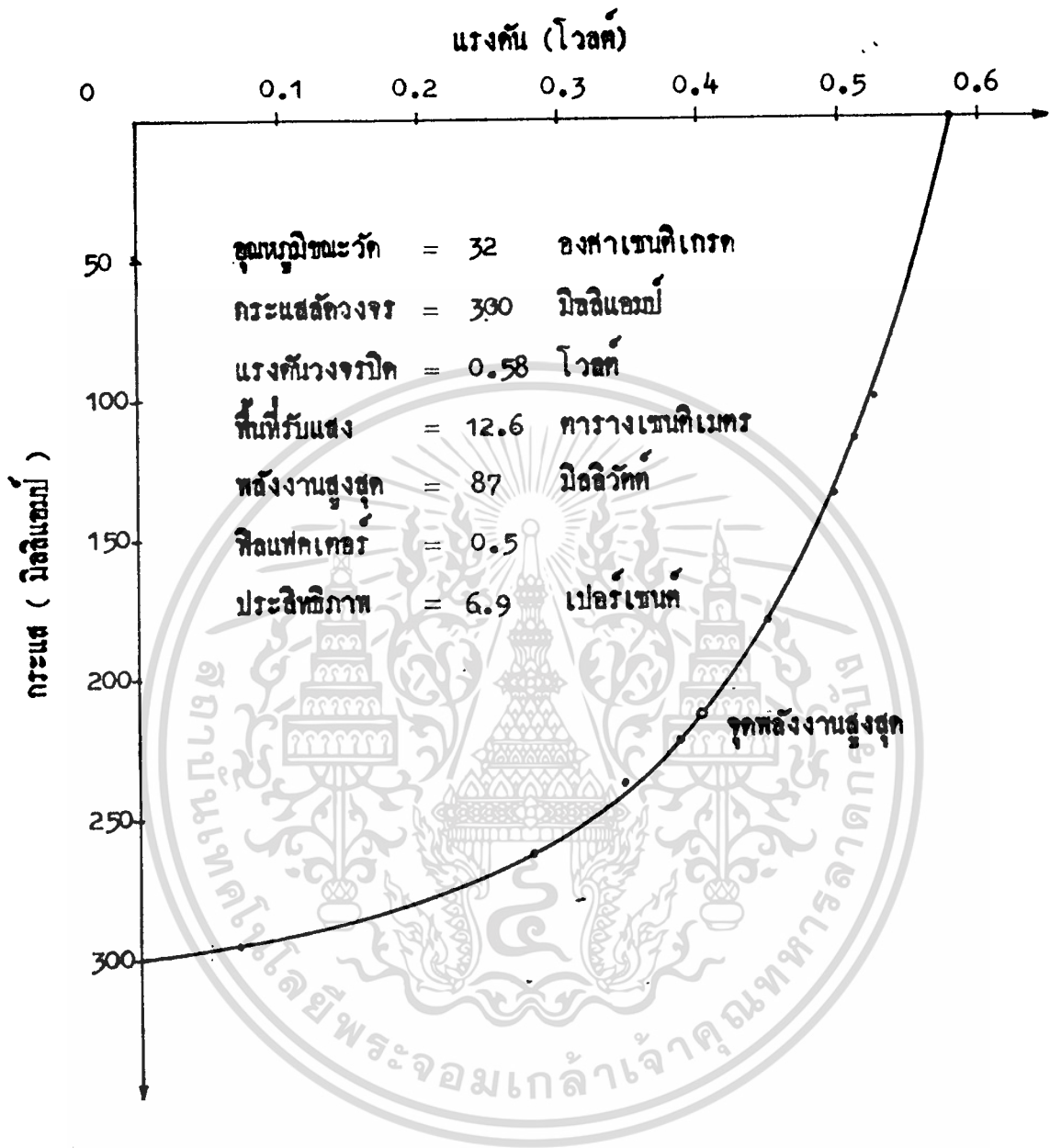
อุณหภูมิเซลล์	=	32	องศาเซลเซียส
กระแสชอร์ตวงจร ( $I_{sc}$ )	=	9.2	มิลลิแอมป์
แรงดันวงจรเปิด ( $V_{oc}$ )	=	0.575	โวลต์
พื้นที่รับแสงของเซลล์	=	0.44	ตารางเซนติเมตร
พลังงานสูงสุดที่ได้ ( $P_m$ )	=	4.197	มิลลิวัตต์
ฟิลแฟกเตอร์	=	0.793	
ประสิทธิภาพ	=	9.54	เปอร์เซ็นต์

**รูปที่ 24. คุณสมบัติทางไฟฟ้าของเซลล์ A**

เอกสารนี้เป็นเอกสารที่สงวนไว้สำหรับการใช้งานเพื่อการศึกษาเท่านั้น ไม่อนุญาตให้นำไปใช้ประโยชน์ด้านการค้า  
ไม่ว่ากรณีใดๆทั้งสิ้น อีกทั้งห้ามมิให้ดัดแปลงเนื้อหา และต้องอ้างอิงถึงเจ้าของเอกสารทุกครั้งที่มีการนำไปใช้



เอกสารนี้เป็นเอกสารที่สงวนลิขสิทธิ์ 25. คุณสมบัติทางไฟฟ้าของเซลล์ B ไม่นับผูกมัดให้นำไปใช้ประโยชน์ด้านการค้า  
ไม่ว่ากรณีใดๆทั้งสิ้น อีกทั้งห้ามมิให้ดัดแปลงเนื้อหา และต้องอ้างอิงถึงเจ้าของเอกสารทุกครั้งที่มีการนำไปใช้



รูปที่ 26 คุณสมบัติทางไฟฟ้าของเซลล์

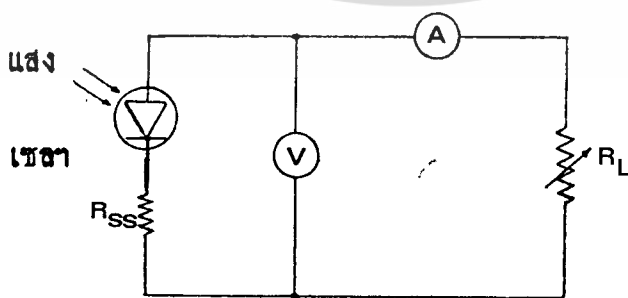
## 5.2 ผลของความต้านทานอนุกรมภายในเซลล์

### 5.2.1 การทดลอง

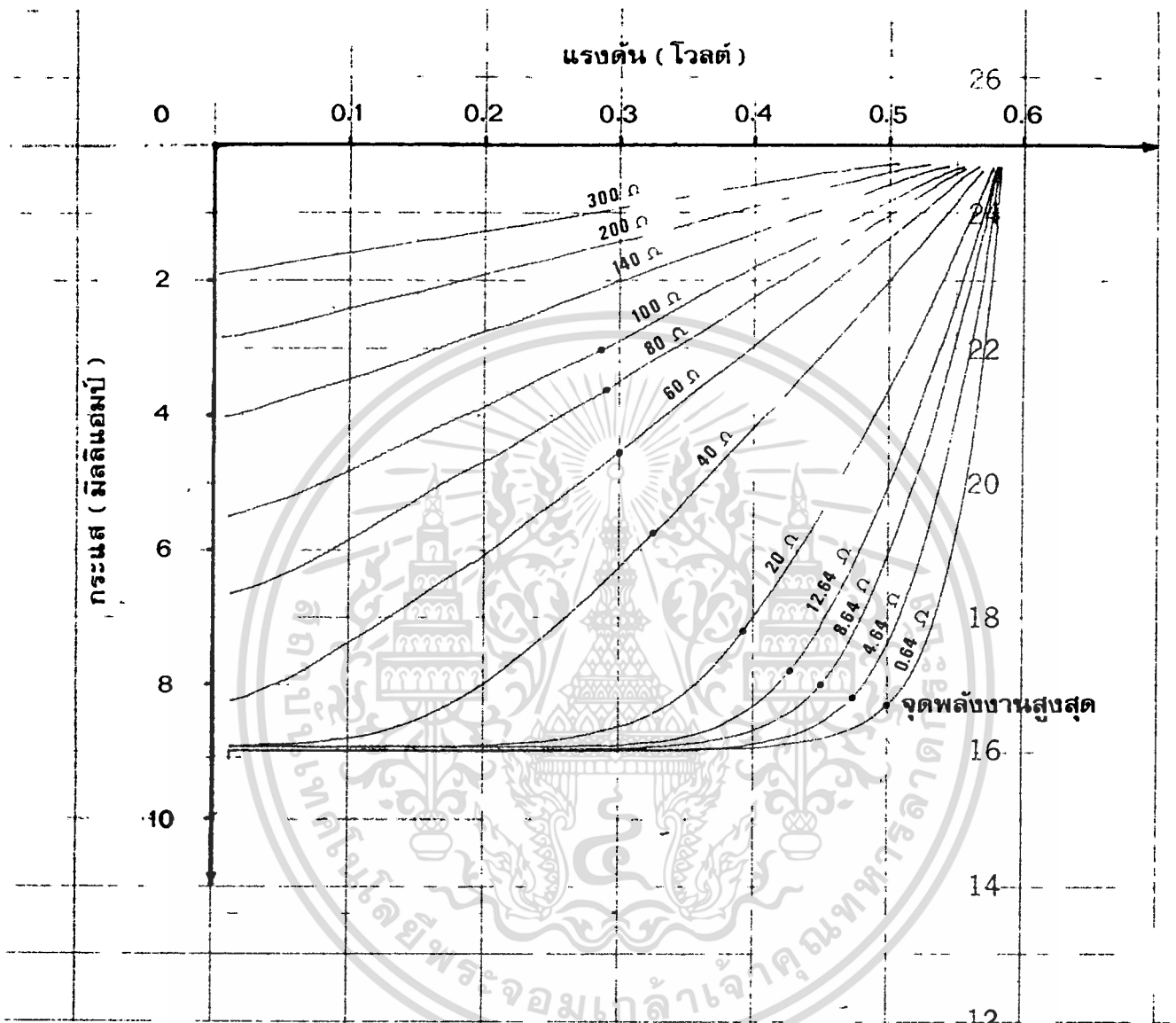
นำเซลล์ A และ B มาต่อตามวงจรทดลองในรูปที่ 27,  $R_{SS}$  เป็นค่าความต้านทานที่ใส่ไว้เพื่อให้ใช้เป็นความต้านทานอนุกรมภายในที่เปลี่ยนค่าได้ ดังนั้นค่าความต้านทานอนุกรมที่ได้อาจเป็นผลรวมของค่าความต้านทานอนุกรมภายในเซลล์จริง ๆ กับค่าความต้านทานอนุกรมจากภายนอก หากการวัดคุณสมบัติความสัมพันธ์ระหว่างกระแสและแรงดันของเซลล์แสงอาทิตย์ที่ค่า  $R_{SS}$  ต่าง ๆ กัน ผลที่ได้แสดงเป็นกราฟดังรูปที่ 28 และ 29 .

### 5.2.2 ผลการทดลอง

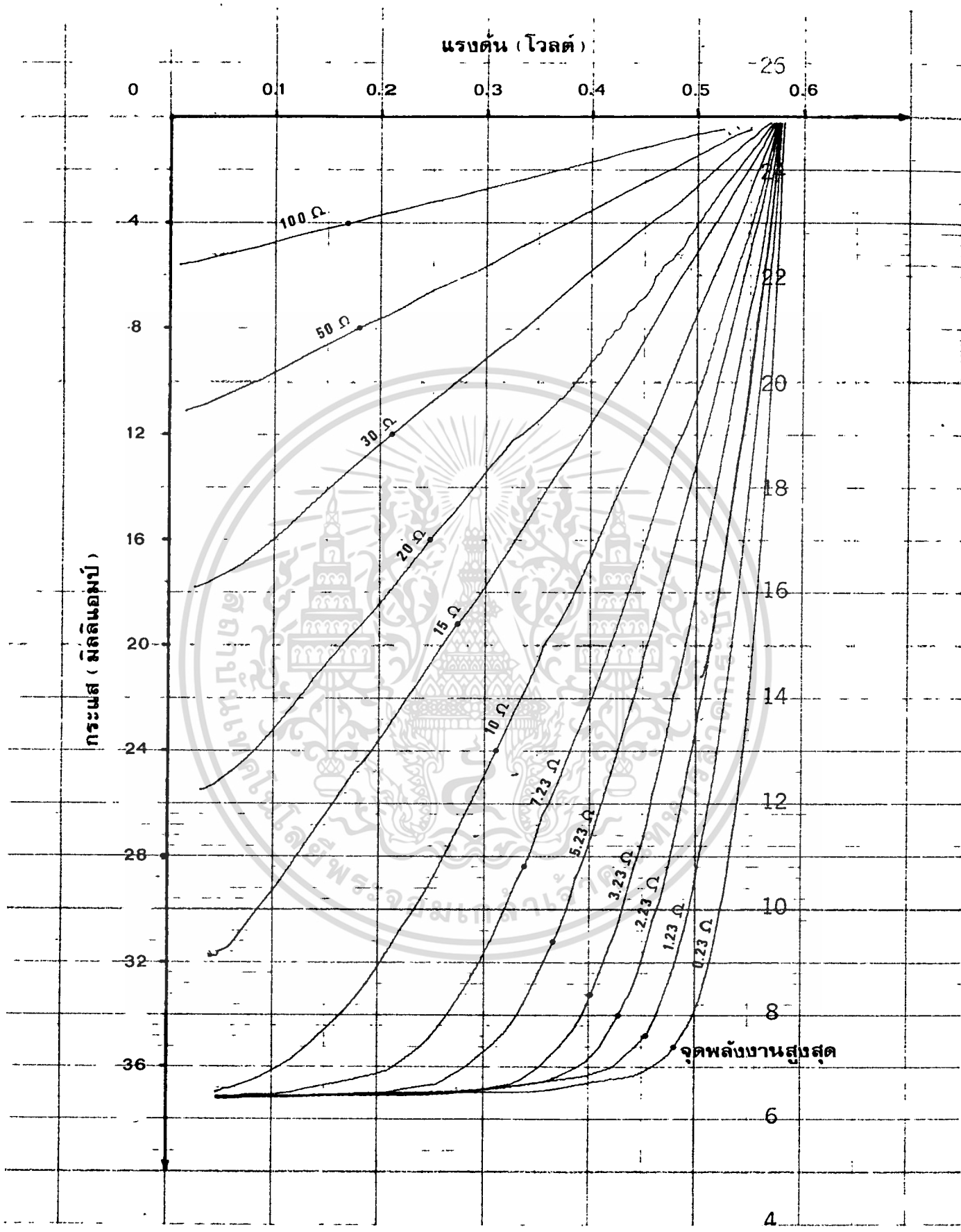
จากกราฟผลการทดลองในรูปที่ 28 และ 29 จะเห็นได้ว่าความต้านทานอนุกรมภายในมีผลต่อพลังงานไฟฟ้าที่ได้จากเซลล์มาก เซลล์ที่มีความต้านทานอนุกรมภายในสูงจะจ่ายพลังงานไฟฟ้าออกมา น้อยมาก ดังนั้นในการสร้างเซลล์จึงควรหาทางลดค่าความต้านทานอนุกรมภายในให้เหลือน้อยที่สุด เพื่อจะดูผลของความต้านทานภายในที่มีต่อการเปลี่ยนแปลงของพลังงานไฟฟ้าที่ได้จากเซลล์ จึงได้สรุปข้อมูลจากกราฟในรูปที่ 28 และ 29 ออกมาเป็นตารางข้อมูลที่ 2 เพื่อที่จะเปรียบเทียบให้เห็นผลของความต้านทานอนุกรมภายในที่มีต่อเซลล์ A และเซลล์ B จึงได้ทำการนอร์มอลไลซ์ค่าพลังงานสูงสุดที่ได้จากเซลล์ทั้งสองให้มีค่าเป็นหนึ่ง ในกรณีที่ความต้านทานอนุกรมภายในมีค่าต่ำสุด ส่วนพลังงานสูงสุดค่าอื่น ๆ ก็จะถูกลดทอนลงมาจากอัตราเดียวกัน ค่าที่ได้แสดงไว้เป็นกราฟในรูปที่ 30 .



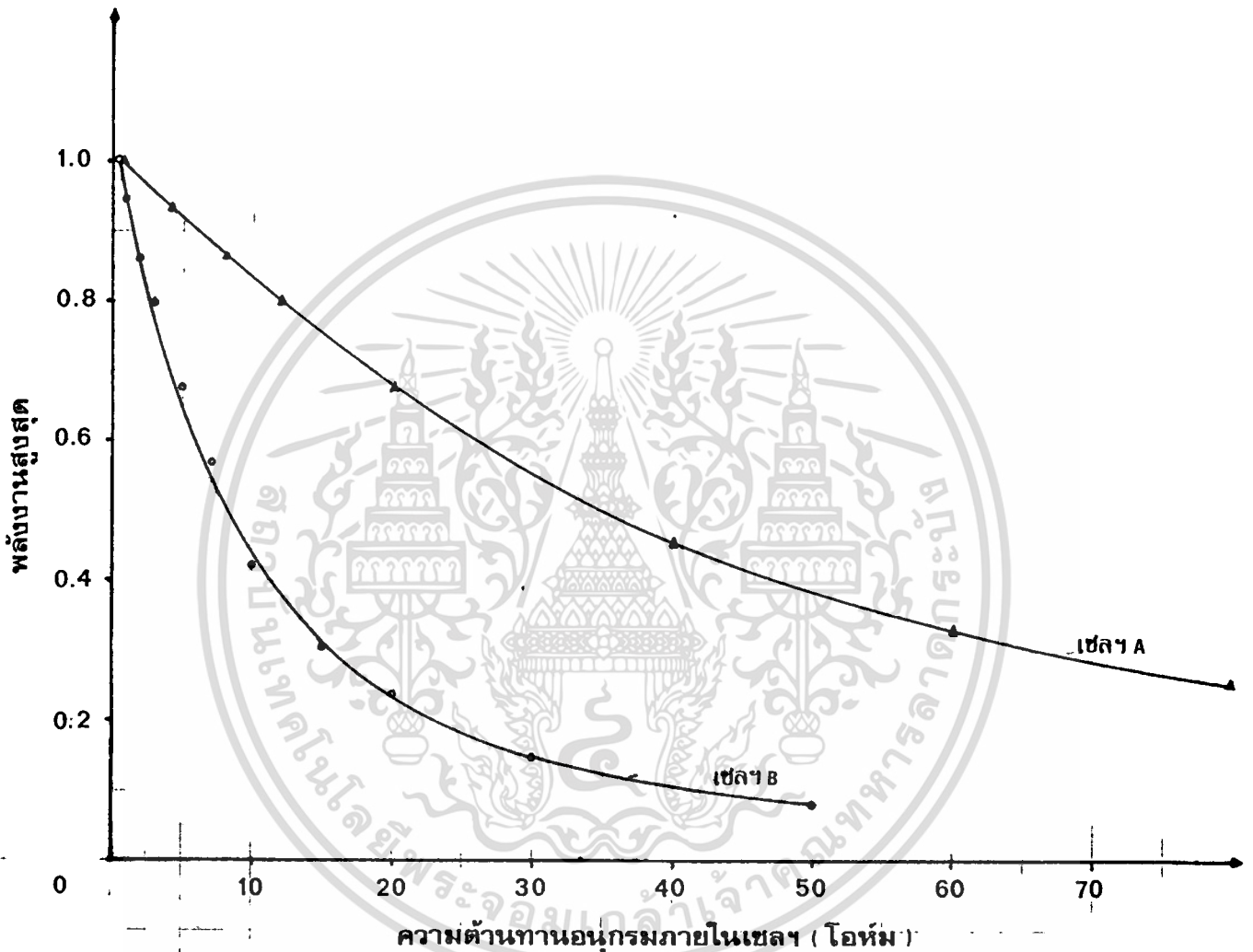
รูปที่ 27 วงจรทดลองวัดผลของความต้านทานอนุกรมภายใน



รูปที่ 28. กราฟคุณสมบัติความสัมพันธ์ระหว่างกระแสและแรงดันของเซลา  $\mu$  ที่มีความต้านทาน  
ชุกกรมายในแตกต่างกัน



รูปที่ 29. กราฟคุณสมบัติความสัมพันธ์ระหว่างกระแสและแรงดันของเซลา B ที่มีความต้านทาน  
 เอกสารนี้เป็นเอกสารที่สงวนไว้สำหรับการใช้งานเพื่อการศึกษาเท่านั้น ไม่อนุญาตให้นำไปใช้ประโยชน์ด้านการค้า  
 อนุกรมภายในแตกต่างกัน  
 ไม่ว่ากรณีใดๆทั้งสิ้น อีกทั้งห้ามมิให้ดัดแปลงเนื้อหา และต้องอ้างอิงถึงเจ้าของเอกสารทุกครั้งที่มีการนำไปใช้



รูปที่ 30. กราฟแสดงผลของความต้านทานอนุกรมภายในที่มีต่อพลังงานที่ได้จากเซลล์แสงอาทิตย์

## ตารางขอมูลที่ 2

เขต A			เขต B		
ความต้านทาน อนุกรม (โอห์ม)	พลังงานสูงสุด (มิลลิวาตต์)	ค่าขอมูลโลต	ความต้านทาน อนุกรม (โอห์ม)	พลังงานสูงสุด (มิลลิวาตต์)	ค่าขอมูลโลต
0.64	4.15	1	0.23	16.82	1
4.64	3.87	0.932	1.23	15.82	0.9405
8.64	3.6	0.867	3.23	13.40	0.769
12.64	3.31	0.7976	2.23	14.48	0.860
20	2.8	0.675	5.23	11.38	0.676
40	1.885	0.454	7.23	9.57	0.568
60	1.374	0.331	10	7.44	0.442
80	1.047	0.252	15	5.22	0.413
100	0.87	0.209	20	4.02	0.239
			30	2.52	0.150
			50	1.40	0.083

เมื่อพิจารณาของค่าความต้านทานอนุกรมภายในที่มีต่อการเปลี่ยนแปลงของพลังงานสูงสุดที่ได้จากเขต A จะเห็นได้ว่าเขต B ซึ่งมีที่นี่ยากและให้พลังงานสูงสุดออกมาสูงกว่าเขต A ค่าพลังงานสูงสุดจะเปลี่ยนแปลงไปอย่างรวดเร็วมากกับค่าความต้านทานอนุกรมที่เพิ่มขึ้น ดังนั้นในการสร้างเขตรักษาใหญ่เพื่อให้เขาจ่ายพลังงานออกมาสูง ก็จำเป็นอย่างยิ่งที่จะต้องลดค่าความต้านทานอนุกรมภายในให้มีค่าน้อยที่สุด

### 5.3 ผลของความเข้มแสง

#### 5.3.1 การทดลอง

นำหลอดแสงอาทิตย์ที่มีพื้นที่ 1.76 ตารางเซนติเมตรที่สร้างขึ้นมาจากทอมวงจรทดลอง สำหรับวัดคุณสมบัติของเซลล์ในรูปที่ 21. ข แล้วฉายแสงให้เซลล์ตั้งแต่ความเข้ม 300, 500, 1000, 2000, 3000, 4000, 5000 และ 6000 ลักซ์ บันทึกข้อมูลความสัมพันธ์ของกระแสและแรงดันในแต่ละความเข้มแสงเอาไว้แล้วนำไปเขียนเป็นกราฟ ดังแสดงในรูปที่ 31.

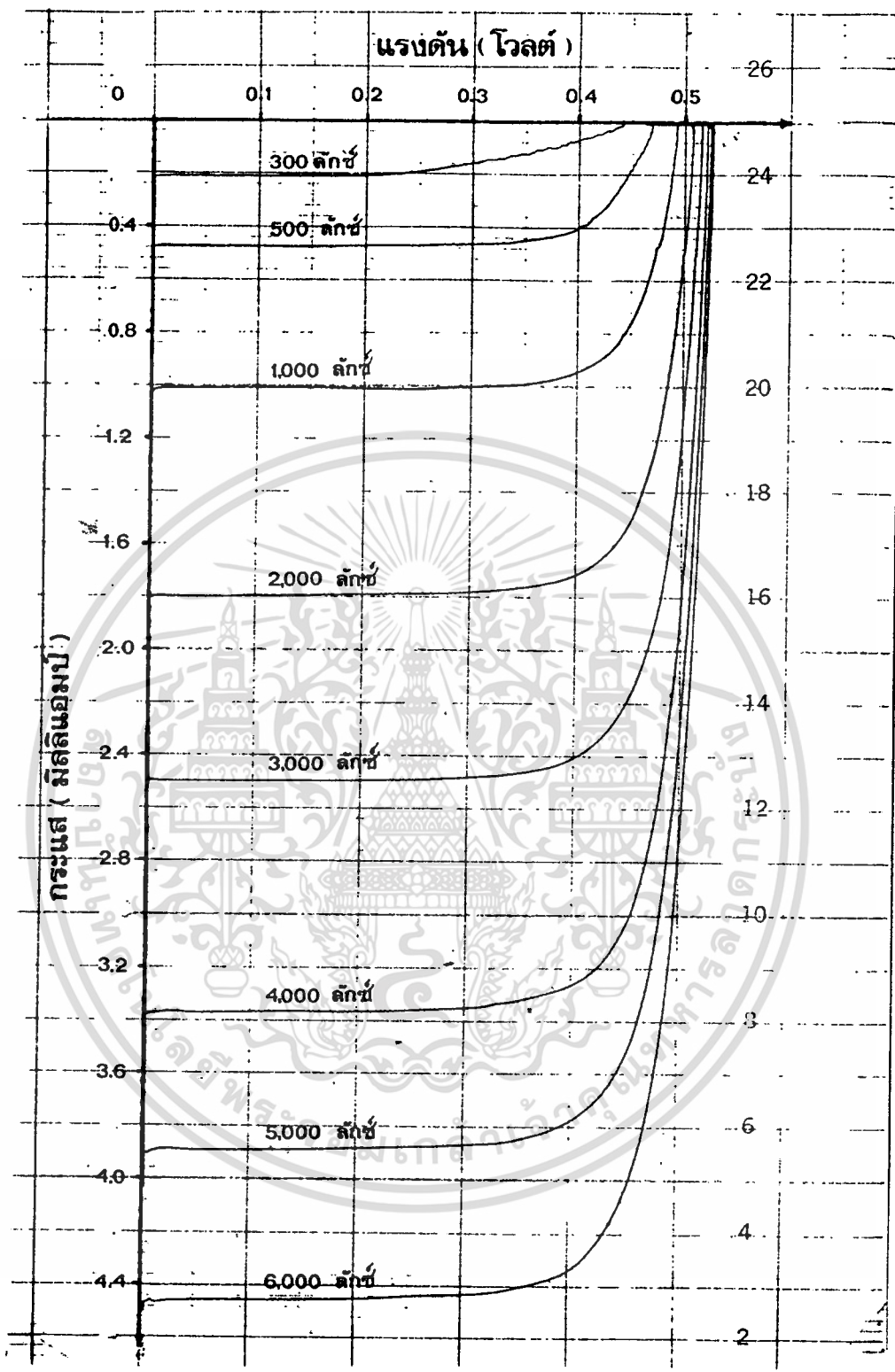
#### 5.3.2 ผลการทดลอง

จากกราฟผลการทดลองในรูปที่ 31 สามารถเขียนสรุปออกมาเป็นตารางข้อมูลที่ 3. ได้ดังนี้

ตารางข้อมูลที่ 3

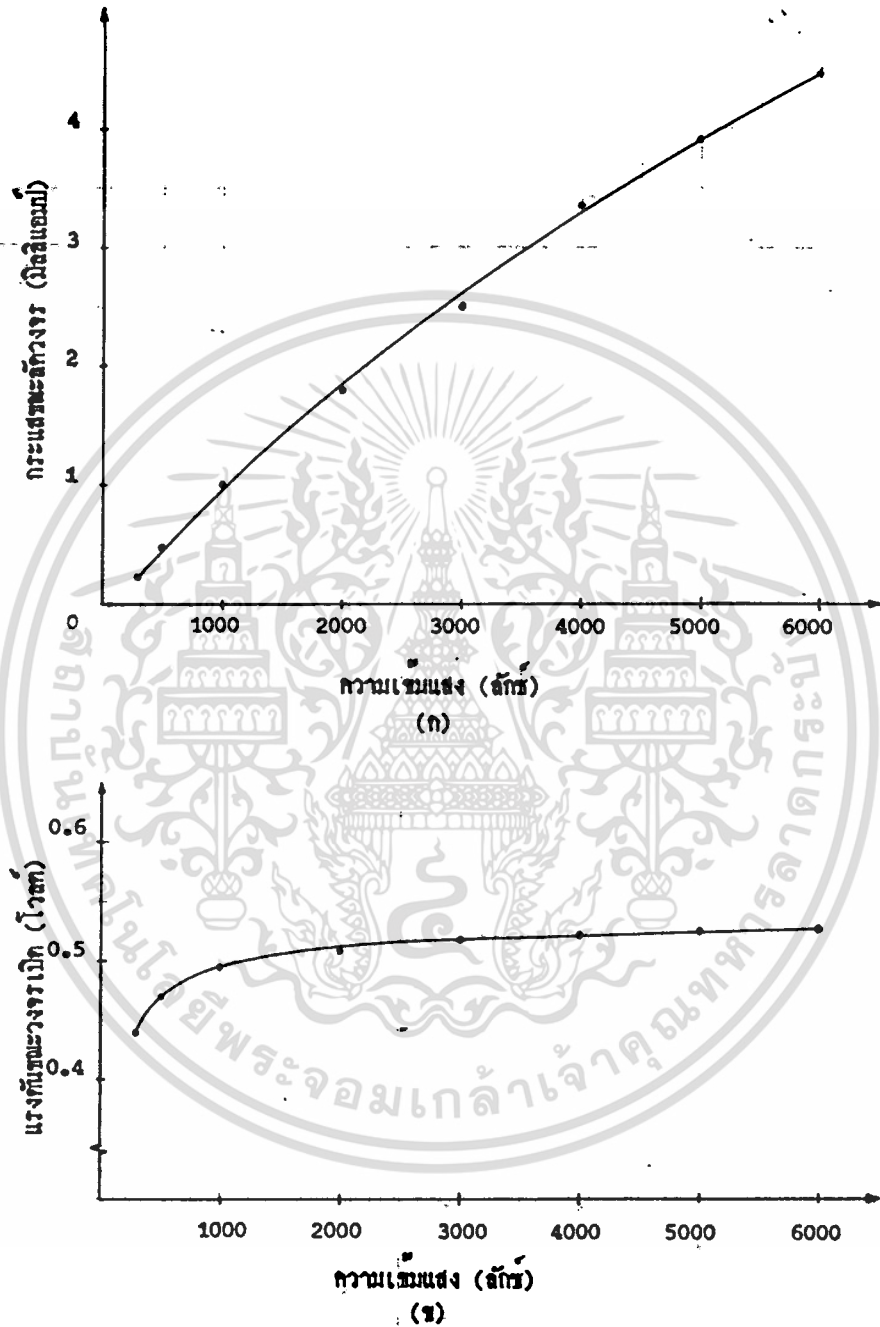
ความเข้มแสง (ลักซ์)	$I_{sc}$ (มิลลิแอมป์)	$V_{oc}$ (โวลต์)
300	0.22	0.44
500	0.48	0.47
1000	1.0	0.95
2000	1.7	0.508
3000	2.5	0.515
4000	3.35	0.520
5000	3.9	0.525
6000	4.45	0.527

จากตารางข้อมูลที่ 1 สามารถเขียนเป็นกราฟเพื่อแสดงผลของความเข้มแสงที่มีต่อกระแสและแรงดันที่ได้ ดังรูปที่ 31.



รูปที่ 31 .กราฟคุณสมบัติความสัมพันธ์ระหว่างกระแสและแรงดันของ  
หลอดแสงอาทิตย์ที่ความเข้มแสงต่าง ๆ

เอกสารนี้เป็นเอกสารที่สงวนไว้สำหรับการใช้งานเพื่อการศึกษาเท่านั้น ไม่อนุญาตให้นำไปใช้ประโยชน์ด้านการค้า  
ไม่ว่ากรณีใดๆทั้งสิ้น อีกทั้งห้ามมิให้ดัดแปลงเนื้อหา และต้องอ้างอิงถึงเจ้าของเอกสารทุกครั้งที่มีการนำไปใช้



- รูปที่ ๑๕. ก. ผลของความเข้มแสงที่มีต่อกระแสแสงสว่างของเซลล์แสงอาทิตย์  
 ข. ผลของความเข้มแสงที่มีต่อกระแสแสงสว่างเปิดของเซลล์แสงอาทิตย์

จากกราฟในรูปที่ 32 ก. พบว่าความเข้มแสงและกระแสที่ได้อาจจะมีความสัมพันธ์กันเป็นเชิงเส้นโดยถ้ายิ่ง เพิ่มความเข้มแสงมากขึ้นเท่าใดกระแสจะมากขึ้นตามไปด้วย

จากกราฟในรูปที่ 32 ข. พบว่าความเข้มแสงและแรงดันที่ได้อาจจะมีความสัมพันธ์กันในลักษณะเอ็กโพเนนเชียล โดยแรงดันจะเปลี่ยนแปลงตามความเข้มแสงในช่วงแรก ๆ เท่านั้น เมื่อความเข้มแสงเพิ่มสูงขึ้นเกินกว่า 1,000 ลักซ์แล้วแรงดันจะเปลี่ยนแปลงน้อยมาก

จากผลการทดลองนี้สามารถนำไปใช้ในการออกแบบระบบจ่ายไฟด้วยเซลล์แสงอาทิตย์ได้ เมื่อพิจารณาการนำเซลล์ไปใช้งาน เซลล์จะจ่ายพลังงานไฟฟ้าได้เฉพาะช่วงเวลากลางวันซึ่งมีแสงพอเพียงเท่านั้น เพื่อให้สามารถรับพลังงานไฟฟ้าได้ตลอดเวลา จึงต้องมีแบตเตอรี่ช่วยเก็บพลังงานไฟฟ้าจากเซลล์เอาไว้ในเวลากลางคืนพลังงานไฟฟ้าจากแบตเตอรี่ก็จะถูกนำออกมาใช้แทนเซลล์ได้ ลักษณะการนำเซลล์มาต่อร่วมกับแบตเตอรี่นั้นสามารถต่อได้โดยตรง โดยไม่ต้องมีวงจรรักษาระดับแรงดัน เนื่องจากแรงดันที่ได้อาจจะมีความไม่เปลี่ยนแปลงมากนักตามความเข้มแสง สำหรับกระแสที่ใช้ชาร์จแบตเตอรี่ จำเป็นจะต้องมีค่าคงที่น้อยกว่าหนึ่ง ซึ่งจะน้อยกว่าเพียงเล็กน้อยกับขนาดความจุแบตเตอรี่ แต่เนื่องจากกระแสเปลี่ยนแปลงมากตามความเข้มแสง จึงจำเป็นต้องมีส่วนควบคุมกระแสที่จะเข้าสู่แบตเตอรี่ให้มีค่าคงที่เสมอ เพื่อให้แบตเตอรี่มีอายุการใช้งานนานขึ้น บล็อกไดอะแกรมแสดงระบบจ่ายไฟด้วยเซลล์แสงอาทิตย์ได้แสดงไว้ในรูปที่ 12 .

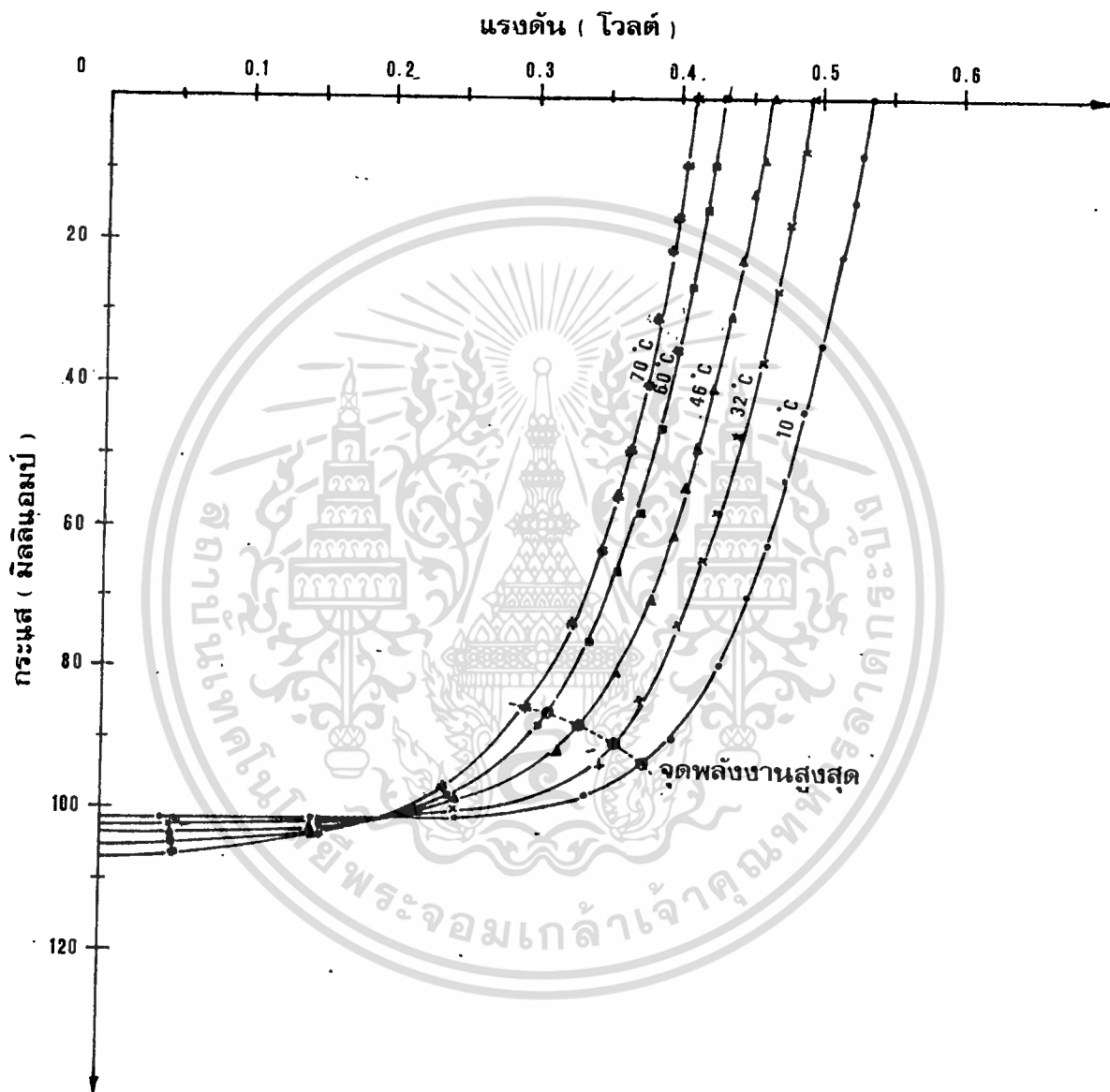
#### 5.4 ผลของอุณหภูมิ

##### 5.4.1 การทดลอง

นำเซลล์แสงอาทิตย์ไปใส่ไว้ในเตาอบที่สามารถปรับอุณหภูมิได้ พร้อมทั้งมีหลอดไฟฟ้าแบบทั้งสแตนขนาด 100 วัตต์ อยู่ภายในเตาอบเพื่อฉายแสงให้กับเซลล์ โดยมีระยะห่างจากเซลล์ประมาณ 7 เซนติเมตร ปลดอากาศเย็นจากเครื่องปรับอากาศให้เข้าไปในเตาอบจนอุณหภูมิลดลงถึง 10 องศาเซลเซียส เมื่อเห็นว่าอุณหภูมิคงที่แล้วจึงฉายแสง ทำการวัดคุณสมบัติความสัมพันธ์ของกระแสและแรงดันของเซลล์ตามวงจรทดลองในรูปที่ 21. ก. จากนั้นเพิ่มอุณหภูมิของเตาอบขึ้นไปตั้งแต่ 32, 46, 60 และ 70 องศาเซลเซียส วัดคุณสมบัติของกระแสและแรงดันที่อุณหภูมิต่าง ๆ ดังกล่าวแล้วนำไปเขียนแสดงเป็นกราฟ ดังแสดงในรูปที่ 33.

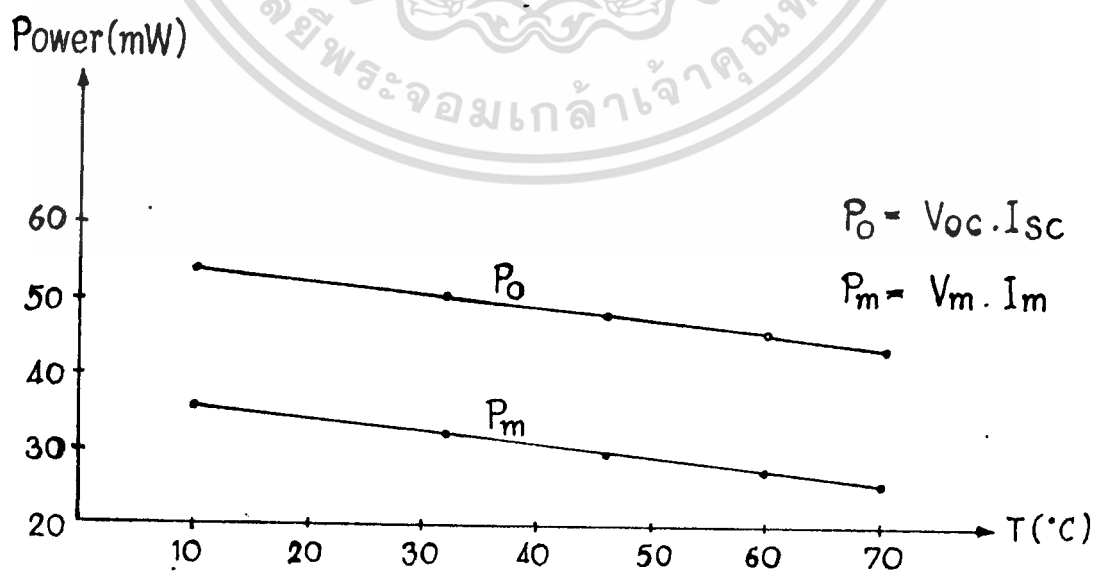
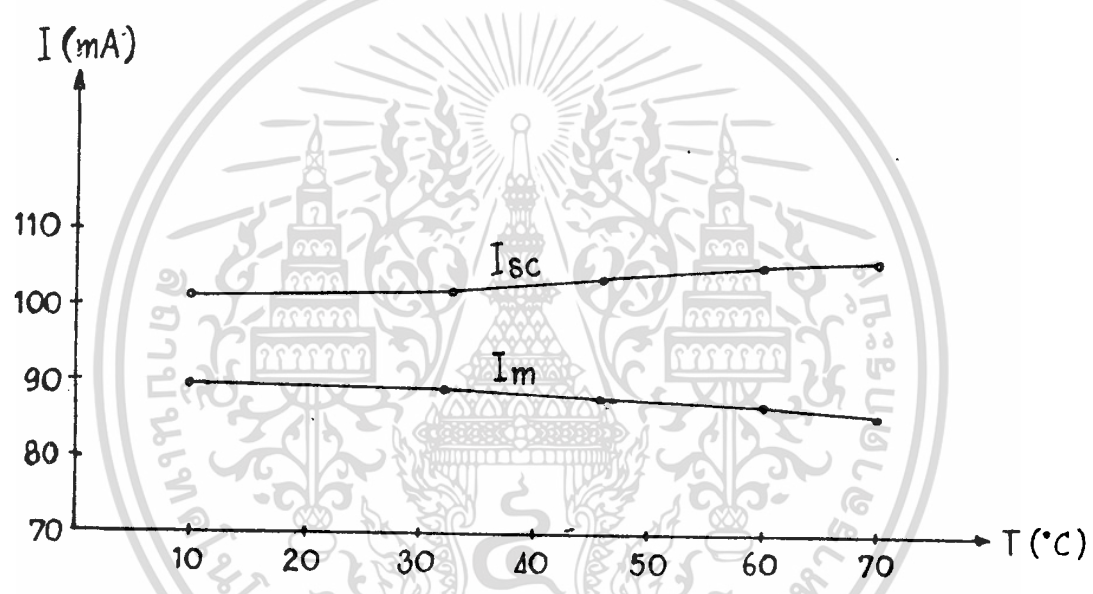
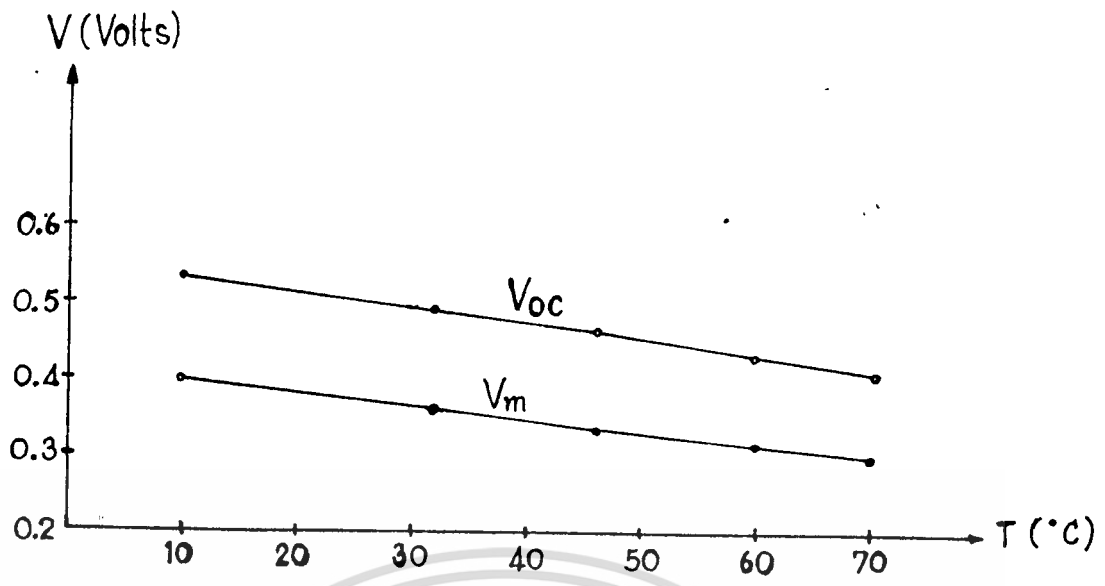
เอกสารนี้เป็นเอกสารที่สงวนไว้สำหรับการใช้งานเพื่อการศึกษาเท่านั้น ไม่อนุญาตให้นำไปใช้ประโยชน์ด้านการค้า

ไม่ว่ากรณีใดๆทั้งสิ้น อีกทั้งห้ามมิให้ดัดแปลงเนื้อหา และต้องอ้างอิงถึงเจ้าของเอกสารทุกครั้งที่มีการนำไปใช้



รูปที่ 33. กราฟคุณสมบัติความสัมพันธ์ระหว่างกระแสและแรงดันของเซลา ที่อุณหภูมิต่าง ๆ

เอกสารนี้เป็นเอกสารที่สงวนไว้สำหรับการใช้งานเพื่อการศึกษาเท่านั้น ไม่อนุญาตให้นำไปใช้ประโยชน์ด้านการค้า  
ไม่ว่ากรณีใดๆทั้งสิ้น อีกทั้งห้ามมิให้ตัดแปลงเนื้อหา และต้องอ้างอิงถึงเจ้าของเอกสารทุกครั้งที่มีการนำไปใช้



เอกสารนี้เป็นเอกสารที่สงวนไว้สำหรับครูใช้งานเพื่อการศึกษาค้นคว้า ไม่อนุญาตให้นำไปใช้ประโยชน์ด้านการค้า  
 รูปที่ 34. ผลของอุณหภูมิที่มีต่อแรงดัน, กระแสและพลังงานที่ได้จากเซลล์แสงอาทิตย์  
 ไม่ว่าจะกรณีใดๆทั้งสิ้น อีกทั้งห้ามมิให้ตัดแปลงเนื้อหา และต้องอ้างอิงถึงเจ้าของเอกสารทุกครั้งที่มีการนำไปใช้

5.4.2 ผลการทดลอง

จากกราฟผลการทดลองในรูปที่ 33. สามารถเขียนสรุปออกมาเป็นตารางข้อมูลที่ 4. ได้

ดังนี้

ตารางข้อมูลที่ 4

อุณหภูมิ	$I_{sc}$ มิลลิแอมป์	$V_{oc}$ โวลต์	$P_o$ มิลลิวัตต์	$I_m$ มิลลิแอมป์	$V_m$ โวลต์	$P_m$ มิลลิวัตต์	หีสงพ่ก่เตอร์
10	101.4	0.535	54.25	89.50	0.40	35.80	0.66
32	102.3	0.494	50.536	89.00	0.356	32.495	0.643
46	103.5	0.465	48.127	87.80	0.335	29.413	0.611
60	105.2	0.432	45.446	87.00	0.316	27.40	0.603
70	106.2	0.412	43.75	85.70	0.298	25.50	0.583

จากตารางข้อมูลที่ 4. สามารถเขียนเป็นกราฟเพื่อแสดงผลของอุณหภูมิที่มีกระแส, แรงดัน และพลังงาน ได้ดังรูปที่ 34.

จากกราฟในรูปที่ 34. จะพบว่าที่อุณหภูมิตั้งแต่ 10 จนถึง 70 องศาเซลเซียส เกรตนั้นกระแส สัดวงจร  $I_{sc}$  จะเพิ่มขึ้นตามอุณหภูมิในอัตรา 0.08 มิลลิแอมป์ ต่อหนึ่งองศาเซลเซียส เกรต กระแส สูงสุด  $I_m$  จะลดลงเมื่ออุณหภูมิเพิ่มขึ้นในอัตรา 0.06 มิลลิแอมป์ ต่อหนึ่งองศาเซลเซียส เกรต แรงดัน วงจรเปิด  $V_{oc}$  จะลดลงเมื่ออุณหภูมิเพิ่มขึ้นในอัตรา 2.05 มิลลิโวลต์ ต่อหนึ่งองศาเซลเซียส เกรต แรงดันสูงสุด  $V_m$  จะลดลงเมื่ออุณหภูมิเพิ่มขึ้นในอัตรา 2.05 มิลลิโวลต์ ต่อหนึ่งองศาเซลเซียส เกรต ค่าพลังงานสูงสุดในทางอุณหคณิต ( $I_{sc} \times V_{oc}$ ) จะลดลงเมื่ออุณหภูมิเพิ่มขึ้นในอัตรา 0.175 mW/°C ค่าพลังงานสูงสุดที่เซลล์จ่ายออกมาได้ ( $P_m$ ) จะลดลงเมื่ออุณหภูมิเพิ่มขึ้นในอัตรา 0.172 mW/°C

จากผลการทดลองนี้จะเห็นได้ว่าอุณหภูมิก็เป็นสิ่งสำคัญประการหนึ่งที่มีผลทำให้พลังงานไฟฟ้า เกิดได้จากเซลล์ลดลง ดังนั้นในการนำเซลล์ไปติดตั้งใช้งานนอกจากจะต้องให้เซลล์ได้มีแสงเป็น เวลานานที่สุดแล้ว ควรพิจารณาติดตั้งเซลล์ในที่ที่มีอากาศถ่ายเทได้สะดวกด้วยเพื่อช่วยระบายความร้อน ให้แก่เซลล์  
นี่เป็นเอกสารที่สงวนไว้สำหรับการใช้งานเพื่อการศึกษาเท่านั้น ไม่อนุญาตให้นำไปใช้ประโยชน์ด้านการค้า  
ไม่ว่ากรณีใดๆทั้งสิ้น อีกทั้งห้ามมิให้ตัดแปลงเนื้อหา และต้องอ้างอิงถึงเจ้าของเอกสารทุกครั้งที่มีการนำไปใช้

## 5.5 ผลของรังสีลิกอนโคออกไซด์ที่ใช้เป็นชั้นลดการสะท้อนแสง

### 5.5.1 การทดลอง

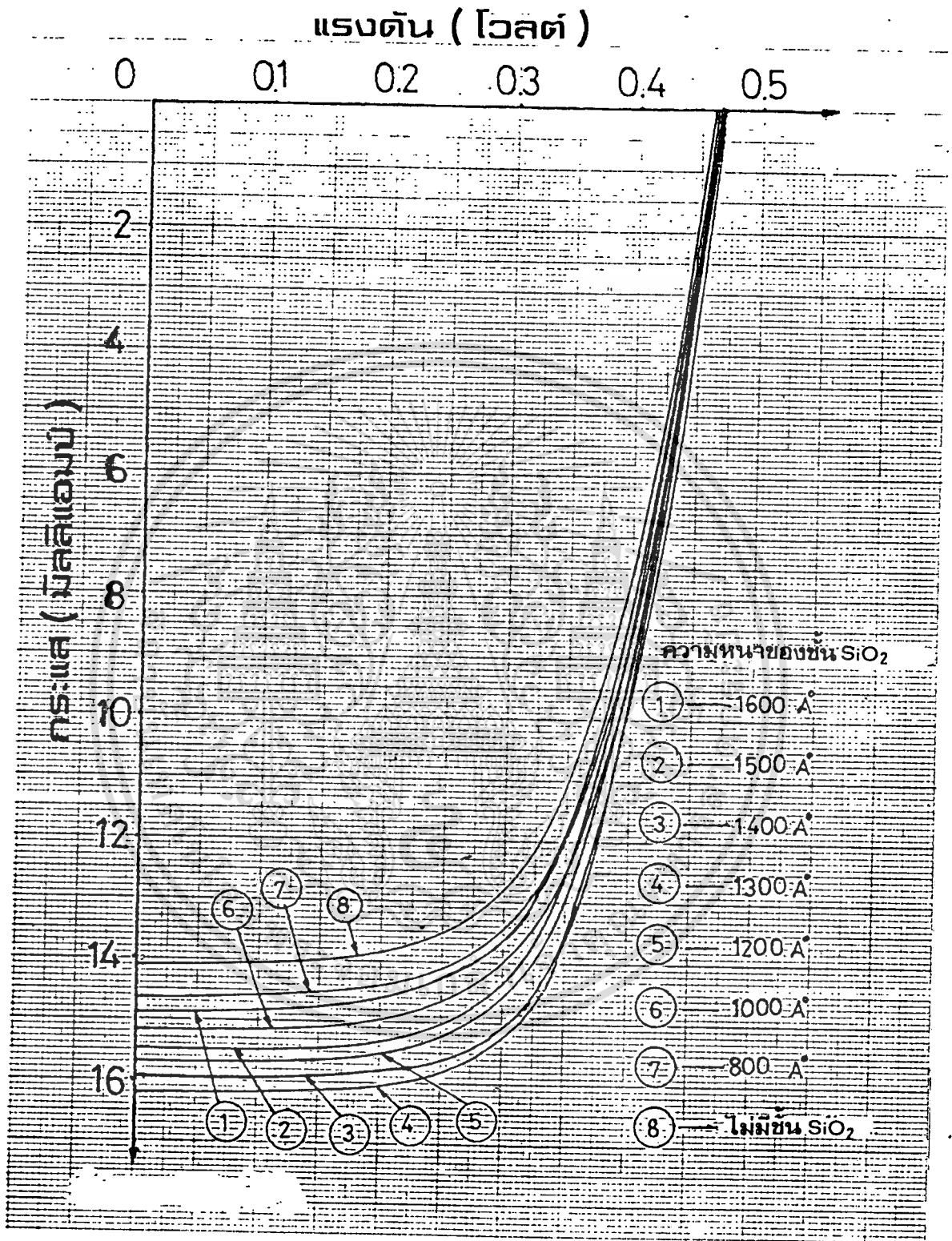
1. นำแผ่นซิลิกอนชนิดเอ็นผิวกระจกความต้านทานจำเพาะประมาณ 1 โอห์ม-เซนติเมตร, ขนาดเส้นผ่าศูนย์กลาง 3 เซนติเมตร, หนา 300 ไมครอน มาสร้างเซลล์แสงอาทิตย์ตามขั้นตอนการสร้างเซลล์ไอเมทที่ 4. โดยใช้ชั้นแม้มือลวดลาย sc-3 จะแตกต่างไปจากขั้นตอนการสร้างเดิมเพราะการอบในเตาแพร่สารที่อุณหภูมิ 1100 องศาเซลเซียส จะทำให้บรรยากาศของก๊าซออกซิเจนและไอน้ำเป็นเวลา 20 นาที จะได้ซิลิกอนโคออกไซด์ที่ผิวหน้าหนาประมาณ 1600 อังสตรอม จากนั้นจึงสร้างเซลล์ตามขั้นตอนต่อไปจนเสร็จสมบูรณ์

2. นำเซลล์ไปตรวจสอบคุณสมบัติ โดยการฉายแสงลงบนเซลล์ด้วยเครื่องกำเนิดแสงอาทิตย์เทียม (Solar Simulator) นำกระแสและแรงดันที่ได้จากเซลล์ป้อนเข้าเครื่องเขียนกราฟ (XY-recorder) ตามรูปที่ 21.ข. เพื่อวัดคุณสมบัติของเซลล์

3. กักซิลิกอนโคออกไซด์ที่ด้านหน้าออกด้วยน้ำยาอีฟเฟอร์ ที่มีอัตราการกักซิลิกอนโคออกไซด์ 10 อังสตรอมต่อวินาที ทำการกักออกครั้งละ 10 วินาที จำนวน 4 ครั้ง, กักครั้งละ 20 วินาที 2 ครั้ง และกักต่อไปจนหมด แล้วจึงนำไปตรวจสอบคุณสมบัติของเซลล์ ในการทดลองนี้จะวัดคุณสมบัติของเซลล์ที่มีความหนาของรังสีลิกอนโคออกไซด์ตั้งแต่ 1600, 1500, 1400, 1300, 1200, 1000, 800 อังสตรอม และไม่มีรังสีลิกอนโคออกไซด์เลย ผลการทดลองที่ได้แสดงไว้เป็นกราฟในรูปที่ 35.

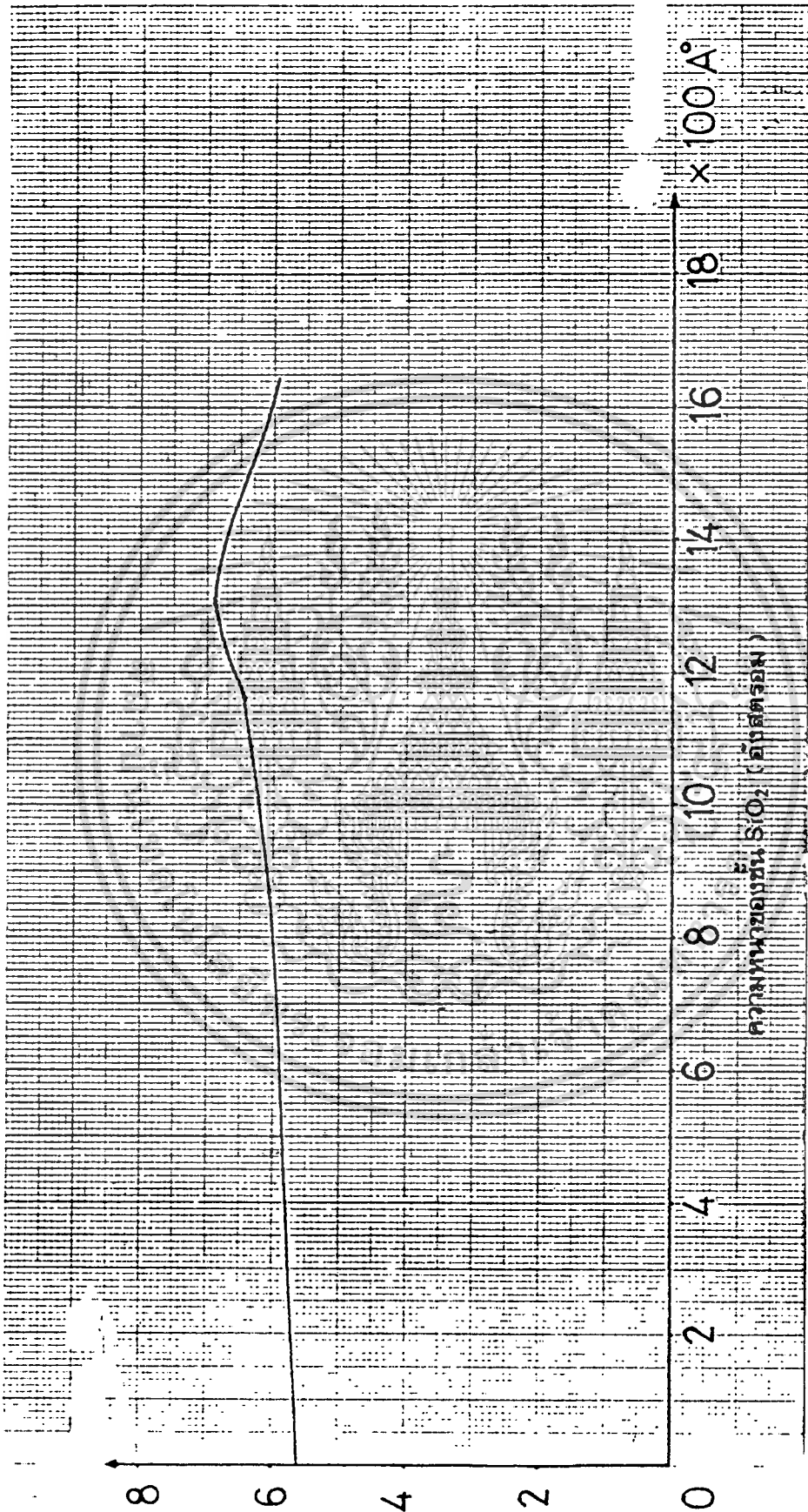
### 5.5.2 ผลการทดลอง

จากกราฟผลการทดลองในรูปที่ 35. พองขสรุปออกมาเป็นกราฟในรูปที่ 36. เพื่อให้เห็นผลความหนาของรังสีลิกอนโคออกไซด์ที่เหมาะสมจะใช้เป็นชั้นลดการสะท้อนแสง ซึ่งจะเห็นได้ว่ารังสีลิกอนโคออกไซด์ที่มีความหนา 1300 อังสตรอม เป็นความหนาพอดีที่ทำให้เซลล์จ่ายพลังงานออกมาสูงสุด



รูปที่ 35. กราฟคุณสมบัติความสัมพันธ์ระหว่างกระแสและแรงดันของเซลล์แสงอาทิตย์  
ที่มีความหนาของชั้นซิลิกอนไดออกไซด์แตกต่างกัน

เอกสารนี้เป็นเอกสารที่สงวนไว้สำหรับการใช้งานเพื่อการศึกษาเท่านั้น ไม่อนุญาตให้นำไปใช้ประโยชน์ด้านการค้า



รูปที่ 36. แสดงความหนาของชั้นผลึกของไดออกไซด์ (SiO<sub>2</sub>) ที่ใช้เป็นชั้นกั้นการสะท้อนแสง

## บทที่ 6

### การพัฒนาปรับปรุงเซลล์แสงอาทิตย์

เป็นการปรับปรุงเพื่อเพิ่มประสิทธิภาพในการเปลี่ยนพลังงาน และลดราคาในการผลิตเซลล์ การสร้างเซลล์ขึ้นมาใหม่จึงได้ศึกษาการสร้างบางอย่างออกไป เพื่อลดต้นทุนการผลิต ทั้งยังได้ออกแบบลวดลายขั้วโลหะของเซลล์ใหม่เพื่อให้เซลล์สามารถเก็บรวบรวมอิเล็กตรอนได้มากขึ้น

#### 6.1 การทดลองเพิ่มลวดลายขั้วโลหะให้ขั้วเซลล์และลดขบวนการเคลือบขุมนิเียมในสุญญากาศ

##### 6.1.1 การเพิ่มลวดลายขั้วโลหะให้ขั้วเซลล์

การปรับปรุงนี้เป็นผลมาจากการทดลองสร้างเซลล์ A, B, C พบว่าเซลล์ A และ B มีลวดลายขั้วโลหะที่ละเอียดกว่าเซลล์ C จึงให้ประสิทธิภาพในการเปลี่ยนพลังงานสูงกว่าเซลล์ C จึงได้ทำการออกแบบลวดลายขั้วโลหะของเซลล์ใหม่ให้ละเอียดกว่าเดิมและครอบคลุมพื้นที่ของเซลล์ทั้งหมด ลวดลายขั้วโลหะที่ได้ออกแบบใหม่ก็คือ ต้นแบบ SC-4 ในรูปที่ 13.

##### 6.1.2 การลดขบวนการเคลือบขุมนิเียมในสุญญากาศ

เนื่องจากการสร้างเซลล์ตามบทที่ 4 นั้น ได้ใช้วิธีการสร้างขั้วโลหะให้ขั้วเซลล์ถึง 2 วิธีด้วยกันคือ การเคลือบขุมนิเียมในสุญญากาศ และการชุบนิเกิลแบบไร้ไฟฟ้า ทั้งนี้เพื่อให้เซลล์ที่ไม่มีรอยสัมผัสโอห์มิก (ohmic contact) ที่ระหว่างขุมนิเียมกับซิลิกอนและนิเกิลที่ติดอยู่บนขุมนิเียม ใช้ประโยชน์ในการบดกรีขั้วโลหะเพื่อนำไปใช้งาน การที่ก่อสร้างขั้วโลหะถึง 2 วิธีนี้ ทำให้เสียเวลาและสิ้นเปลืองค่าใช้จ่ายสูง

จากการศึกษาพบว่า นิเกิลสามารถใช้เป็นรอยสัมผัสโอห์มิกกับสารกึ่งตัวนำได้ [12] จึงได้ทำการทดลองสร้างเซลล์ขึ้นมาใหม่โดยใช้แผ่นซิลิกอนแบบผลึกรูปเคี้ยวชนิดพี, ผิวกระจกมีความต้านทานจำเพาะ 4 โอห์ม-เซนติเมตร, หนา 300 ไมครอน, ระบาย <math>\langle 111 \rangle</math>, เส้นผ่าศูนย์กลาง 5 เซนติเมตร ใช้ต้นแบบลวดลาย SC-4 ใช้ขบวนการสร้างเซลล์ใหม่ที่ 4. เพียงแค่ศึกษาการเคลือบขุมนิเียมในสุญญากาศออกไป ใช้เฉพาะการชุบนิเกิลแบบไร้ไฟฟ้าเท่านั้น

นอกจากนี้ยังได้ทดลองนำเอาแผ่นอิฐกลนชนิดผิวหยาบที่มีราคาสูงกว่าชนิดผิวระจกมาทดสอบสร้างถ้วย เพื่อลดต้นทุนในการผลิตของ แผ่นอิฐกลนผิวหยาบที่ใช้เป็นแผ่นอิฐกลนแบบผลิกรูปเดี่ยวชนิดที่ มีความต้านทานจำเพาะประมาณ 0.32-0.46 โหล่ม-เซนติเมตร ทนการรา 450 ไมครอน, เส้นผ่าศูนย์กลาง 5 เซนติเมตร ใช้ต้นแบบ SC-4 และใช้ขบวนการสร้างเช่นเดียวกัน

## 6.2 ผลการทดลอง

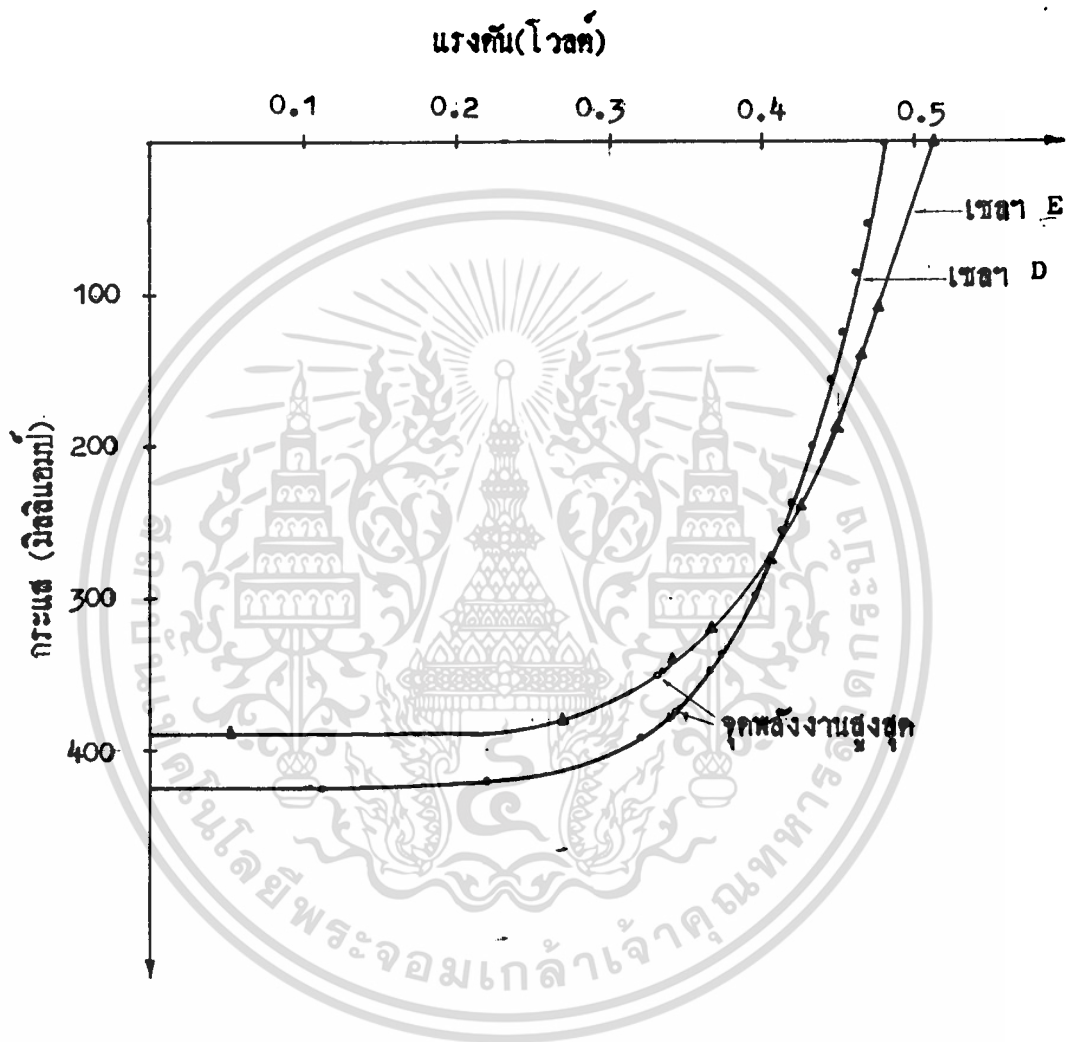
จากการตรวจเช็คคุณสมบัติของเซรามิกทั้งสองชนิดตามการทดลองที่ 5.1 ทำให้ได้คุณสมบัติของเซรามิกทั้งสองชนิดออกมาดังนี้

### เซรามิกผิวระจก , เซรา D

ความต้านทานอนุกรมภายใน	0.2	โหล่ม
กระแสดัดวงจร	427	มิลลิแอมป์
แรงดันวงจรเปิด	0.48	โวลต์
พื้นที่รับแสงของเซรา	13.66	ตารางเซนติเมตร
พลังงานสูงสุด	129	มิลลิวัตต์
ฟิลแพคเตอร์	0.63	
ประสิทธิภาพ	9.44	เปอร์เซ็นต์

### เซรามิกผิวหยาบ , เซรา E

ความต้านทานอนุกรมภายใน	0.34	โหล่ม
กระแสดัดวงจร	390	มิลลิแอมป์
แรงดันวงจรเปิด	0.515	โวลต์
พื้นที่รับแสงของเซรา	13.66	ตารางเซนติเมตร
พลังงานสูงสุด	116.5	มิลลิวัตต์
ฟิลแพคเตอร์	0.58	
ประสิทธิภาพ	8.53	เปอร์เซ็นต์



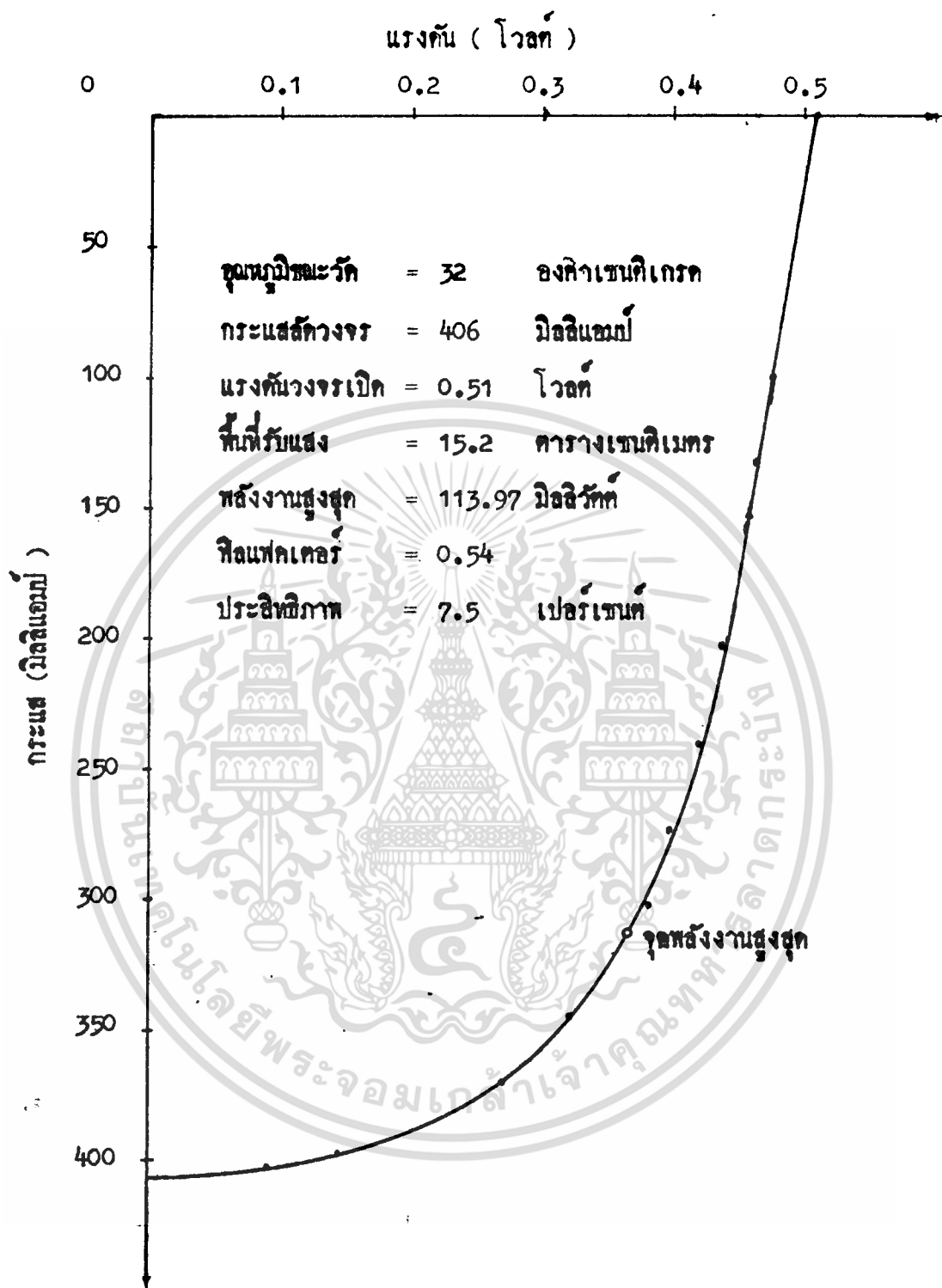
รูปที่ 37. กราฟคุณสมบัติความสัมพันธ์ระหว่างกระแสและแรงดันของเซลา D และเซลา E

### 6.3 การทดลองลดขนาดการออกซิเคชั่น

ขนาดการออกซิเคชั่นเป็นการสร้างชั้นฟิลิกอนโคออกไซด์ ที่มาคลุมผิวด้านหน้าและด้านหลังของแผ่นฟิลิกอน เพื่อใช้เป็นชั้นป้องกันแพร่ซึมของสารเจือเข้าสู่ฟิลิกอน ในการสร้างเซลล์แสงอาทิตย์ ชั้นฟิลิกอนโคออกไซด์ด้านหน้าของแผ่นฟิลิกอนจะถูกเปิดออก เพื่อให้สารเจือแพร่ซึมเข้าเฉพาะทางด้านหน้าส่วนทางด้านหลังจะมีชั้นออกไซด์ปกคลุมอยู่ เพื่อไม่ให้สารเจือแพร่ซึมเข้าทางด้านหลังของแผ่นได้ รอยต่อที่-เอ็น จึงเกิดขึ้นเฉพาะด้านหน้าเท่านั้น แม้ว่าขนาดการนี้จะมีประโยชน์ต่อการสร้างเซลล์มาก แต่ก็ทำให้สิ้นเปลืองค่าใช้จ่ายเหมือนกัน ถ้าลดขนาดการนี้ลงได้ก็จะทำให้ต้นทุนการผลิตลดลงไปมาก

ในการสร้างเซลล์ครั้งใหม่จึงได้ทดลองศึกษาขนาดการออกซิเคชั่นออกไป เมื่อนำไปทำการแพร่สารเจือ จะทำให้สารเจือแพร่ซึมเข้าทางด้านหน้า และด้านหลังของแผ่นฟิลิกอน สารเจือที่แพร่ซึมเข้าทางด้านหลังนี้จะทำให้แผ่นฟิลิกอนมีความต้านทานสูงเป็นผลให้เซลล์จ่ายพลังงานออกมาน้อยลง จึงต้องใช้แผงฟิลิกอนคาร์บอน ชนิดขยายขั้วด้านหลังส่วนที่ถูกสารเจือแพร่ซึมให้หลุดออกไป

การสร้างเซลล์ด้วยวิธีนี้ใช้แผ่นฟิลิกอนชนิดขยาย เช่นเดียวกับหัวข้อ 6.1 ผลการทดลองแสดงเป็นกราฟในรูป 38. จากผลการทดลองพบว่าเซลล์ที่สร้างด้วยวิธีนี้ให้ประสิทธิภาพในการเปลี่ยนพลังงานออกมาน้อยกว่าแบบผิวขยายในหัวข้อ 6.1 เนื่องจากที่ขอบของแผ่นจะมีสารเจือแพร่ซึมอยู่ ทำให้รอยต่อมีกระแสรั่วไหลสูง



รูปที่ 38 . กราฟคุณสมบัติความสัมพันธ์ระหว่างกระแสน้ำและแรงดันของเซลา F

เอกสารนี้เป็นเอกสารที่สงวนไว้สำหรับการใช้งานเพื่อการศึกษาเท่านั้น ไม่อนุญาตให้นำไปใช้ประโยชน์ด้านการค้า ไม่ว่ากรณีใดๆทั้งสิ้น อีกทั้งห้ามมิให้ดัดแปลงเนื้อหา และต้องอ้างอิงถึงเจ้าของเอกสารทุกครั้งที่มีการนำไปใช้

ตารางข้อมูล 5 ตารางสรุปข้อมูลในการสร้างเรดแสงอาทิตย์

เรด	ผิว	ความหนาแน่น จำเพาะ ( $\rho - \text{cm}^3$ )	จกหลายโงะ	$R_s$ ( $\Omega$ )	พื้นที่เรด ( $\text{cm}^2$ )	กระแสตัวจร ต่อพื้นที่( $\text{mA}/\text{cm}^2$ )	แรงดัน (V)	หือผลเตอร์	ประสิทธิภาพ (%)
A	กระจก	0.1	จะเขียมาก (SC-1)	0.5	.44	21	0.575	0.793	9.54
B	กระจก	0.1	จะเขียมาก (SC-1)	0.2	1.76	22.16	0.58	0.797	10.25
C	กระจก	0.1	หยาบ (SC-2)	0.1	12.6	23.8	0.58	0.5	6.9
D	กระจก	4	จะเขีย (SC-3)	0.2	13.66	31.26	0.48	0.63	9.44
E	หยาบ	0.4	จะเขีย (SC-3)	0.34	13.66	28.55	0.515	0.58	8.53
F	หยาบ	0.4	จะเขีย (SC-3)	0.6	15.3	26.7	0.51	0.54	7.54

เอกสารนี้เป็นเอกสารที่สงวนไว้สำหรับการใช้งานเพื่อการศึกษาเท่านั้น ไม่อนุญาตให้นำไปใช้ประโยชน์ด้านการค้า  
ไม่ว่ากรณีใดๆทั้งสิ้น อีกทั้งห้ามมิให้ดัดแปลงเนื้อหา และต้องอ้างอิงถึงเจ้าของเอกสารทุกครั้งที่มีการนำไปใช้

## บทที่ 7

### สรุปผลและวิจารณ์

งานวิจัยเกี่ยวกับเซลล์แสงอาทิตย์นี้ เป็นการวิจัยและสำรวจผลของสร้างเซลล์ขึ้นมาภายในประเทศโดยใช้อุปกรณ์ต่าง ๆ ทางด้านสารกึ่งตัวนำที่มีอยู่ที่ศูนย์วิจัยอิเล็กทรอนิกส์ คณะวิศวกรรมศาสตร์ สถาบันเทคโนโลยีพระจอมเกล้า-ลาดกระบัง เซลล์ที่สร้างขึ้นในครั้งแรกมีขนาดเล็ก แต่ก็มีอายุขีวโหละที่ละเอียดมาก (ใช้คนแบบ SC-1 ) และใช้แผ่นซิลิกอนผิวกระจกแบบผลึกรูปเดี่ยวที่มีค่าความต้านทานจำเพาะ ประมาณ 0.1 โอห์ม-เซนติเมตร มาสร้างเซลล์ที่ไม่มีคุณสมบัติที่ดีมาก มีประสิทธิภาพการเปลี่ยนพลังงานราว 9.5-10.25 เปอร์เซ็นต์ จึงได้ทำการทดลองสร้างเซลล์ขึ้นมาใหม่มีขนาดเต็มแผ่นซิลิกอนแบบเดิมที่มีเส้นผ่าศูนย์กลาง 5 เซนติเมตร เซลล์ชุดนี้มีอายุขีวโหละที่ค่อนข้างหายาก ทำให้ได้ประสิทธิภาพออกมาดีกว่าเดิม คือมีประสิทธิภาพราว 6.9 เปอร์เซ็นต์

จากจุดนี้จึงได้ทำการพิจารณาอื่น ๆ ที่มีต่อเซลล์ จากการทดลองผลของความต้านทานอนุกรมภายในที่มีต่อคุณสมบัติทางไฟฟ้าของเซลล์แสงอาทิตย์ พบว่าความต้านทานอนุกรมภายในมีผลต่อพลังงานไฟฟ้าที่ได้จากเซลล์มาก ดังจะเห็นได้จากกราฟในรูปที่ 39 ยิ่งเซลล์ที่จ่ายพลังงานออกมามาก คือมีกระแสสูง ผลของความต้านทานอนุกรมภายในก็จะยิ่งมากขึ้น เนื่องจากมีแรงดันไฟฟ้ามาตกคร่อมที่ตัวต้านทานมากขึ้น ดังนั้นในการสร้างเซลล์จึงควรหาทางลดความต้านทานอนุกรมภายในให้เหลือน้อยที่สุด ซึ่งทำได้โดยการเลือกใช้แผ่นซิลิกอนที่จะนำมาสร้างเซลล์ให้มีความต้านทานจำเพาะต่ำ ๆ หลังจากสร้างเสร็จแล้วควรนำเซลล์ไปอบความร้อน เพื่อให้รอยสัมผัสระหว่างโหละกับสารกึ่งตัวนำมีค่าความต้านทานต่ำที่สุด

จากการทดลองผลของความเข้มแสงที่มีเซลล์แสงอาทิตย์พบว่ากระแสจะเปลี่ยนแปลงอย่างรวดเร็วมากกับความเข้มแสง ส่วนแรงดันจะเปลี่ยนแปลงอย่างรวดเร็วกับความเข้มต่ำ ๆ เท่านั้น, จะเปลี่ยนแปลงน้อยมากกับความเข้มสูง ๆ จากผลอันนี้สามารถนำไปพิจารณาออกแบบระบบจ่ายไฟฟ้าด้วยเซลล์แสงอาทิตย์ได้

อุณหภูมิก็เป็นสิ่งสำคัญอีกประการหนึ่งที่มีผลทำให้พลังงานไฟฟ้าที่ได้จากเซลล์ลดลงเมื่ออุณหภูมิเพิ่มขึ้น จากการทดลองเกี่ยวกับผลของอุณหภูมิที่มีต่อเซลล์แสงอาทิตย์พบว่ากระแสจะเปลี่ยนแปลงน้อยมากกับอุณหภูมิ, ส่วนแรงดันจะลดลงในอัตราประมาณ 2 มิลลิโวลต์ ต่ออุณหภูมิที่เพิ่มขึ้นหนึ่งองศา เซนติเกรด เป็นผลให้พลังงานไฟฟ้าที่ได้จากเซลล์ลดลงในอัตรา 0.172 มิลลิวัตต์ ต่ออุณหภูมิที่เพิ่มขึ้นหนึ่งองศาเซนติเกรด ดังนั้นในการนำเซลล์ไปใช้งานควรพิจารณาถึงผลของอุณหภูมิที่มีต่อแรงดันและพลังงานของเซลล์ด้วยและควรติดตั้งเซลล์ไว้ในที่อากาศถ่ายเทได้สะดวก หรือจะมีระบบระบายความร้อนให้กับเซลล์ด้วยก็จะช่วยให้เซลล์ทำงานได้ดียิ่งขึ้น

ผลของชั้นลดการสะท้อนแสงก็เป็นสิ่งสำคัญประการหนึ่งที่จะช่วยเพิ่มประสิทธิภาพในการเปลี่ยนพลังงานให้กับเซลล์ สารที่ใช้เป็นชั้นลดการสะท้อนแสง มีอยู่หลายชนิดแต่ละชนิดก็มีค่าดัชนีหักเหแตกต่างกันไป จากการคำนวณหาค่าดัชนีหักเหของสารที่จะใช้เป็นชั้นลดการสะท้อนแสงตามสูตรการคำนวณที่ (14) พบว่าซิลิกอนไดออกไซด์ ( $SiO_2$ ) เหมาะสมที่จะใช้เป็นชั้นลดการสะท้อนแสง แต่เนื่องจากซิลิกอนไดออกไซด์ สร้างได้จากขบวนการเคลือบสารในสูญญากาศซึ่งทำให้เสียเวลาและค่าใช้จ่ายสูง จึงได้หันไปพิจารณาคุณสมบัติของซิลิกอนไดออกไซด์ที่เกิดขึ้นอยู่แล้วในขบวนการสร้างเซลล์พบว่าซิลิกอนไดออกไซด์สามารถใช้เป็นชั้นลดการสะท้อนแสงได้ก็พอสมควร โดยชั้นซิลิกอนไดออกไซด์ที่มีความหนา 1300 อังสตรอม จะช่วยให้เซลล์มีประสิทธิภาพเพิ่มขึ้นจากเดิมอีกประมาณ 1.5 เปอร์เซ็นต์

จากการที่ได้ตรวจสอบผลกระทบบ้างอื่น ๆ ที่มีต่อเซลล์แสงอาทิตย์แล้ว จึงได้หันมาพิจารณาปรับปรุงขบวนการสร้างเพื่อให้สะดวกรวดเร็วและสิ้นเปลืองค่าใช้จ่ายน้อยลงกว่าเดิม ทั้งยังได้ออกแบบลวดลายรั้วโลหะของเซลล์ใหม่ให้ละเอียดและคลุมพื้นที่เซลล์ทั้งหมด ขบวนการที่ถูกตัดออกไปคือขบวนการเคลือบอลูมิเนียมในสูญญากาศ ซึ่งทำให้เสียเวลาและสิ้นเปลืองค่าใช้จ่ายสูง พบว่าเซลล์ที่สร้างไว้ซึ่งมีทั้งผิวกระจกและผิวหยาบ, มีค่าความต้านทานอนุกรมภายในต่ำและให้ประสิทธิภาพออกมาสูงพอควร คือประมาณ 9.4% สำหรับผิวกระจก และ 8.5% สำหรับผิวหยาบ ซึ่งแสดงว่าขบวนการนี้สามารถนำไปใช้สร้างเซลล์ที่มีราคาต่ำกว่าเดิมได้โดยประสิทธิภาพเปลี่ยนแปลงไปเพียงเล็กน้อย เมื่อพิจารณาเปรียบเทียบระหว่างเซลล์ผิวกระจก (เซลล์ D) ซึ่งสร้างมาจากแผ่นซิลิกอนที่มีเส้นผ่านศูนย์กลาง

เอกสารนี้เป็นเอกสารที่สงวนไว้สำหรับการใช้งานเพื่อการศึกษาเท่านั้น ไม่อนุญาตให้นำไปใช้ประโยชน์ด้านการค้า

ไม่ว่ากรณีใดๆทั้งสิ้น อีกทั้งห้ามมิให้ดัดแปลงเนื้อหา และต้องอ้างอิงถึงเจ้าของเอกสารทุกครั้งที่มีการนำไปใช้

กลาง 5 เซนติเมตร หนา 300 ไมครอน มีความต้านทานจำเพาะของแผ่น 4 โอห์ม-เซนติเมตร กับ เซลลิวหายาม ( เซลล E ) ซึ่งสร้างมาจากแผ่นซิลิกอนที่มีเส้นผ่าศูนย์กลาง 5 เซนติเมตร หนา 450 ไมครอน มีความต้านทานจำเพาะประมาณ 0.4 โอห์ม-เซนติเมตร พบว่าเซลล์วงจรจกให้กระแสออกมาสูงกว่า ทั้งยังมีค่าความต้านทานอนุกรมภายในต่ำกว่า แต่ให้แรงดันออกมามากกว่าก็เนื่องจาก เซลลิวหายามมีรอยต่อลึกกว่าทำให้มีค่าความต้านทานอนุกรมต่ำกว่าทั้งยังมีพื้นที่ที่เรียกว่าควย จึงมีการรีคอมไบเนชัน ที่ผิวหน้าน้อยกว่าเซลล์หายาม การที่เซลล์วงจรจกให้แรงดันที่ต่ำกว่า ก็เป็นผลมาจากการใช้แผ่นซิลิกอนที่มีค่าความต้านทานจำเพาะสูงกว่าเซลล์หายาม ทำให้ระขัยความหนาแน่นของสารเจือในแผ่นเซลล์มีน้อยกว่าเซลล์หายามแรงดันไฟฟ้าที่ไ้จากเซลล์จึงมีค่าต่ำกว่าเซลล์หายาม

เพื่อทำการลดราคาในการสร้างเซลล์ลงไปอีก จึงเ้คิดขบวนการออกซิเคชันออกไปและใช้แผ่นซิลิกอนแบบหายามมาทดลองสร้าง ปรากฏว่าเซลล์ที่ไ้ ( เซลล F ) มีกระแสและแรงดันใกล้เคียงกับเซลล์ E แต่มีค่าความต้านทานอนุกรมภายในสูงกว่าจึงทำให้ประสิทธิภาพออกมามากกว่าเซลล์ E คือได้ประสิทธิภาพออกมาราว 7.5% ที่เป็นเช่นนั้นก็เนื่องมาจากด้านหลังของแผ่นสารเจือแพร่ซึมเข้าไปได้เช่นเดียวกับทางด้านหน้า แม้จะใช้แผ่นซิลิกอนคาร์ไบด์เอเชียสารเจือด้านหลังออก ก็อาจจะยังมีสารเจือเหลืออยู่ข้างเล็กน้อยทำให้เซลล์ไ้มีความต้านทานอนุกรมภายในสูง นอกจากนี้ที่รอยต่อขั้วบริเวณของแผ่นเซลล์อาจจะเกิดการลัดวงจรขึ้นได้ง่าย เนื่องจากมีการขัดผิวด้านหลังขณะทำการขัดผิว อาจจะทำให้ชั้นซิลิกอนไ้ออกไซด์บริเวณหลุดลอกออกไปได้ เมื่อนำเซลล์ไปชุบนิเกิล ก็จะมีนิเกิลมาเกาะติดบริเวณขอบของแผ่นเซลล์ทำให้เกิดการลัดวงจรขึ้นทำให้ต้องแก้ไข โดยการใช้กระดาษทรายชนิดละเอียดคมมากมาขัดบริเวณขอบของแผ่นแม้จะช่วยไม่ให้เกิดการลัดวงจรแต่ก็ทำให้รอยต่อบริเวณขอบของแผ่นเสียไปทำให้มีกระแสรั่วไหลสูงซึ่งก็ทำให้เซลล์จ่ายกระแสได้น้อยลง

จากการทดลองสร้างเซลล์ขึ้นมาทั้งหมดพบว่าเซลล์ที่มีคุณสมบัติจกควรสร้างจากแผ่นซิลิกอนที่มีความต้านทานจำเพาะอยู่ในช่วง 0.1 - 1 โอห์ม-เซนติเมตร, มีลวดลายขั้วโลหะที่ละเอียดและครอบคลุมพื้นที่เซลล์ทั้งหมด เพื่อให้ได้กระแสสูง, สารเจือที่แพร่ซึมเข้าไปในแผ่นซิลิกอน ควรมีระขัย

ความหนาแน่นสูงเพื่อให้เซลล์จ่ายแรงดันได้สูง ซึ่งทำได้โดยใช้แผ่นซิลิกอนที่มีค่าความต้านทานจำเพาะต่ำๆ ขบวนการในการสร้างไม่จำเป็นต้องมีการเคลือบชั้นออกไซด์นิยม ก็สามารถสร้างเซลล์ที่มีคุณสมบัติที่ดีได้ สำหรับการลดขบวนการออกซิเดชันนั้น แม้จะช่วยลดราคาในการผลิตลงไปได้มาก แต่ยังคงได้เซลล์ที่มีคุณสมบัติไม่ดีนัก เนื่องจากข้อกำหนดการซัดขอมของแผ่นเซลล์ทำให้เซลล์มีรอยต่อไม่สมบูรณ์ และถ้าซัดคิวคานหลังไม่ทันแล้ว จะทำให้เซลล์ที่ได้มีค่าความต้านทานภายในสูง ถ้าต้องการลดราคาในการผลิตเซลล์ลงมาอีกควรพิจารณาใช้แผ่นซิลิกอนที่มีราคาถูกกว่าซิลิกอนแบบผลึกรูปเดี่ยว ซึ่งอาจจะเป็นซิลิกอนแบบโพลีคริสตัล หรือแบบอมอร์ฟัสก็ได้ แม้ว่าซิลิกอนประเภทนี้จะให้ประสิทธิภาพในการเปลี่ยนพลังงานน้อยกว่าแบบผลึกรูปเดี่ยวเล็กน้อย แต่ก็ช่วยลดราคาในการผลิตลงได้มากทีเดียว นอกจากนี้ขบวนการสร้างเซลล์ในแบบฟิล์ม (Thin Film) ก็นับว่าเป็นเทคนิคในการสร้างแบบใหม่ ที่จะช่วยให้เซลล์มีราคาถูกลง



เอกสารอ้างอิง

- [1.] Wolfgang Palz, " Solar Electricity " UNESCO 1978, p. 187
- [2.] Charles E. Backus, " Solar cell " IEEE Press 1978, p.38-39
- [3.] Charles E. Backus, " Solar cell " IEEE Press 1978, p. 88
- [4.] Wolfgang Palz, " Solar Electricity " UNESCO 1978, p. 185
- [5.] Charles E. Backus, " Solar cell" IEEE Press 1978, p. 91
- [6.] Charles E. Backus, " Solar cell " IEEE Press 1978, p.94-94
- [7.] Charles E. Backus, " Solar cell " IEEE Press 1978, p.111-116
- [8.] Alvin B. Phillips, " Transistor Engineering " Mc Graw-Hill 1962,  
p. 51
- [9.] Wolfgang Palz, " Solar Electricity " UNESCO 1978, p. 186
- [10.] L. Holland, " Vacuum Deposition of Thin Film " Chapman and Hall  
Ltd. 1966, p. 516-517
- [11.] Wolfgang Palz, " Solar Electircity " UNESCO p. 340
- [12.] Juh Tzeng Lue, " The Fabricafism of Schottky Barrier Solar cell  
by Electroless Nickel Plating " Appl. Phys. Lett., 34 (10) p. 388  
(1978)



## ภาคผนวกที่ 1.

### น้ำยาเคมีที่ใช้ในการกัดซิลิกอนไดออกไซด์และอลูมิเนียม

#### 1.1 น้ำยาเคมีที่ใช้ในการกัดซิลิกอนไดออกไซด์ หรือ ที่เรียกว่าน้ำยาบัฟเฟอร์ (Buffer Solution)

น้ำยาชนิดนี้มีไว้สำหรับกัดซิลิกอนไดออกไซด์เพื่อเปิดช่องสำหรับแพร่สารเจือหรือเพื่อทำ  
 ทำรอยสัมผัส (Contact) ให้กับอุปกรณ์สารกึ่งตัวนำ น้ำยาที่ใช้มีอัตราในการกัดแตกต่างกันแล้ว  
 แต่ความจำเป็นของงานที่จะใช้

#### น้ำยาบัฟเฟอร์ 1

กรดไฮโดรฟลูออริก (HF) 50%	1	ส่วน
แอมโมเนียมฟลูออไรด์	6	ส่วน
ผสมกันโดยปริมาตร มีอัตราการกัด (Etching rate) ประมาณ 1000 อังสตรอมต่อนาที		

#### น้ำยาบัฟเฟอร์ 2

กรดไฮโดรฟลูออริก 50%	1	ส่วน
แอมโมเนียมฟลูออไรด์	10	ส่วน
ผสมกันโดยปริมาตร มีอัตราการกัดประมาณ 600 อังสตรอม ต่อนาที หรือ 10 อังสตรอม ต่อวินาที		

#### 1.2 น้ำยาเคมีที่ใช้ในการกัดอลูมิเนียม

น้ำยาชนิดนี้มีไว้สำหรับกัดอลูมิเนียมเพื่อทำลายสายโซ่โลหะบนอุปกรณ์สารกึ่งตัวนำมีส่วนผสม  
 สารเคมีโดยปริมาตรดังนี้

กรดฟอสฟอริก ( $H_3PO_4$ )	8	ส่วน
กรดไนตริก ( $HNO_3$ )	5	ส่วน
กรดอะซิติก ( $CH_3COOH$ )	5	ส่วน
น้ำบริสุทธิ์ (DI water)	10	ส่วน

## ภาคผนวกที่ 2.

### การชุบนิเกิลแบบไร้ไฟฟ้า (Electroless nickle plating)

เป็นการสร้างชั้นโลหะให้ทั้งเซอแสงอาทิตย์ด้วยวิธีการทางเคมี โดยไม่ต้องอาศัยผลทางไฟฟ้าช่วย แต่ใช้ผลทางความร้อนช่วยให้เกิดปฏิกิริยาทำให้มีความสะอาดขึ้น ทั้งนี้เกิดที่ใดยังสามารถนำไปติดกรีได้ง่ายอีกด้วย ส่วนผสมของสารเคมีที่ใช้นี้ดังนี้

นิเกิลคลอไรด์ $(NiCl_2 \cdot 6H_2O)$	30	กรัมต่อลิตร
แอมโมเนียมคลอไรด์ $(NH_4Cl)$	50	กรัมต่อลิตร
แอมโมเนียมซัลเฟต $(NH_4)_2H_2SO_7$	65	กรัมต่อลิตร
โซเดียม ไฮโปฟอสไฟท์ $(Na_2H_2PO_2 \cdot H_2O)$	10	กรัมต่อลิตร

ในการชุบใช้อุณหภูมิ 90 องศาเซนติเกรด และเติมแอมโมเนียมไฮดรอกไซด์จนได้พี-เฮล ของน้ำยาประมาณ 8-10 (PH  $\approx$  8-10)



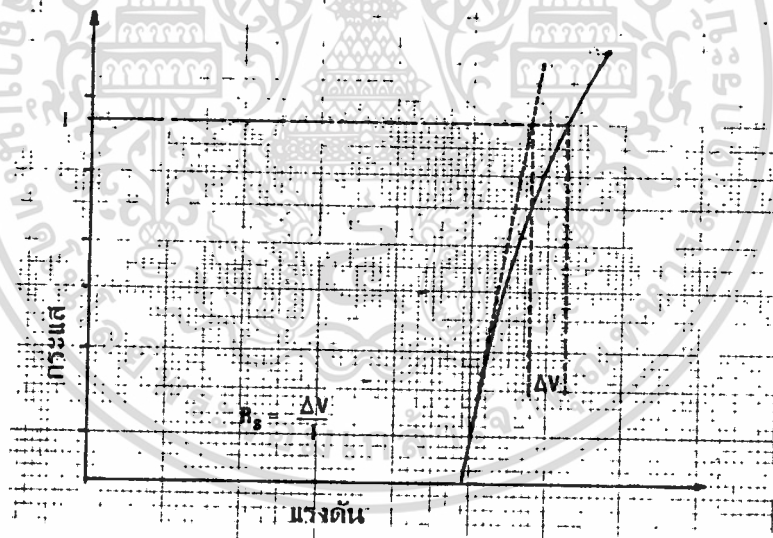
รูปที่ 2.1 การชุบนิเกิลแบบไร้ไฟฟ้าที่กระทำบนแผ่นความร้อน (Hot plate) ที่ควบคุมอุณหภูมิได้

เอกสารนี้เป็นเอกสารที่สงวนไว้สำหรับการใช้งานเพื่อการศึกษาเท่านั้น ไม่อนุญาตให้นำไปใช้ประโยชน์ด้านการค้า ไม่ว่ากรณีใดๆทั้งสิ้น อีกทั้งห้ามมิให้ตัดแปลงเนื้อหา และต้องอ้างอิงถึงเจ้าของเอกสารทุกครั้งที่มีการนำไปใช้

### ภาคผนวกที่ 3.

#### การคำนวณค่าความต้านทานอนุกรมภายในเซลล์

เนื่องจากกระแสแรงดันของเซลล์มีความสัมพันธ์กันในลักษณะ เอ็กโพเนนเชียล เช่นเดียวกับไดโอด เมื่อนำค่าความสัมพันธ์ของกระแสและแรงดันนี้ไปเขียนลงในกราฟแบบเซมิล็อก จะได้เป็นกราฟเส้นตรง แต่เนื่องจากผลของความต้านทานอนุกรมภายในเซลล์ ( $R_S$ ) จะทำให้เกิดแรงดันตกคร่อมความต้านทานนี้ แรงดันส่วนนี้จะมีความสัมพันธ์กับกระแสในลักษณะเชิงเส้น (Linear) เมื่อมีกระแสไหลผ่านเซลล์มากผลของแรงดันที่ตกคร่อมความต้านทานอนุกรมนี้ จะให้กราฟเส้นตรงที่โค้งในช่วงกระแสสูง ๆ เบี่ยงเบนออกจากแนวเดิม ค่าที่เบี่ยงเบนออกมานี้ จะนำไปใช้หาค่าความต้านทานอนุกรมภายในเซลล์ได้



รูปที่ 3.1 ความสัมพันธ์ระหว่างกระแสและแรงดันของรอยต่อพี-เอ็นที่เขียนอยู่บนกราฟแบบเซมิล็อก

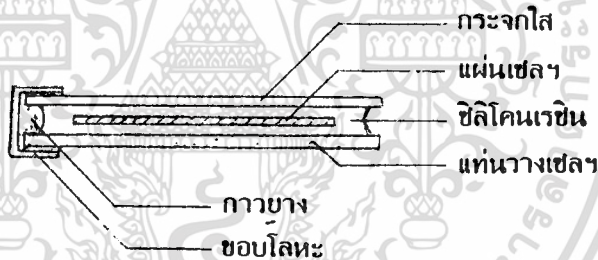
จากกราฟความสัมพันธ์ระหว่างกระแสและแรงดันในรูปที่ 1.1 ที่ค่ากระแส  $I$  จะหาค่า  $R_S$  จากการเปลี่ยนแปลงของแรงดัน  $\Delta V$  ได้ดังนี้ -

$$R_S = \frac{\Delta V}{I}$$

## ภาคผนวกที่ 4.

### การเก็บบรรจุเซลล์แสงอาทิตย์

เนื่องจากเซลล์แสงอาทิตย์ต้องใช้งานกลางแจ้งจึงต้องมีการเก็บบรรจุที่ดี เพื่อป้องกันฝุ่นละอองและความชื้นไม่ให้เข้าไปรบกวนการทำงานของเซลล์ได้ ในการเก็บบรรจุจะใช้แท่นวางเซลล์ที่เป็นฉนวนไฟฟ้า มีความแข็งแรงและทนความร้อนได้ดี อาจจะเป็นพวกแผ่นกระจก, โฟลโพลีเอสเตอร์ หรือแผ่นพลาสติกที่ทนทาน แฉกเปิดด้านบนควรใช้กระจกใสผิวเรียบบางประมาณ 2-3 มิลลิเมตร เพื่อให้แสงผ่านกระจกไปกระทบเซลล์ กระจกด้านบนจะมีซิลิโคนเรซินแบบใสที่มีลักษณะยืดหยุ่นได้ คล้ายยาง ใสไว้เพื่อป้องกันฝุ่นละอองและความชื้นให้กับเซลล์ทั้งยังช่วยให้แผงเซลล์มีความแข็งแรงทนทานด้วย



รูปที่ 4.1 การเก็บบรรจุเซลล์แสงอาทิตย์

## ภาคผนวกที่ 5

### ความหมายของสัญลักษณ์และค่าคงที่ที่ใช้ในวิทยานิพนธ์ฉบับนี้

#### 5.1 ความหมายของสัญลักษณ์

- A : พื้นที่รอยต่อพี-เอ็น ของเซลล์แสงอาทิตย์
- D : สัมประสิทธิ์ในการแพร่ซึมของสาร (Diffusion coefficient)
- F.F. : ฟิลแฟคเตอร์ (Fill Factor)
- g : อัตราการเกิดคู่อิเล็กตรอน-โฮล ต่ออนุภาคที่เซนติเมตร ต่อวินาที  
(Generation rate of electron-hole pair per  $\text{cm}^3$  per sec)
- $I_j$  : กระแสที่ไหลผ่านรอยต่อพี-เอ็น ของไดโอด
- $I_L$  : กระแสที่เกิดเนื่องมาจากแสง
- $I_m$  : กระแสของเซลล์ที่จุดพลังงานสูงสุด
- $I_o$  : กระแสอิ่มตัวย้อนกลับของรอยต่อพี-เอ็น  
(Reverse saturation current of a p-n junction)
- $I_R$  : กระแสของเซลล์ที่ไหลมายังโหลด
- $I_{sc}$  : กระแสลัดวงจรของเซลล์
- $L_n$  : ระยะการแพร่ของอิเล็กตรอน (Diffusion length of electrons)
- $L_p$  : ระยะการแพร่ของโฮล (Diffusion length of holes)
- $N_A$  : ความหนาแน่นของอะตอมสารเจือผู้รับ (Accéptar concentration)
- $N_D$  : ความหนาแน่นของอะตอมสารเจือผู้ให้ (Donor concentration)
- n : ค่าไอดีลิตี้แฟคเตอร์ (Ideality factor) , คำนี้นักเห็นแสง
- $P_o$  : พลังงานไฟฟ้าสูงสุดที่เซลล์ให้ได้ในทางอุดมคติ
- $P_m$  : พลังงานไฟฟ้าสูงสุดที่เซลล์ให้ออกมาได้จริง
- $R_s$  : ความต้านทานอนุกรมภายในเซลล์
- $R_g$  : ความต้านทานของโหลด

เอกสารนี้เป็นเอกสารที่สงวนไว้สำหรับการใช้งานเพื่อการศึกษาเท่านั้น ไม่อนุญาตให้นำไปใช้ประโยชน์ด้านการค้า  
ไม่ว่ากรณีใดๆทั้งสิ้น อีกทั้งห้ามมิให้ดัดแปลงเนื้อหา และต้องอ้างอิงถึงเจ้าของเอกสารทุกครั้งที่มีการนำไปใช้

